



# Rapport / Report

## Kvikkleiresoner Stjørdal

Lillemo

20120099-04-R  
24. januar 2014  
Rev. nr.: 2 / 21. februar 2017

Ved elektronisk overføring kan ikke konfidensialiteten eller autentisiteten av dette dokumentet garanteres. Adressaten bør vurdere denne risikoene og ta fullt ansvar for bruk av dette dokumentet.

Dokumentet skal ikke benyttes i utdrag eller til andre formål enn det dokumentet omhandler. Dokumentet må ikke reproduseres eller leveres til tredjemann uten elers samtykke. Dokumentet må ikke endres uten samtykke fra NGI.

Neither the confidentiality nor the integrity of this document can be guaranteed following electronic transmission. The addressee should consider this risk and take full responsibility for use of this document.

This document shall not be used in parts, or for other purposes than the document was prepared for. The document shall not be copied, in parts or in whole, or be given to a third party without the owner's consent. No changes to the document shall be made without consent from NGI.

# Prosjekt

Prosjekt: Kvikkleiresoner Stjørdal  
Dokumenttittel: Lillemo  
Dokumentnr.: 20120099-04-R  
Dato: 24. januar 2014  
Rev. nr./rev.dato: 2 / 21. februar 2017

Hovedkontor:  
Pb. 3930 Ullevål Stadion  
0806 Oslo

Avd Trondheim:  
Pb. 1230 Sluppen  
7462 Trondheim

T 22 02 30 00  
F 22 23 04 48

Kontonr 5096 05 01281  
Org. nr 958 254 318 MVA

[ngi@ngi.no](mailto:ngi@ngi.no)  
[www.ngi.no](http://www.ngi.no)

## Oppdragsgiver

Oppdragsgiver: Norges vassdrags- og energidirektorat (NVE), Region Midt-Norge  
Kontaktperson: Mads Johnsen  
Kontraktreferanse: Avtale av 02.05.2012

## For NGI

Prosjektleder: Kyrre Emaus  
Utarbeidet av: Siri Bente Haugen  
Kontrollert av: Vidar Gjelsvik

## Sammendrag

Gjennom NVEs program for økt sikkerhet mot leirskred har NGI fått i oppdrag å utrede kvikkleiresone 621 Lillemo i Stjørdal kommune for reell skredfare iht. NVEs retningslinjer.

Grunnlaget for vurderingen i foreliggende rapport er gitt ved grunnundersøkelser av Rambøll utført etter plan fra NGI.

Området består hovedsakelig av siltig leire og leire som er delvis sensitiv/kvikk. Landskapet er et platå med jordbruksaktivitet som er avgrenset av en ravine i sør og vest. Skråningshøyde fra platå og til bunn av ravine varierer fra 15 til 30 m.

Det er gjennomført befaring for vurdering av erosjon og beregning av skråningsstabilitet. Fra befaringen er det registrert aktiv erosjon i ravinen i sør og sørøst i fare-

## Sammendrag (forts.)

sonen. Beregninger tilsier at det generelt er for dårlig stabilitet iht. NVEs retningslinjer, og at det for å heve sikkerheten til sonen kreves til dels omfattende tiltak. Dette er foreslått ved å etablere motfyllinger i foten av skråninger. Utover dette er det foreslått erosjonssikring av bekk i ravinen i sør og sørøst som må til for å vedlikeholde dagens sikkerhet i sonen.

Risikoklassen for sonen vil reduseres fra 4 til 3 ved å utføre erosjonssikring. Sonen vurderes til å utvides i sørøst og noe i nordvest.

NVE har kommet med tilbakemelding høsten 2016 om at de kun ønsker å utføre tiltak mot erosjon og ikke motfylling. NGIs anbefaling er at hele bekketraseen i sonen erosjonssikres.

# Innhold

<b>1</b>	<b>Innledning</b>	<b>6</b>
<b>2</b>	<b>Utførte grunnundersøkelser</b>	<b>7</b>
<b>3</b>	<b>Generell beskrivelse av området</b>	<b>7</b>
3.1	Topografi	7
3.2	Kvarteærgeologi	8
3.3	Erosjon	9
3.4	Faregrad, skadekonsekvens og risikoklasser	9
<b>4</b>	<b>Tolkning av grunnundersøkelser</b>	<b>9</b>
4.1	Grunnforhold og lagdeling	9
4.2	Grunnvannsforhold og poretrykk	10
<b>5</b>	<b>Tolkning av materialparametere</b>	<b>10</b>
5.1	Indeksparametere	10
5.2	Udrenert skjærstyrke	11
5.3	Anisotropiforhold	13
5.4	Drenert skjærstyrke	13
<b>6</b>	<b>Stabilitetsberegninger og -resultater</b>	<b>13</b>
<b>7</b>	<b>Nødvendige sikringstiltak og videre anbefalinger</b>	<b>18</b>
7.1	Omfang av sikringstiltak ved kun erosjonssikring	18
7.2	Omfang av sikringstiltak ved motfylling og erosjonssikring	19
<b>8</b>	<b>Referanser</b>	<b>21</b>

## Bilag

- |         |   |
|---------|---|
| Bilag 1 | Tegnforklaring plan- og profiltegninger |
| Bilag 2 | Tegningsliste                           |

## Tegninger

## Vedlegg

- A. Skjema for faregrad, skadekonsekvens og risikoklasse
- B. Poretrykksmålinger
- C. Tolkning av ødometerforsøk
- D. Tolkning av treaksialforsøk
- E. Tolkning av CPTU-sonderinger

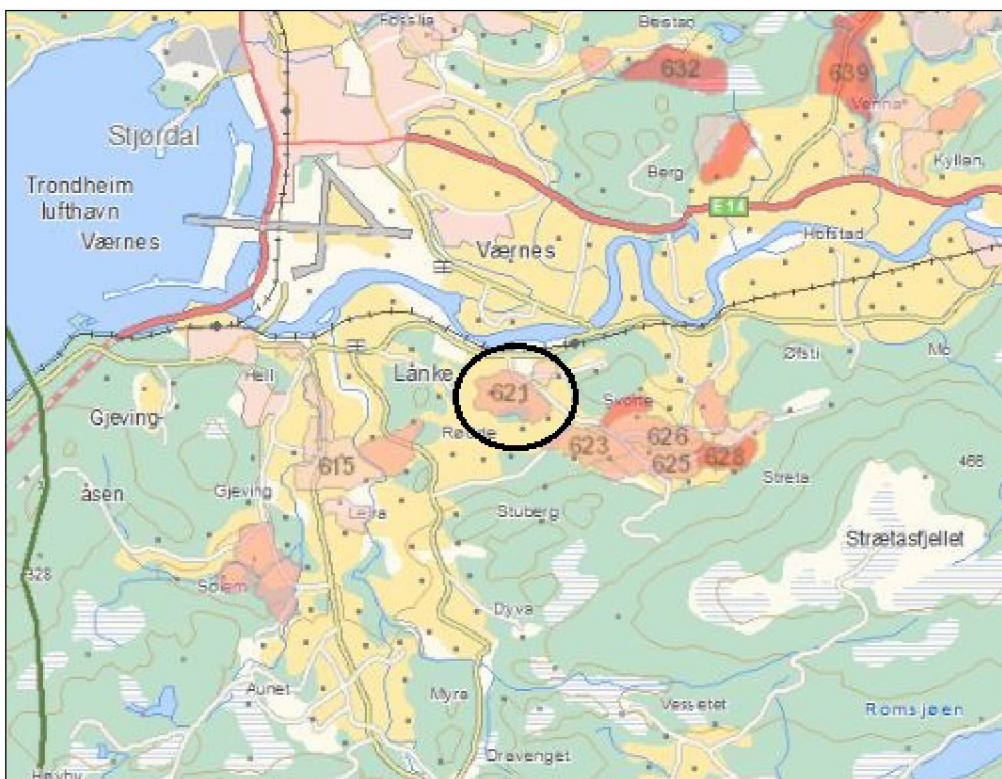
## Kontroll- og referanceside

## 1 Innledning

Gjennom NVEs program for økt sikkerhet mot leirskred har NGI fått i oppdrag å utrede 5 faresoner i Trondheim og 1 faresone i Stjørdal. De aktuelle faresonene stammer fra den nasjonale kartleggingen av kvikkleiresoner med potensiell skredfare som har pågått i statlig regi siden 1980-tallet:

- 199 Leira - Trondheim
  - 206 Romolslia - Trondheim
  - 209 Rosten - Trondheim
  - 211 Kolstad - Trondheim
  - 212 Saupstad - Trondheim
  - 621 Lillemo – Stjørdal

Sone 621 Lillemo er utredet i denne rapporten. Det utarbeides egne rapporter for de øvrige faresonene. Beliggenheten av den aktuelle faresonen er sørøst for Trondheim Lufthavn Værnes i Stjørdal Kommune, se oversiktskart på Tegning 001 D og Figur 1.



*Figur 1 Beliggenhet av faresone 621 Lillemo.*

Formålet med utredningen er å vurdere reell skredfare iht. NVEs retningslinjer i referanse (1). Detaljeringssnivået for denne type utredninger er i ref. (1) anbefalt på reguleringsplan-nivå. Dagens stabilitetsforhold skal vurderes basert på analyser i kritiske snitt. Aktuelle sikringstiltak skal foreslås med utgangspunkt i gitte krav til beregnet sikkerhet.

**Revisjon 1** er utført etter tredjepartskontroll av Multiconsult. Revisjonen inneholder:

- Kapittel 4.1: CPTU som metode for tolking av kvikkleire.
- Tegning 202 D: Tolkning av kvikkleire fra dybde 6,5 m i Li-5.
- Tegning 301 D og 307 D: Ny beregning av profil C-C der Li-5 inngår.
- Kapittel 6: Oppdatert resultat for Profil C-C.
- Kapittel 7: Oppdatert soneavgrensning.
- Tegning 100 D: Oppdatert soneavgrensning.
- Tegning 101 D: Oppdatert soneavgrensning og tiltak.

**Revisjon 2** er utført etter tilbakemeldinger fra NVE høsten 2016 om at de kun ønsker å utføre erosjonstiltak og ikke motfylling. Det er i tillegg utført supplerende borer. Med bakgrunn i dette har NGI vurdert hvilke strekninger som anbefales erosjons-sikres. Tilført tekst for revisjon 2 er markert med rødt. Revisjonen inneholder:

- Kapittel 2: Inkludert grunnundersøkelser utført høsten 2016.
- Kapittel 7.1: Vurderinger av omfanget av sikring, sonegrense, faregrad, skadekonsekvens og risikoklasse ved kun erosjonssikring.
- Tegningslisten er oppdatert.
- Tegning 100 D: Situasjonsplanen er oppdatert med borer utført høsten 2016.
- Tegning 102 D: Det er lagt til en tegning som viser anbefalt omfang av erosjonstiltak.
- Tegning 200 D, 202 D, 203 D og 204 D: Nye borer er inkludert og lagdeling er revidert. Merk at lagdelingen på tilhørende stabilitetsberegninger, 300-serien, ikke er oppdatert.
- Tegning 208 D: Profil I-I er lagt til.
- Vedlegg A: Tabell A3 er inkludert.

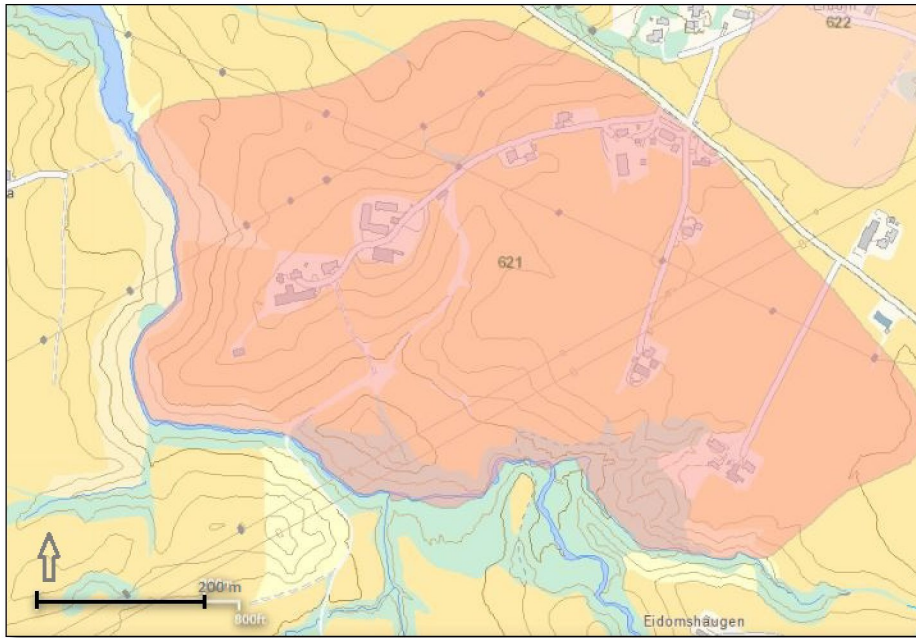
## 2      **Utførte grunnundersøkelser**

Supplerende grunnundersøkelser ble utført i løpet av høsten 2016, i forbindelse med revisjon 2 av rapporten, av Rambøll etter oppsatt plan fra NGI, jf. ref.(2). Det er også utført grunnundersøkelser i løpet av høsten 2012 av Rambøll etter oppsatt plan fra NGI, jf. ref. (3). Tidligere er det utført enkelte grunnundersøkelser i området av NGI, jf. ref. (4).

## 3      **Generell beskrivelse av området**

### 3.1    **Topografi**

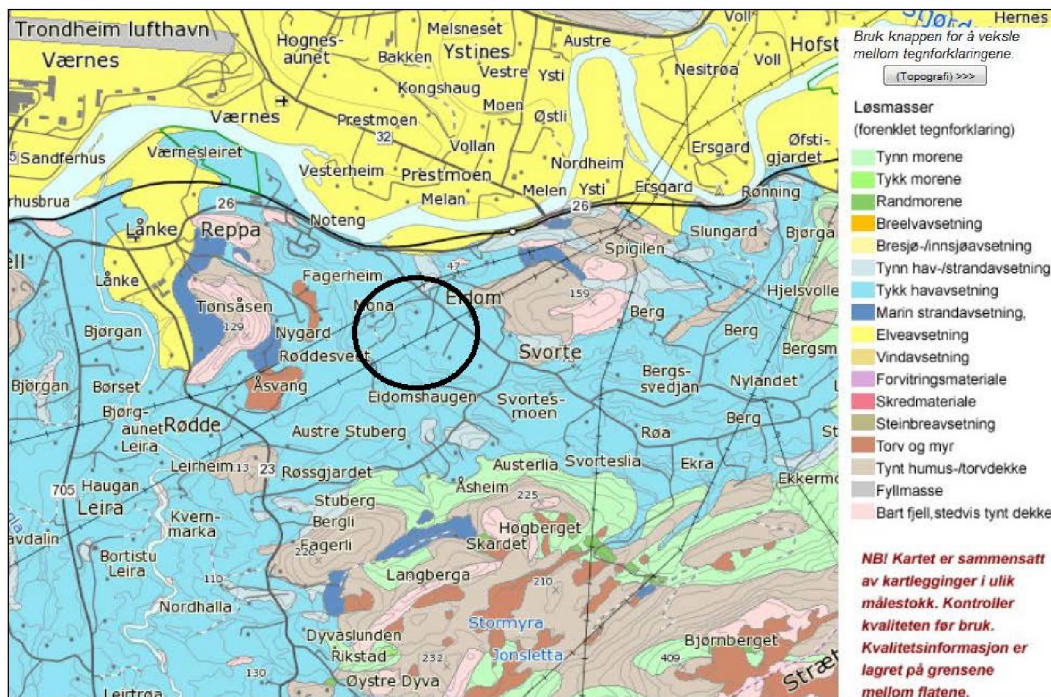
Landskapet i sonen domineres av et platå på ca. kt. +45. Platået forsetter i nord og øst, men er avskåret av en ravine i sør og vest, se Figur 2. Skråningshøyden fra platået og ned i bunnen av ravinen varierer mellom ca. 15-30 m.



Figur 2 Topografi i faresone 621 Lillemo (Norgeskart).

### 3.2 Kvarteærgeologi

Kvartærgeologisk kart fra NGU indikerer tykk marin avsetning i det aktuelle området, jf. Figur 3 (lyseblått). Ref. (5) viser at marin grense i området varierer fra kote +183 til +188 og at det er registrert flere historiske skredhendelser i området. Eksempler er kvikkleireskredet Stuberghsfallen i 1807 og leirkred ved Reppa i 1976.



Figur 3 Kvartærgeologisk kart (NGU).

### 3.3 Erosjon

Fra befaring i mai 2012 ble det registrert aktiv erosjon langs bekken i sør og sørøst i sonen. I den vestre delen er det lav hastighet på bekken og den sedimenterer mer enn den graver.

### 3.4 Faregrad, skadekonsekvens og risikoklasser

I 2005 ble det utført vurdering av faregrad, skadekonsekvens og risiko i henhold til ref.(1), se Tabell 1.

Tabell 1 Faregrad-, skadekonsekvens- og risikoklasseevaluering for Lillemo, ref.(6).

	Vurdering 2005
Faregrad	2 -middels
Skadekonsekvens	3-meget alvorlig
Risikoklasse	4

For tiltak i klasse K3, det vil si tiltak som innebærer tilflytting av mennesker og tiltak som gjelder viktige samfunnsfunksjoner, gjelder følgende krav i henhold til ref. (1). For områder med høy faregrad må tiltak ha en beregnet materialfaktor,  $\gamma_m > 1,4$ , eller "vesentlig forbedring", det vil si opp mot 15 % forbedring av materialfaktoren. I tillegg er det krav om uavhengig kontroll.

## 4 Tolkning av grunnundersøkelser

### 4.1 Grunnforhold og lagdeling

Følgende kriterier er lagt til grunn for tolkningen av lagdelingen:

- **Prøveserier** - dersom en prøveserie viser kvikk/sensitiv leire er dette tillagt størst vekt i forhold til andre undersøkelsesmetoder under tolkningsarbeidet.
- **Dreietrykksondering** - ved "overheng" eller "utflating" av målt spissmotstand tolkes det kvikk/sensitiv leire ned til dyptet hvor det igjen er oppnådd samme spissmotstand som før "overhenget" og "utflatingen".
- **Totalsondering** - samme kriterier som over er lagt til grunn med viten om at totalsonderingen gir et noe grovere datasett.
- **CPTU** - det er benyttet klassifikasjonssystem basert på spissmotstand,  $q_t$ , og poretrykk-parameter,  $Bq$ , etter (Ref. 7).

Sprøbruddmateriale er i ref. [1] definert med følgende egenskaper:

- Sensitivitet ( $S_t$ )  $> 15$
- Omrørt skjærfasthet ( $s_{uomr}$ )  $< 2 \text{ kPa}$  (kvikkleire når  $s_{uomr} < 0,5 \text{ kPa}$ )

I det aktuelle området viser grunnundersøkelsene på platået (ca. kt. +45) et tilnærmet normalkonsolidert jordprofil. Denne består av leirlag over et lag med sprøbruddmateriale med mektighet på 5-15 m. Sprøbruddmaterialet kiles delvis ut ned mot ravinen. Under sprøbruddmaterialet er det siltig leire med varierende tykkelse over faste masser som boringene har stoppet i. Fjell er ikke påtruffet i noen av boringene. Ved befaring er det observert fjell i sørøstre del av sonen ved Profil A-A, se tegning 200 D. Det er dermed tolket antatt fjell i nevnte profil, mens det i de resterende profilene er tolket faste masser i laget der boringene stopper. Tidligere grunnundersøkelser jf. ref.(4) samsvarer bra med de nye grunnundersøkelsene, og løsmassene kan deles inn som følgende:

1. Tørrskorpe (1-2 m tykt)
2. Øvre leirlag (5-10 m tykt)
3. Sensitiv til kvikkleire (sprøbruddmateriale) (5-15 meter tykt)
4. Nedre leirlag (10-20 meter tykt)

Se tegning 200 D til 207 D for lagdeling i hvert profil.

#### **4.2 Grunnvannsforhold og poretrykk**

Det er benyttet poretrykksmålinger fra Li-4 og Li-6 for tolkning av grunnvannstand og poretrykk. Poretrykket er målt i to nivåer i hvert borpunkt for å kunne bestemme poretrykksgradienten. På platået er det målt undertrykk og en gradient på ca. 7 kPa/m. Målt stigehøyde ift. terrengnivå viser opptil 9 m undertrykk oppe på platået. I bunn av ravinen er det ikke utført poretrykksmålinger. For å være på konservativt side er det antatt et overtrykk med poretrykksgradient på 11,5 kPa/m i bunn av ravinen. I profilene i nordlige del av sonen er det antatt poretrykksgradient på 10,5 kPa/m siden terrenget er slakere der. Vedlegg B viser målt poretrykk og stigehøyde fremstilt sammen med hhv. dybde og kote for målenivå.

Erfaringsvis vil permeabiliteten kunne variere en god del over et område. Permeable lag av eksempelvis silt og sand vil drenere raskere enn leire. Dette medfører at det vil kunne forekomme lokale poretrykksvariasjoner. I enkelte nivåer / lag kan derfor poretrykket avvike en god del fra det som interpoleres / ekstrapoleres fra nivåer med målt poretrykk. Poretrykksverdiene som er benyttet kan antas å være konervative.

### **5 Tolkning av materialparametere**

#### **5.1 Indeksparametere**

Typiske klassifiseringsdata for de fire øvre jordlagene fremgår av Tabell 2. Verdiene er tolket fra prøveserie Li-4, Li-6 og Li-11.

*Tabell 2 Typiske jordartsegenskaper.*

	Vanninnhold (%)	Romvekt (kN/m <sup>3</sup> )	Plastisitets- og flytegrense (%)	Sensitivitet (S <sub>t</sub> )	Omrørt skjærfasthet (kPa)
<b>Tørrskorpe (1.)</b>	24-36	18,2-20,4	-	2-5	17-18
<b>Øvre leirlag (2.)</b>	27-38	19,0-20,4	18-27	2-24	2-12
<b>Sprøbruddm. (3.)</b>	29-44	18,7-20,9	17-28	10-270	0,1-3
<b>Nedre leirlag (4.)</b>	25-35	19,5-20,7	21-30	5-19	2-14

## 5.2 Udrenert skjærstyrke

### 5.2.1 Ødometerforsøk

En sammenstilling av utførte ødometerforsøk er gitt i Vedlegg C. På grunnlag av volumendringene av prøven under rekonsolidering til *in situ* effektivspenning, gir tabellen i Vedlegg C et anslag for prøvekvaliteten iht. ref.(1). Det er ett forsøk som er kvalitetsklasse 1 - perfekt, ett forsøk er kvalitetsklasse 1 – akseptabel og to forsøk er karakterisert som kvalitetsklasse 2 – forstyrret. De to prøvene som er forstyrret har ikke blitt vektlagt i tolkningen.

Resultatene fra prøvene viser at leira er normal konsolidert med OCR verdier rundt 1,2. På bakgrunn av en neddykket romvekt på 9 kN/m<sup>3</sup> og en aldringsfaktor på 1,2 er tidligere havbunnsnivå beregnet til å være mellom kote +47 og +48 i store deler av området. Se vedlegg C for en sammenstilling av tolkede ødometerforsøk.

### 5.2.2 Treaksialforsøk

En sammenstilling av utførte treaksialforsøk er gitt i vedlegg D. På grunnlag av utpresset porevann under forsøkets konsolideringsfase gir tabellen i vedlegg D et anslag for prøvekvaliteten iht. ref. (1). Det er to forsøk som er kvalitetsklasse 1 - perfekt, ett forsøk er kvalitetsklasse 1 – akseptabel og tre forsøk er karakterisert som kvalitetsklasse 2 – forstyrret. Treaksialforsøk er utført med tanke på å tolke friksjonsvinkelen for materialet, samt udrenert aktiv skjærstyrke. Se vedlegg D for en sammenstilling av tolkede treaksialforsøk.

### 5.2.3 CPTU

Det er utført 5 CPTU-sonderinger. Nedenstående tabell gjengir et anslag på kvaliteten av sonderingene som fremkommer av nullpunktsavlesningen. Alle sonderingene havner i anvendelsesklasse 1.

Tabell 3 Nullpunktavlesninger og anvendelsesklasser, ref. (3).

Borepunkt	Spissmotstand [kPa]	Sidefriksjon [kPa]	Poretrykk [kPa]	Maks. helning	Anvendelseskasse
Li-4	-2,3	-0,5	0,3	11,2°	1
Li-5	5,2	-0,4	0,1	3,83°	1
Li-6	3,5	-1,8	-1,2	17,3°	1
Li-11	12,6	0,2	-5,1	8,0°	1
Li-13	6,9	-0,1	0	4,1°	1

CPTU-sonderingene er tolket etter korrelasjoner mot blokkprøver iht. ref.(8). Det er benyttet inngangsparametere fra indeksforsøkene i nærheten av de ulike CPTU-sonderingene, samt avlest poretrykk fra ref. (3). I tillegg er tolkede indeks-, ødometer- og treaksial-forsøk vurdert for bestemmelse av udrenert skjærstyrke- og OCRprofil. Resultatene av tolkningene er vist i vedlegg E. Generelt indikerer CPTU-sonderingene tilnærmet samme overskonsolideringsnivå som er tolket fra ødometerforsøkene.

#### 5.2.4 SHANSEP-faktorer

Forutsetningene for beregnede skjærstyrkeprofiler iht. SHANSEP-prinsippet er oppsummert i Tabell 4. SHANSEP-prinsippet tar hensyn til effektivt overlagringstrykk,  $p'_0$ , og leirens overkonsolideringsgrad, OCR, i bestemmelsen av udrenert skjærstyrkeprofil, ref.(8) og ref.(9). Dette gir grunnlag for beregning av udrenert skjærstyrke på steder hvor det ikke er utført grunnundersøkelser, se nedenstående formler.

$$s_{uA} = \alpha \cdot p'_0 \cdot OCR^m$$

$$OCR = \frac{p'_c}{p'_0}$$

Tabell 4 Forutsetninger for beregning av skjærstyrke iht. SHANSEP-prinsippet.

$\alpha$	$p'_0$	OCR	m
0,3	Beregnet med målt romvekt og målt/interpolert poretrykk	Prekonsoliderings-spenningen ( $p_c'$ ) beregnet med målt romvekt, poretrykk og antatt opprinnelig havbunnsnivå lik kote +47	0,7

Verdiene for  $\alpha$  og m er valgt slik at det oppnås best mulig samsvar med CPTU-tolket skjærfasthet basert på korrelasjoner i ref.(8). Verdiene gir også god samsvar med tolkede verdier fra ødometer- og treaksialforsøk, jf. vedlegg C og D.

### 5.3 Anisotropiforhold

Anisotropiforhold for leiren er valgt ut fra erfaringstall fra blokkprøver ref.(8), og gjengitt i Tabell 5. I stabilitetsberegningene er aktiv skjærstyrke redusert med 15 % for sprøbruddmateriale iht. ref.(1) og (9). Denne reduksjonen er anbefalt for blokkprøvedata eller korrelasjoner mot blokkprøvedata pga. sprøbrudd- og tidseffekter. Reduksjonen er tatt inn i stabilitetsberegningene gjennom anisotropifaktoren for aktiv skjærfasthet. Anisotropifaktorene for direkte og passiv skjærfasthet er også redusert noe i sprøbruddmateriale, jf. Tabell 5.

*Tabell 5 Anisotropiforhold benyttet i stabilitetsberegninger.*

	Aktiv ( $S_{u_a}$ )	Direkte ( $s_{ud}$ )	Passiv ( $s_{up}$ )
$S_t > 15$ og $s_{uomr} < 2$ kPa	0,85	0,65	0,32
$S_t < 15$ og $s_{uomr} > 2$ kPa	1,0	0,7	0,4

### 5.4 Drenert skjærstyrke

Resultatene fra utførte treaksialforsøk stemmer rimelig godt overens med erfaringssdata, og det er benyttet friksjonsvinkel og kohesjon iht. tolkede verdier i Vedlegg D. Tabell 6 gir en oversikt over benyttede parametere i stabilitets-beregningene.

*Tabell 6 Oversikt over drenerte skjærfasthetsparametere.*

	Friksjonsvinkel $\varphi$ (°)	Kohesjon c (kPa)
Tørrskorpe	32	0
Øvre leirlag	30	5
Sprøbruddm.	23-30	5
Nedre leirlag	33	5
Fastemasser	35	10

## 6 Stabilitetsberegnninger og -resultater

Det er beregnet stabilitet i Profil A-A, C-C, D-D, E-E, F-F og G-G. Beregningsprofilene er valgt ut på bakgrunn av topografi og grunnforhold. Stabilitetsberegnene er vist på tegning 300 D - 311 D og oppsummert i de etterfølgende avsnittene. Det henvises til plantegning 100 D for en oversikt over plasseringen av profiler og grunnundersøkelser. Alle stabilitetsberegninger er utført med beregningsverktøyet "Geosuite Stabilitet". På tegningene er det tegnet inn en mulig progressiv utvikling i kvikkleirelaget med helning 1:15 fra kritisk skjærflate.

I stabilitetsberegningene er SHANSEP-baserte skjærstyrkeprofiler benyttet på steder hvor det ikke finnes lokale CPTU / treaksialforsøk. Disse skjærstyrkeprofilene vil

avvike noe fra tolkningene i vedlegg E pga. at terrengnivå og poretrykk kan være noe justert. Det er benyttet friksjonsvinkel som er tolket fra treaksialforsøk fra nærliggende prøveserie. Da noen av prøvene var forstyrret er det tolket en svært lav friksjonsvinkel. Tabell 7 viser at dette ikke påvirker beregningsresultatene i nevneverdig grad siden udrenertanalyse gir lavere eller like lav sikkerhet som drenertanalyse.

Iht. ref. (1) skal skjærstyrken justeres opp i de tilfeller det beregnes sikkerhet,  $\gamma_M$ , lavere enn 1,0 (ufysikalsk). Ved tilfeller der innspenning mot sideterrenget potensielt kan være årsak til at skråningene allikevel er stabile, eller at skråningstoppen har en begrenset utstrekning, er  $\gamma_M$  lik 1,0 oppnådd ved å legge inn en sidefriksjonsfaktor i beregningen.

Alle tiltak omfatter oppfylling med material som tilsvarer tørrskorpen i området. Det vil si tyngdetethet 19 kN/m<sup>3</sup>,  $\phi = 32^\circ$ ,  $c = 0$  kPa. Tiltak gjort i udrenerte beregninger gir god nok sikkerhet også for drenerte beregninger. Det presiseres at ønskelig forbedring også kan oppnås ved avlastning av skråningstoppen, dette eventuelt i tillegg til motfylling som er beskrevet. Tabell 7 viser resultat fra stabilitetsberegningerne.

*Tabell 7 Beregningsresultater fra utførte stabilitetsanalyser.*

Profil	Beregning	Kritisk skjærflate for dagens sit.				Kritisk skjærflate etter tiltak			
		$\gamma_m$ dagens	$\gamma_m$ tiltak	Forb. krav	Opp- nådd	$\gamma_m$ dagens	$\gamma_m$ tiltak	Forb. krav	Opp- nådd
A-A	Udrenert	1,01	1,25	14,8%	24%	1,05	1,18	12,8	12,8
	Drenert	1,08	-	-	-	-	1,69	>1,4	>1,4
C-C	Udrenert	1,07	1,21	12,7%	13,1%	1,07	1,21	12,7%	13,1%
	Drenert	1,79	-	>1,4	>1,4	-	-	-	-
	Sammensatt	1,29	1,41	>1,4	>1,4	-	1,41	>1,4	>1,4
D-D	Udrenert	1,29	1,40	3,9%	8%	1,31	1,39	3,5%	6%
	Drenert	1,24	-	6%	-	-	1,66	-	-
	Sammensatt	1,37	-	>1,4	>1,4	-	-	-	-
E-E	Udrenert	1,00	1,21	15%	21%	1,02	1,17	14,4%	14,5%
	Drenert	1,05	-	-	-	-	1,74	>1,4	>1,4
	Sammensatt	1,74	-	>1,4	>1,4	-	-	-	-
F-F	Udrenert	1,32	1,37	3%	4%	1,34	1,37	2,2%	2,2%
	Drenert	2,06	-	>1,4	>1,4	-	-	-	-
	Sammensatt	1,44	-	>1,4	>1,4	-	-	-	-
G-G	Udrenert	1,30	1,42	3,7%	9%	1,30	1,40	3,7%	8%
	Drenert	2,08	-	>1,4	>1,4	-	-	-	-
	Sammensatt	1,84	-	>1,4	>1,4	-	-	-	-

### 6.1.1 Profil A-A

Poretrykksprofilen er basert på målinger i Li-4 i toppen av skråningen. I bunn av skråningen er poretrykksprofilen basert på en konservativ antagelse om gradient på 11,5 kPa/m. Poretrykksprofilene mellom topp og bunn av skråningen er antatt ved interpolering. Skjærstyrkeprofilene er basert på tolkning og sondering for Li-5 i bunnen av skråningen og Li-4 i toppen av skråningen.

For totalspenningsanalyse (udrenert med ADP-forhold) oppnås det en materialfaktor  $\gamma_M = 1,01$  med benyttelse av sidefriksjonsfaktor på 0,006. Dette er den laveste sikkerheten for glideflater i sprøbruddmaterialet. For effektivspenningsanalyser (drenert) er laveste beregnet materialfaktor  $\gamma_M = 1,08$ . Beregningene er presentert på tegning 300 D.

Det oppnås ikke tilfredsstillende materialfaktor for verken total- eller effektivspenningsanalyse for dagens situasjon i profil A-A. Sikkerheten i profil AA tilfredsstiller dermed ikke kravene iht. NVEs retningslinjer (ref. 1). Et alternativt tiltak er oppfylling til kote +37 opp langs skråningen med en helning 1:3. Motfyllingen når til kote +33 på andre siden av ravinen. Ved et slikt tiltak oppfylles kravet om prosentvis forbedring i hht. ref.(1). Se tegning 300 D og 304 D. Tegning 101 D viser at motfyllingen avsluttes i vest ved en tidligere skreddrop. Det er antatt at denne skråningen har materialfaktor som i A-A etter utført tiltak.

### 6.1.2 Profil B-B

Det er ikke beregnet stabilitet i dette profilet siden det er vurdert som at det ikke er noen fare for kvikkleireskred. Dette begrunnes med at kvikkleirelaget ligger svært dypt.

### 6.1.3 Profil C-C

Poretrykksprofilen er basert på målinger i Li-4 i toppen av skråningen. I bunnen av skråningen er poretrykksprofilen basert på en konservativ antagelse om gradient på 11,5 kPa/m. Poretrykksprofilene mellom topp og bunn av skråningen er antatt ved interpolering. Skjærstyrkeprofilen er basert på tolkning og sondering for Li-5 i bunnen av skråningen og Li-4 i toppen av skråningen.  $B_q$  og  $q_t$  for CPTU Li-5 viser at det ikke er kvikkleire i de øvre 6,5 m. CPTU'en er avsluttet i 6,5 m dybde. Det er konservativt antatt at det er kvikkleire fra 6,5 m dyp og i samme mektighet som for Li-4.

For totalspenningsanalyse oppnås det materialfaktor  $\gamma_M$  lik 1,07 som den laveste sikkerheten for glideflate i sprøbruddmaterialet. Det er beregnet stabilitet for sammensatte skjærflater med ulike helningsvinkler. Dårligst stabilitet oppnås med helning 1:5 med  $\gamma_M$  lik 1,21. Et eventuelt skred med plan skjærflate er derfor ikke vurdert å være kritisk. Beregningene er presentert på tegning 301 D.

Det oppnås ikke tilfredsstillende materialfaktor for totalspenningsanalyse for dagens situasjon i Profil C-C i hht. ref.(1). Et alternativt tiltak er oppfylling med 2,75 m tykt dekke fra bunn av ravinen, og opp langs skråningen til kote +33 med en helning som nåværende terrenget. Ved et slikt tiltak oppfylles kravet om prosentvis forbedring i hht. ref.(1), se tegning 307 D. Som vist på tegning 101 D er motfylling lagt et stykke østover fra profil C-C til terrenget blir mindre bratt og det er lavere høgdeforskjell. Erosjonssikringen er anbefalt til soneavgrensningen. Som nevnt er det ikke vurdert som fare for kvikkleireskred i profil B-B, men det er konservativt valgt å legge motfyllig på ryggen sør for profilet. Eventuelle flere grunnundersøkelser vil kunne avklare om det er kvikkleire i dette området eller ikke, og om det da er behov for motfylling.

#### 6.1.4 Profil D-D

Poretrykksproilet er basert på målinger i Li-6 i toppen av skråningen. I bunn av skråningen er poretrykksproilet basert på en konservativ antagelse om gradient på 11,5 kPa/m. Poretrykksprofilene mellom topp og bunn av skråningen er antatt ved interpolering. Skjærstyrkeproilet er basert på tolkning og sondering for Li-5 i bunnen av skråningen og Li-6 i toppen av skråningen. Skjærstyrkeprofilene mellom topp og bunn av skråningen er basert på SHANSEP-parametere fra Li-5.

For henholdsvis total- og effektivspenningsanalyse er det beregnet materialfaktor  $\gamma_M$  lik 1,29 og 1,15, noe som ikke tilfredsstiller kravene i ref.(1). Det er beregnet stabilitet for sammensatte skjærflater med ulike helningsvinkler. Dårligst stabilitet oppnås med helning 1:6 med  $\gamma_M$  lik 1,4. Et eventuelt skred med plan skjærflate er derfor ikke vurdert å være kritisk. Beregningene er presentert på tegning 302 D.

Et alternativt tiltak er oppfylling til ca. kote +18,5 i bunn av ravinen, og opp langs skråningen til kote +24 med helning 1:4. Ved et slikt tiltak oppfylles kravet om prosentvis forbedring i hht. ref.(1), se tegning 308 D.

#### 6.1.5 Profil E-E

Poretrykksproilet er basert på målinger i Li-6 i toppen av skråningen. I bunn av skråningen er poretrykksproilet basert på en konservativ antagelse om gradient på 11,5 kPa/m. Poretrykksprofilene mellom topp og bunn av skråningen er antatt ved interpoleringer. Skjærstyrkeproilet er basert på tolkning og sondering for Li-11 i bunnen av skråningen og Li-6 i toppen av skråningen. Skjærstyrkeprofilene mellom topp og bunn av skråningen er basert på SHANSEP-parametere fra Li-6.

For totalspenningsanalyse oppnås det en materialfaktor  $\gamma_M$  lik 1,00 med benyttelse av sidefriksjonsfaktor på 0,009. Dette er den laveste sikkerheten for glideflater i sprø-bruddmaterialet. For effektivspenningsanalyser er laveste beregnet materialfaktor  $\gamma_M$  lik 1,05. Det er beregnet stabilitet for sammensatte skjærflater med ulike

helningsvinkler. Dårligst stabilitet oppnås med helning 1:8 med  $\gamma_M$  lik 1,74. Et eventuelt skred med plan skjærflate er derfor ikke vurdert å være kritisk. Beregningene er presentert på tegning 303 D.

Et alternativt tiltak er oppfylling til kote +20 i bunn av ravinen, og opp langs skråningen til kote +31 med helning 1:5. Ved et slikt tiltak oppfylles kravet om prosentvis forbedring i hht. ref.(1), se tegning 309 D.

#### 6.1.6 Profil F-F

I toppen av skråningen er det benyttet poretrykksmålinger fra Li-6, der det er målt undertrykk med poretrykksgradient på 7,5 kPa/m. I bunn av skråningen er det antatt et overtrykk med poretrykksgradient på 10,5 kPa/m. Denne er antatt lavere enn i stabilitetsprofilene som er beregnet ved brattere terrenge. Det er benyttet skjærstyrkeprofil fra CPTU i Li-11 og Li-6 i hhv. bunn og topp av skråning.

Det er beregnet stabilitet for sammensatte skjærflater med ulike helningsvinkler. Dårligst stabilitet oppnås med helning 1:7 med  $\gamma_M$  lik 1,44. Et eventuelt skred med plan skjærflate er derfor ikke vurdert å være kritisk. Effektivspenningsanalyse gir materialfaktor  $\gamma_M$  lik 2,06 og er heller ikke kritisk. For totalspenningsanalyse oppnås det materialfaktor  $\gamma_M$  lik 1,32 som den laveste sikkerheten for glideflate i sprøbruddmaterialet. Beregningene er presentert på tegning 304 D.

Et alternativt tiltak for å oppfylle kravet om prosentvis forbedring i hht. ref.(1), er oppfylling med 1 m tykt dekke i bunn av ravinen over en lengde på 40 m, se tegning 310 D. Tegning 304 D viser at det også er en skjærflate med materialfaktor  $\gamma_M$  lik 1,34 i øvre del av skråningen. I øvre del er det benyttet skjærstyrkeprofil fra CPTU i Li-6. På bakgrunn av at dreantrykkssondering i Li-10 i toppen av skråningen for profilet viser fastere material enn dreantrykkssonderingen ved Li-6 er det vurdert at stabiliteten i toppen av gjeldene profil er god nok.

#### 6.1.7 Profil G-G

Det er antatt en konservativ poretrykksgradient på 10,5 kPa/m og 8,5 kPa/m ved h.h.v. bunn og topp av skråning. Dette gir mindre overtrykk og undertrykk i profil G-G sammenlignet med de andre stabilitetsprofilene, noe som forklares med at det er en slakere skråning ved profil G-G enn de andre. Skjærstyrkeprofilet er basert på tolkning og sondering for Li-13 i toppen av skråningen. Skjærstyrkeprofilene i bunn og mellom topp og bunn av skråningen er basert på SHANSEP-parametere fra CPTU i Li-13.

For totalspenningsanalyse oppnås det en materialfaktor  $\gamma_M$  lik 1,30. Dette er den laveste sikkerheten for glideflater i sprøbruddmaterialet. For effektivspenningsanalyser er laveste beregnet materialfaktor  $\gamma_M$  lik 2,08. Det er beregnet stabilitet for sammensatte skjærflater med ulike helningsvinkler. Dårligst stabilitet oppnås med

helning 1:7 med  $\gamma_M$  lik 1,84. Et eventuelt skred med plan skjærflate er derfor ikke vurdert å være kritisk. Beregningene er presentert på tegning 305 D.

Det oppnås ikke tilfredsstillende materialfaktor for totalspenningsanalyse for dagens situasjon i Profil G-G i hht. ref.(1). Et alternativt tiltak er oppfylling med 1 m tykt dekke over et område på 60 m, se tegning 311 D.

## 7 Nødvendige sikringstiltak og videre anbefalinger

### 7.1 Omfang av sikringstiltak ved kun erosjonssikring

Som beskrevet innledningsvis ønsker NVE å kun utføre erosjonstiltak og ikke motfylling. Det er utført supplerende borer i høsten 2016, og med bakgrunn i disse og tidligere utførte borer og beregninger vurderer NGI at det er nødvendig med erosjonssikring langs hele bekken, se Tegning 102 D. Ut i fra nivå og mektighet på kvikkleiren er det østre og deretter midtre del av bekken som bør ha høyest prioritet for erosjonssikring. Deretter området i nordvest ved Profil F-F, og til slutt området ved profil D-D og E-E.

Begrunnelse for erosjonssikring er gitt nedenfor.

#### Østre del av sonen:

I Profil A-A og Profil I-I viser boring Li-20 og Li-21 kvikkleire i nivå med bekken. Fra befaring er det observert erosjon i området og det er beregnet lav stabilitet.

#### Midtre del av sonen:

I Profil C-C viser prøveserie Li-25 at det ikke er kvikkleire i bunn av ravinen, men leiren er på grensen til sensitiv. På platået er det tolket kvikkleire med 15 m mektighet fra 6 m under terreng. Det kan ikke utelukkes at kvikkleiren har utbredelse nedover i skråningen. Fra befaring er det observert erosjon i området og det er beregnet lav stabilitet.

Prøveserie i Li-22 tolkes som sensitiv/kvikkleire fra 6 m dybde, dette tilsvarer kote +17,7m. Nivå for bekken er i dette området bare 1,3 m grunnere, på kote +19 m.

Det er ikke påvist kvikkleire i borhull Li-23 og Li-24, men det er påvist kvikkleire både øst og vest for dette området. Dette sammen med at det er en kraftmast på høyden nord for Li-24 gjør at vi anbefaler erosjonssikring i dette området.

#### Vestre del av sonen:

I Profil D-D og E-E viser boring Li-27 og Li-29 sensitiv-/kvikkleire på skråningskant kun ca. 3 m under terreng. Det er ikke påvist kvikkleire i bunn av skråningen. Det kan ikke utelukkes at kvikkleiren har utbredelse nedover i skråningen. I Profil F-F viser boring Li-11 sensitiv-/kvikkleire fra 7 m dybde og fra boring Li-10 tolkes det kvikkleire i 4 m dybde på platået.

Det er ved befaring ikke observert erosjon i området, men med bakgrunn i den beregnede lave stabiliteten, påvist kvikkleire i profil F-F og at det er bebyggelse på skråningstopp anbefales det erosjonssikring.

### 7.1.1 Endringer av sonegrensen

På bakgrunn av topografi og kvikkleire i Li-21 er sonegrensen forslått utvidet i sørøstlige del av sonen. I nordvest er det gjort en liten justering av sonegrensen, slik at sonegrensen følger terrengsøkket. Det vurderes som at et skred nord for Li-11 ikke vil forplante seg inn i sonen pga. topografien. Det bør vurderes anbefales supplerende geotekniske grunnundersøkelser for å kartlegge kvikkleireforekomst nord for Li-11 og for å vurdere om det skal opprettes en ny kvikkleiresone.

### 7.1.2 Faregrad, skadekonsekvens og risikoklasse

Ny evaluering for sonen med tanke på faregrad, skadekonsekvens og risikoklasse i henhold til ref.(1), er presentert i Vedlegg A, tabell A3. Der er sonen evaluert etter nye grunnundersøkelsene utført høsten 2012 og for eventuelle tiltak (erosjonssikring). I Tabell 8 blir resultatene sammenlignet med tidligere evaluering ref.(6). Etter eventuelt utført tiltak med erosjonssikring blir faregrad redusert fra middels til lav og risikoklassen redusert fra 4 til 3.

*Tabell 8 Evaluering av faregrad, skadekonsekvens og risikoklasse etter tiltak (erosjonssikring) for Lillemo.*

	Tidligere vurdering (2005)	Oppdatert vurdering (2013)	Vurdering etter tiltak (erosjonssikring)
Faregrad	2 -middels	2 -middels	1-lav
Skadekonsekvens	3-meget alvorlig	3-meget alvorlig	3-meget alvorlig
Risikoklasse	4	4	3

### 7.2 Omfang av sikringstiltak ved motfylling og erosjonssikring

**Delkapittelet omhandler opprinnelig anbefaling av sikring med motfylling og erosjonssikring som presentert i rev.1 av rapporten.**

For vurderingene av nødvendige tiltak er kravet for tiltakskategori 3 og "vesentlig forbedring" i hht. ref. (1) lagt til grunn. For å dokumentere tilstrekkelig sikkerhet i hht. kravene er det nødvendig med til dels store tiltak, jf. tiltaksberegningene. I flere av tilfellene kan en tilstrekkelig stabilitetsforbedring oppnås ved en kombinasjon av nedplanering av toppen og oppfylling i bunnen, men det gjøres oppmerksom på at dette kan gi dårligere stabilitet for enkelte lange glideflater. Alle sikringstiltak må detaljprosjeskteres og supplerende geotekniske grunnundersøkelser kan i den sammenheng være nødvendig. Det bør også vurderes om motfylling skal legges på begge sider av dalen for å sikre skråningen på andre siden av ravinen.

På grunn av aktiv erosjon fra bekken langs sør og sørøstre del av sonen bør denne erosjonssikres. Ved motfylling i eksisterende bekk må bekken heves. Se plantegning 101 D for en skisse av foreslalte tiltak. Tegning 101 D viser også forslag til ny sonegrense.

### 7.2.1 Endringer av sonegrensen

På bakgrunn av topografi og kvikkleire i Li-19 er sonegrensen utvidet i sørøstlige del av sonen. Det anbefales supplerende geotekniske grunnundersøkelser i dette området for å kartlegge utbredelsen av kvikkleiren og bedre kunne vurdere soneavgrensningen.

I nordvest er det gjort en liten justering av sonegrensen. Det vurderes som at et skred nord for Li-11 ikke vil forplante seg inn i sonen pga topografien. Det anbefales supplerende geotekniske grunnundersøkelser for å kartlegge kvikkleireforekomst nord for Li-11 og for å vurdere om det skal opprettes ny kvikkleiresone.

### 7.2.2 Faregrad, skadekonsekvens og risikoklasse

Ny evaluering for sonen med tanke på faregrad, skadekonsekvens og risikoklasse i henhold til ref.(1), er presentert i Vedlegg A. Der er sonen evaluert etter nye grunnundersøkelsene utført høsten 2012 og for eventuelle tiltak. I Tabell 9 blir resultatene sammenlignet med tidligere evaluering ref.(6). Tabellen viser at faregrad, skadekonsekvens og risikoklasse etter utvidede grunnundersøkelser er uendret fra tidligere. Etter eventuelt utført tiltak, erosjonssikring og motfylling, blir faregrad redusert fra middels til lav og risikoklassen redusert fra 4 til 3.

*Tabell 9 Evaluering av faregrad, skadekonsekvens og risikoklasse etter tiltak (erosjonssikring og motfylling) for Lillemo.*

	Tidligere vurdering (2005)	Oppdatert vurdering (2013)	Vurdering etter tiltak (erosjonssikring og motfylling)
Faregrad	2 -middels	2 -middels	1-lav
Skadekonsekvens	3-meget alvorlig	3-meget alvorlig	3-meget alvorlig
Risikoklasse	4	4	3

## 8 Referanser

1. NVE. *Retningslinjer nr. 2 - 2011. Flaum- og skredfare i arealplanar.* 2011-04-15.
2. Rambøll. *Rapport G-rap-001 1350018749\_rev01. NVE. Kvikkleiresone 621 Lillemo, Stjørdal. Grunnundersøkelser. Datarapport.* 2017-01-10.
3. Rambøll. *Rapport 6120810-4. NVE. Kvikkleiresoner Trondheim og Stjørdal. Sone C6 - Lillemo. Grunnundersøkelser. Datarapport.* 2013-02-15.
4. NGI. Rapport 820033-2. Kartlegging av område med potensiell fare for kvikkleireskred.
5. Skrednett [www.skrednett.no](http://www.skrednett.no) 2014-01-20.
6. NGI. 20001008-21. Program for økt sikkerhet mot leirskred. Evaluering av risiko for kvikkleireskred Stjørdal Kommune.
7. Robertson et al. Use of piezometer cone data. Proceeding of the ASCE Specialty Engineering, Blacksburg. 1986.
8. Karlsrud, K., et al. 20041198-1. *CPTU-korrelasjoner for leire. CPTU-korrelasjoner for leire basert på blokkprøver.* 2005.
9. Karlsrud, K. *Stabilitetsanalyser av skråninger, skjæringer og fyllinger. Skjærstyrkegenskaper av leire og bruk i stabilitetsanalyser (4.2).* 2003.

# Grunnundersøkelser

## Tegnforklaring plan- og profiltegninger

Bilag 1



### Plantegninger

Symbol	Metode	Symbol	Metode
○	Enkel sondering	▽	Trykksøndring (CPTU)
●	Dreiesøndring	○	Poretrykksmåling
◐	Dreietrykksøndring	■	Setningsmåling
▼	Ramsondering	□	Helningsmåling
◇	Fjellkontrollboring	●	In situ permeabilitetsmåling
⊕	Totalsondering	◎	Prøveserie
+	Vingeboring	□	Prøvegrop

#### Nivåer og dybder (m)

118  $\frac{12,8}{-5,7}$  18,5 + 3,0

Foran symbol: Punkt nr. (118)  
 Over linjen: Kote terreng (12,8) eller elvebunn, sjøbunn ved boring i vann  
 Ut for linjen: Boret dybde i løsmasser (18,5) + boret dybde i fjell (+3,0).  
 Under linjen: Kote antatt fjell (-5, 7). Antas at fjell ikke er påtruffet angis ~.

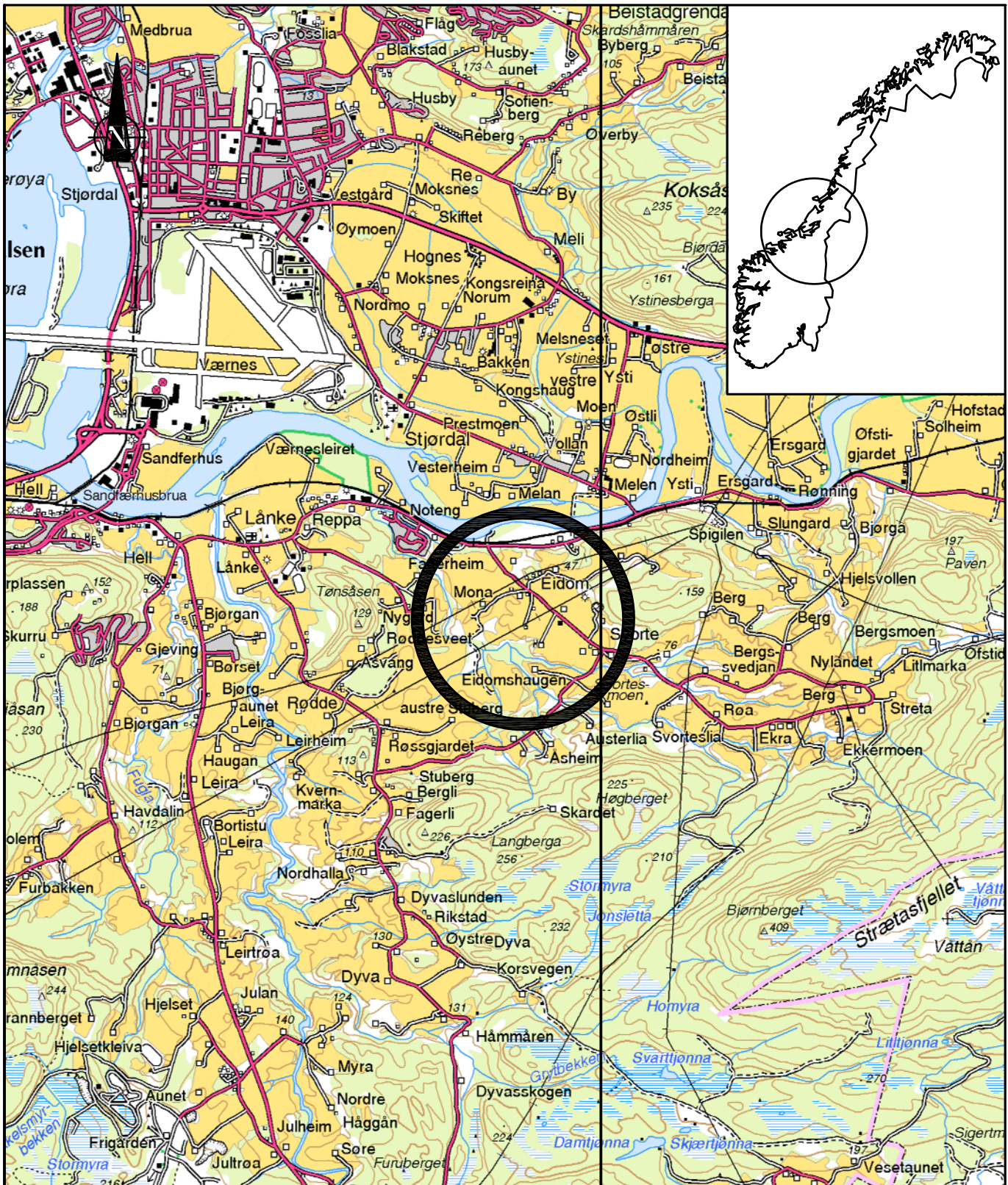
### Profiltegninger

Konturlinjer
Terrenget  Berg
Vannstand  Grunnvannsspeil
Forboring
Forboret  Forboret med grovere utstyr
Avslutning av boring
Boring avsluttet (årsak ikke angitt) Antatt berg
Antatt stein, blokk eller fast grunn Boret i berg

## Bilag 2

### Tegningsliste

Tegn. nr.	Tittel	Format	Målestokk	Rev.	Rev. dato
001 D	Oversiktskart	A-4	1:50000	0	2013-12-19
100 D	Situasjonsplan	A-1	1:2000 (A1) 1:4000 (A3)	2	2017-01-26
101 D	Situasjonsplan med tiltak – motfylling og erosjonssikring	A-1	1:2000 (A1) 1:4000 (A3)	2	2017-01-26
102 D	Situasjonsplan med tiltak – kun erosjonssikring	A-1	1:2000 (A1) 1:4000 (A3)	0	2017-01-26
200 D	Profil A-A	A3-LL	1:200 / 1:400	1	2017-01-10
201 D	Profil B-B	A3-L	1:200	0	2013-12-17
202 D	Profil C-C	A3-LLL	1:200 / 1:400	2	2017-01-10
203 D	Profil D-D	A3-LLL	1:200	1	2017-01-10
204 D	Profil E-E	A3-L	1:400	1	2017-01-10
205 D	Profil F-F	A3-LLL	1:400 / 1:1000	1	2015-03-09
206 D	Profil G-G	A3-L	1:400 / 1:1000	0	2013-12-17
207 D	Profil H-H	A3-LLL	1:400	0	2013-12-17
208 D	Profil I-I	A3-L	1:200	0	2017-01-26
300 D	Stabilitet i Profil A-A	A3-LLL	1:400	0	2013-12-06
301 D	Stabilitet i Profil C-C	A3-LLL	1:400	1	2015-03-09
302 D	Stabilitet i Profil D-D	A3-LL	1:400	0	2013-12-12
303 D	Stabilitet i Profil E-E	A3-LL	1:400	0	2013-12-13
304 D	Stabilitet i Profil F-F	A3-LLL	1:400	0	2014-01-17
305 D	Stabilitet i Profil G-G	A3-LLL	1:400	0	2014-01-17
306 D	Stabilitet i Profil A-A, Tiltak	A3-LLL	1:400	0	2013-12-06
307 D	Stabilitet i Profil C-C, Tiltak	A3-LLL	1:400	1	2015-03-09
308 D	Stabilitet i Profil D-D, Tiltak	A3-LL	1:400	0	2013-12-12
309 D	Stabilitet i Profil E-E, Tiltak	A3-LL	1:400	0	2013-12-06
310 D	Stabilitet i Profil F-F, Tiltak	A3-LLL	1:400	0	2014-01-17
311 D	Stabilitet i Profil G-G, Tiltak	A3-LLL	1:400	0	2014-01-17



## Kvikkleiresoner Stjørdal Lillemo

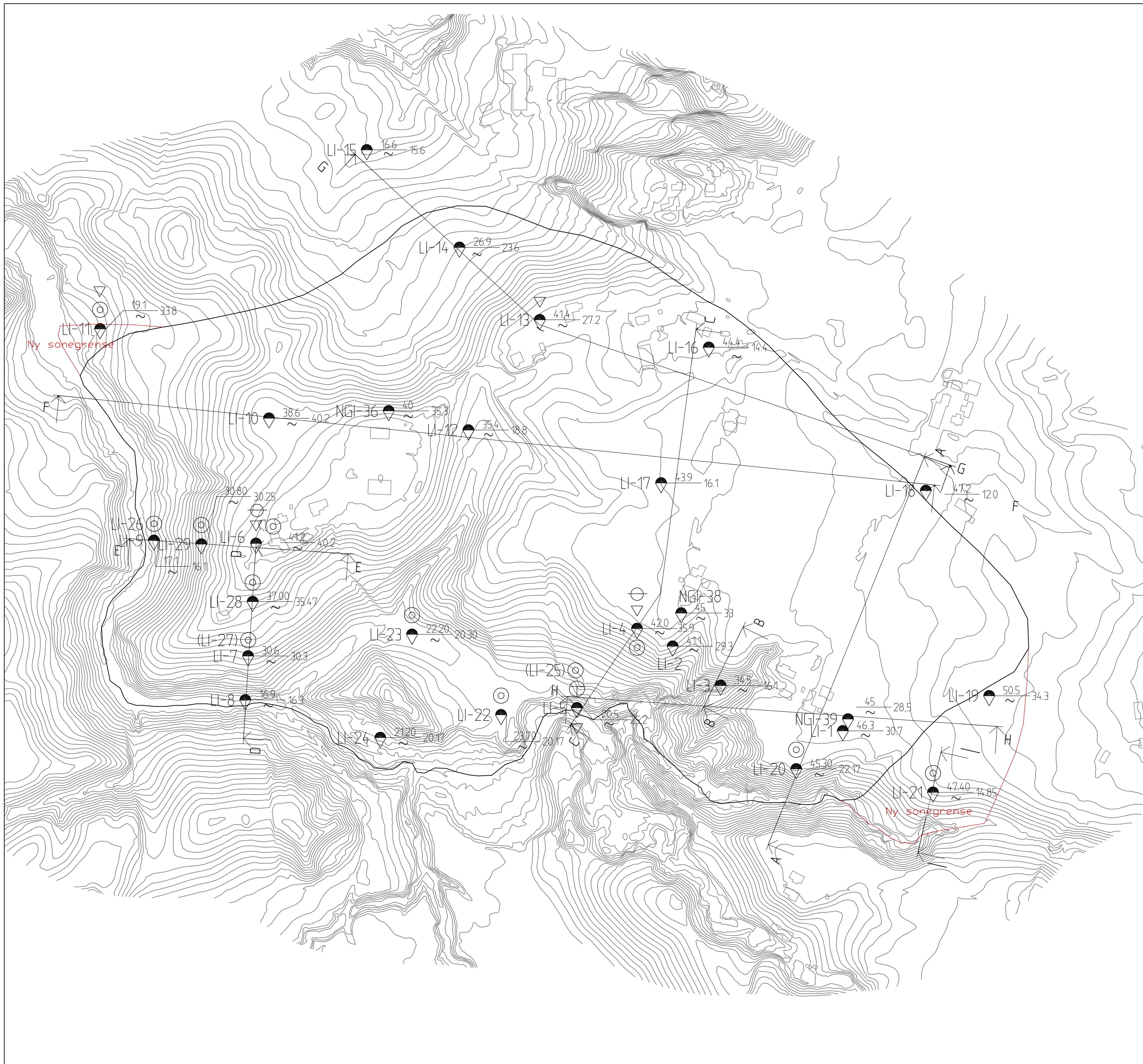
Status	—
Original format	
A-4	
Tegningens filnavn	
G:\gearkiv\20120099\AUTOGRAF.RIT\001 Oversiktskart Lillemo	

Oversiktskart

Målestokk  
1:50 000



NGI Sognsveien 72 - PO Box 3930 Ullevål Stadion NO-0806 Oslo, Norway T: (+47) 22 02 30 00 F: (+47) 22 23 04 48 www.ngi.no	Dato 19.12.2013 Oppdragsnr.	Konstr./Tegnet TSO Tegningsnr.	Kontrollert SBeH	Godkjent KE Rev.
		20120099	001 D	

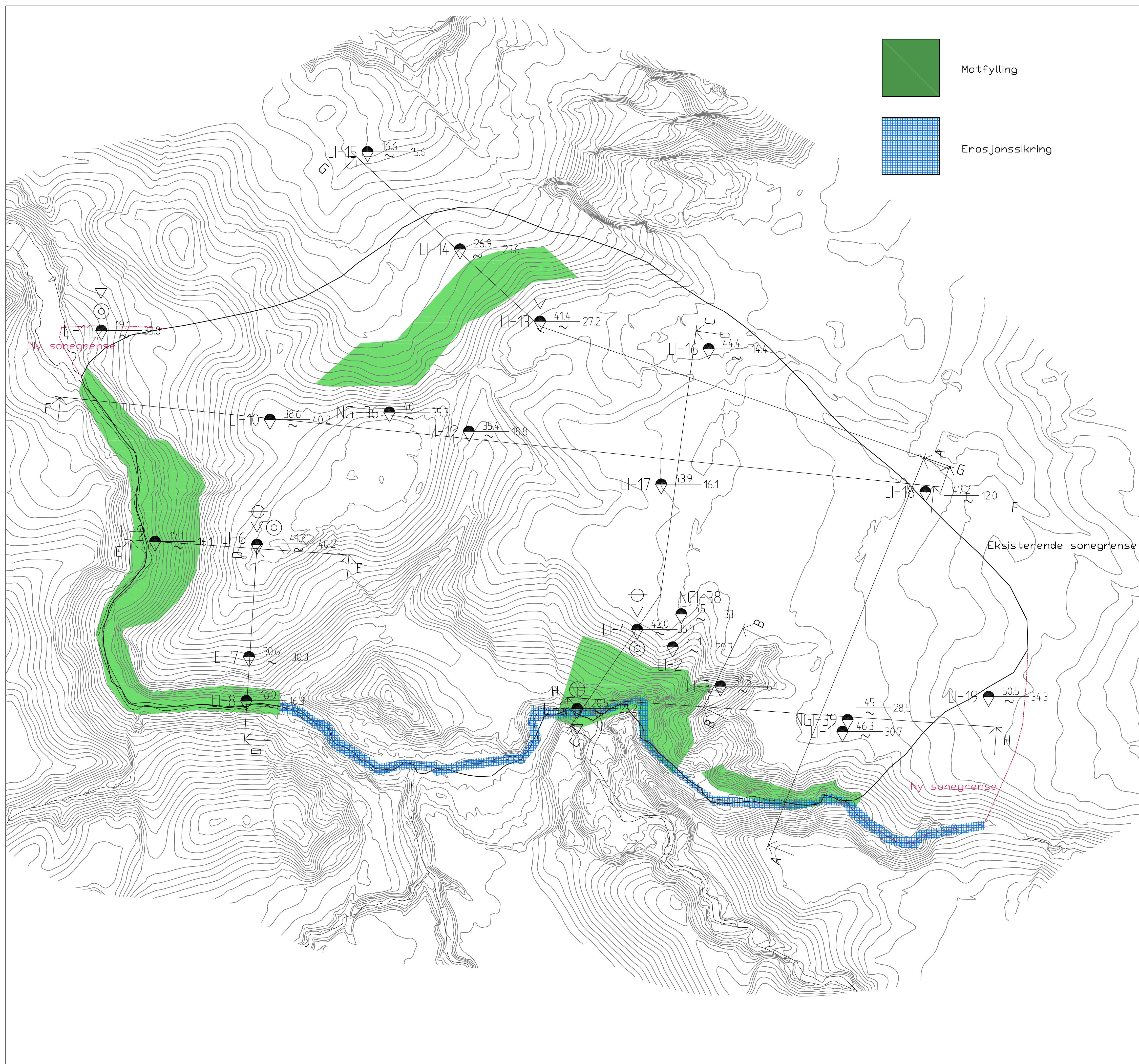


FORKLARINGER:

BESTEMMELSER:

HENVISNINGER:

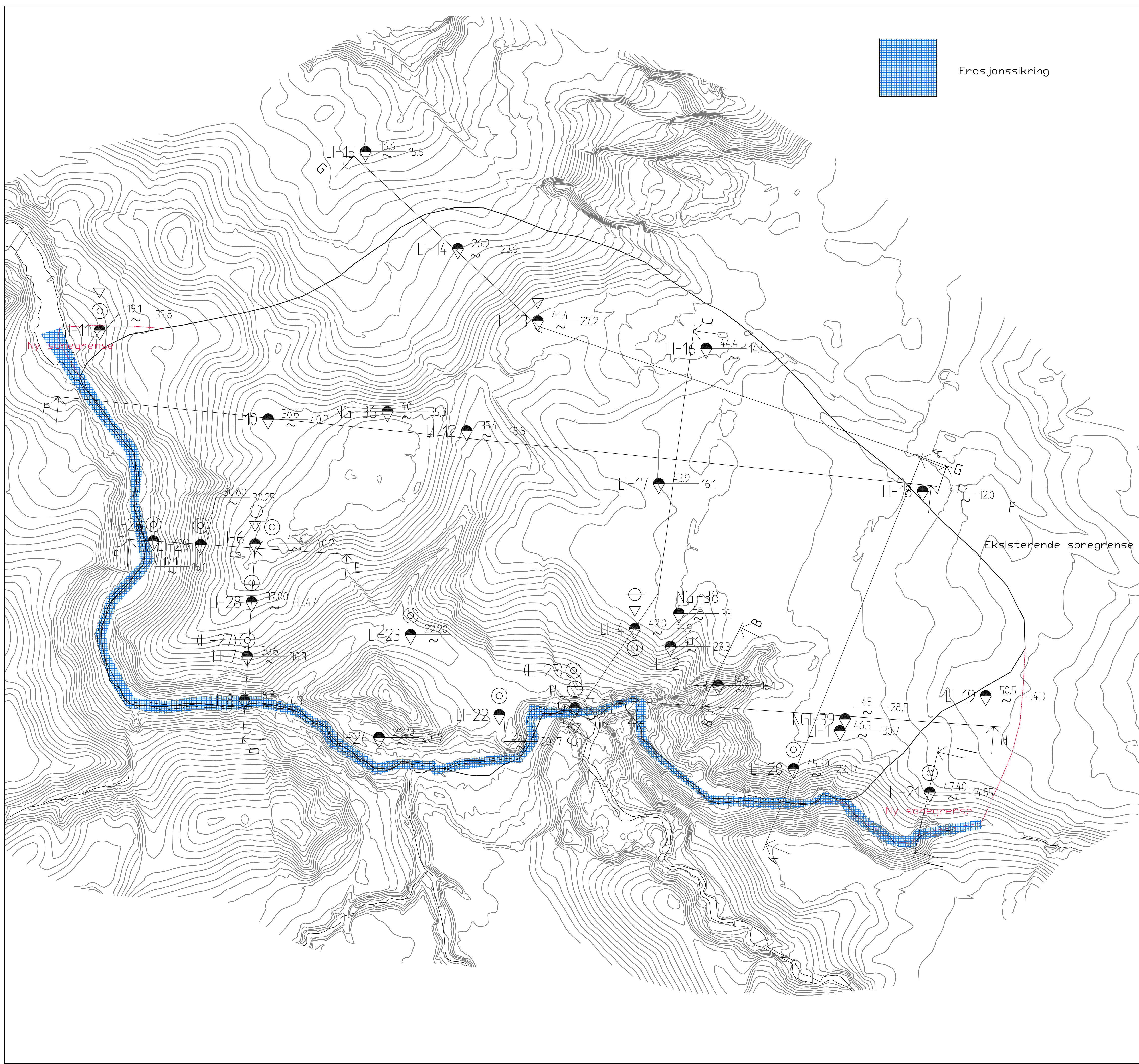
2	Boringer utført høsten 2016 er inkludert	26.01.2017	SBeH	VG	KE
1	Endring av sonegrense etter tredjepartskontroll	06.03.2015	SBeH	JSL	KE
Rev.	Beskrivelse				
	Status				
	Original format				
	A-1				
	Tegningens filnavn				
	G:\year\year\3202009\AUTOGRAF.RIT100_situasjonsplan				
	Målestokk				
	12000 (A1) 14000 (A3)				
NGI	Sognveien 72 - PO Box 3930 Ullevål Stadion NO-0808 Oslo, Norway T: (+47) 22 02 30 00 F: (+47) 22 23 04 48 www.ngi.no	Date 2014-01-20 Oppr. a/snr: Tegning nr: 20120099	Konstr./Tegnet SBeH	Kontrollert JSL	Godkjent KE Rev.

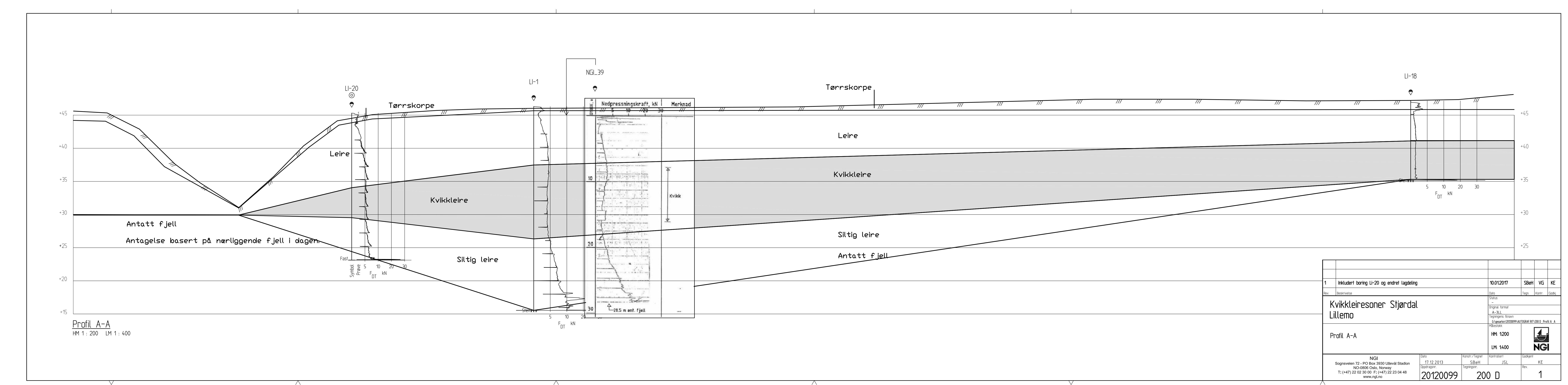


FORKLARINGER:

BESTEMMELSER:

HENVISNINGER:

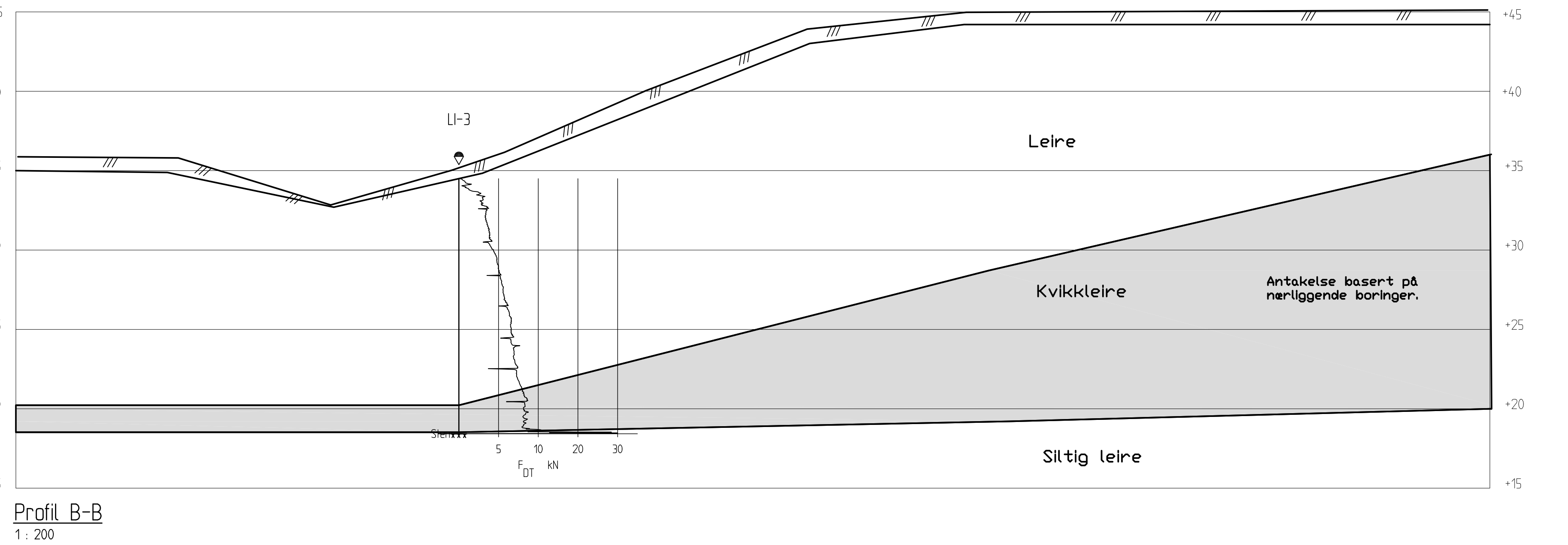




## FORKLARINGER:

## BESTEMMELSER:

## HENVISNINGER:



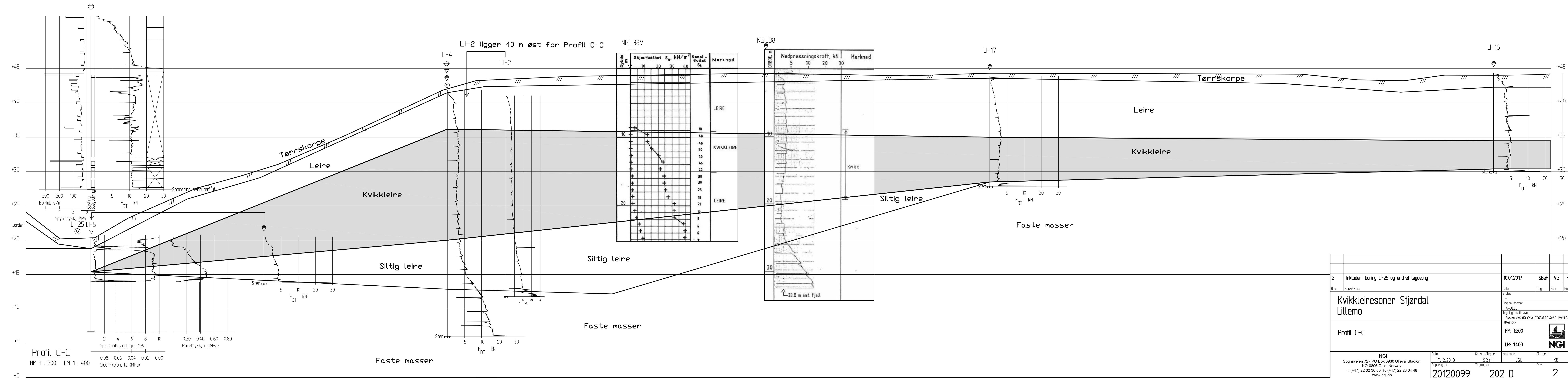
## Kvikkleiresoner Stjørdal

## Lillemo

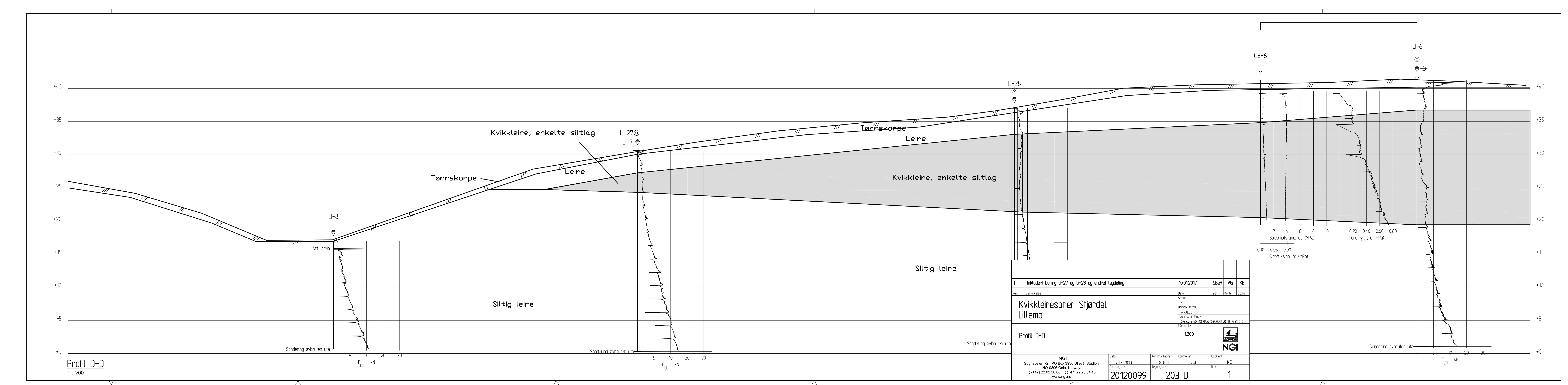
## Profil B-B

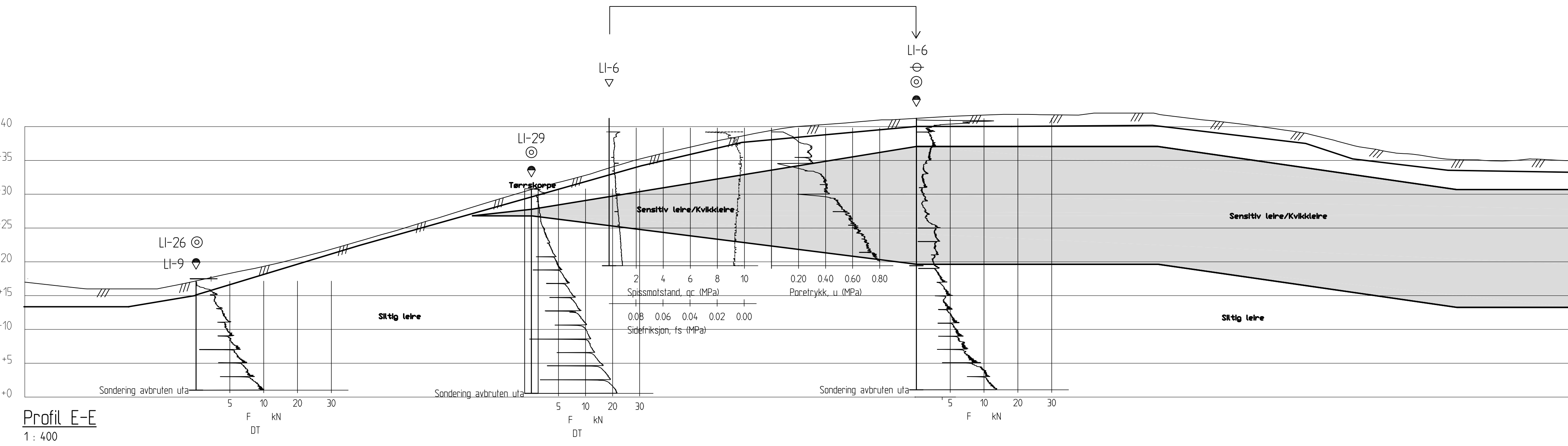
1:200





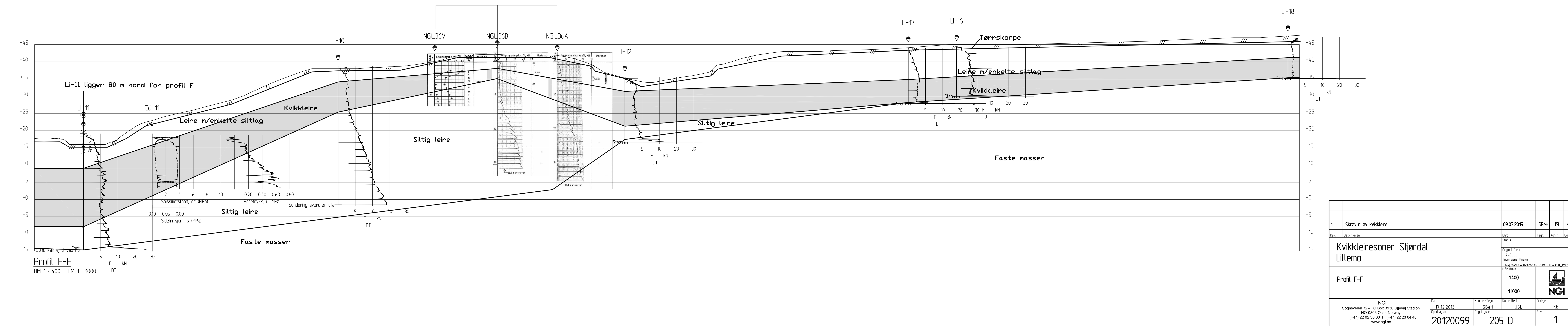
KE  
dkj.  
C





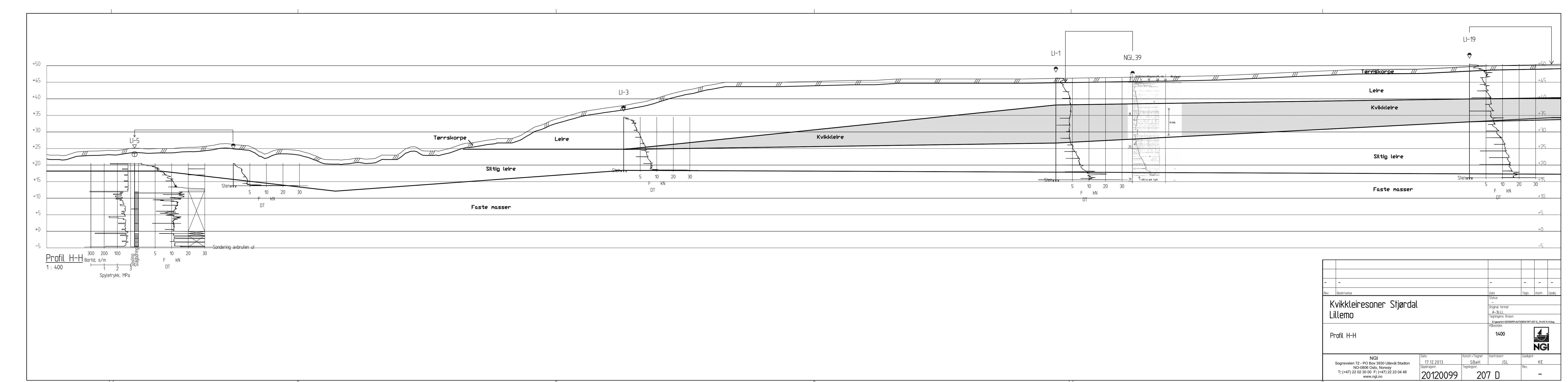
Profil E-E  
1 : 400

1	Inkludert boring LI-26 og LI-29 og endret lagdeling	10.01.2017	SBeH	VG KE
Rev.	Beskrivelse	Dato	Tegn.	Kontr. Godkj.
	Status	-		
	Original format			
	A-3L			
	Tegningens filnavn			
	G:\gearkir\20120099\AUTOGRAF.RIT\204D Profil E-E			
	Mjøstokk			
	1:400			
				
NGI	Dato	Konstr./Tegnet	Kontrollert	Godkjent
Sognsvann 72 - PO Box 3930 Ullevål Stadion	17.12.2013	SBeH	JSL	KE
NO-0806 Oslo, Norway	Oppdragsnr.	Tegningsnr.		
T: (+47) 22 02 30 00 F: (+47) 22 23 04 48				
www.ngi.no	20120099	204 D	1	



1	Skravur av kvikkleire	09.03.2015	SBeH	JSL	KE
Rev.	Beskrivelse	Dato	Tegn.	Kontr.	Godkj.
1	Kvikkleiresoner Stjørdal Lillemo				
Profil F-F					
Målestokk	1:400				
	1:1000				
Profil F-F					
NGI	Dato	Konstr./Tegnet	Kontrollert	Godkjent	
Sognsveien 72 - PO Box 3930 Ullevål Stadion NO-0806 Oslo, Norway	17.12.2013	SBeH	JSL	KE	
T: (+47) 22 02 30 00 F: (+47) 22 23 04 48 www.ngi.no	Oppdragsnr.	Tegningsnr.			Rev.
20120099	205 D				1

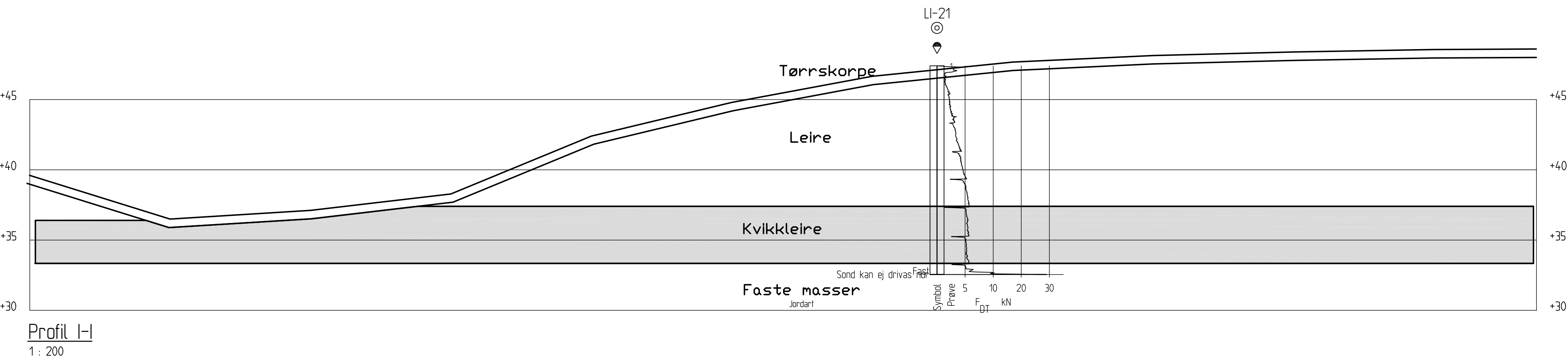




FORKLARINGER:

BESTEMMELSER:

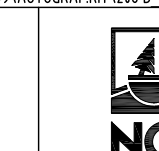
HENVISNINGER:



Sognsveien 72 - PO Box 3930 Ullevål Stadion  
NO-0806 Oslo, Norway  
T: (+47) 22 02 30 00 F: (+47) 22 23 04 48  
www.ngi.no

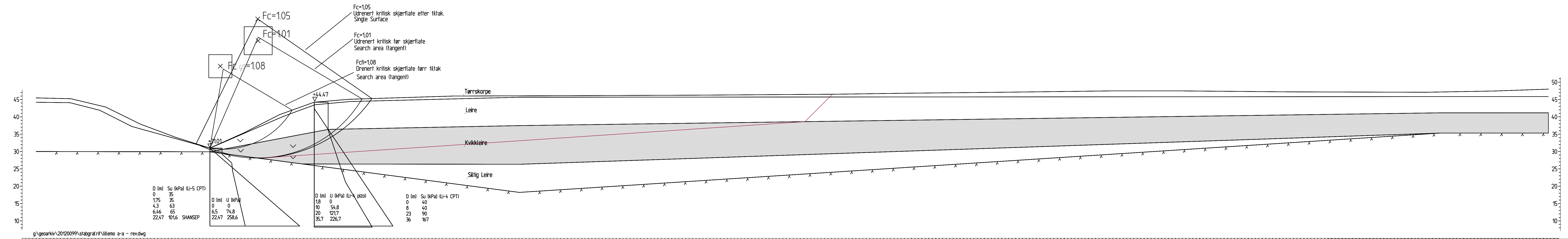
Kvikkleiresoner Stjørdal  
Lillemo

Profil H



NGI  
Sognsveien 72 - PO Box 3930 Ullevål Stadion  
NO-0806 Oslo, Norway  
T: (+47) 22 02 30 00 F: (+47) 22 23 04 48  
www.ngi.no

Dato	26.01.2017	Konstr./Tegnet	Kontrollert	Godkjent
Oppdragsnr.	20120099	SBeH	VG	KE
Tegningsnr.	208 D	Rev.		-



Profil A-A

1:400

g:\geoarkiv\20120099\stabgraf.rtf\lillemo a-a - rev.dwg

D [m]

0

17,5

4,3

6,6

22,47

101,6

SHANSEP

S<sub>u</sub> [kPa] (Li-5 CPT)

35

35

63

65

101,6

SHANSEP

D [m]

0

1,8

10

20

35,7

226,7

U [kPa]

0

0

54,8

121,7

226,7

D [m]

0

40

40

90

90

167

S<sub>u</sub> [kPa] (Li-4 CPT)

35

8

23

36

167

U [kPa] (pizo)

0

0

121,7

226,7

D [m]

0

10

20

30

40

U [kPa]

0

40

40

90

90

30

40

50

60

70

80

90

40

50

60

70

80

50

60

70

80

90

60

70

80

90

70

80

90

80

90

90

100

100

110

110

120

120

130

130

140

140

150

150

160

160

170

170

180

180

190

190

200

200

210

210

220

220

230

230

240

240

250

250

260

260

270

270

280

280

290

290

300

300

310

310

320

320

330

330

340

340

350

350

360

360

370

370

380

380

390

390

400

400

410

410

420

420

430

430

440

440

450

450

460

460

470

470

480

480

490

490

500

1:400

1:400

1:400

1:400

1:400

1:400

1:400

1:400

1:400

1:400

1:400

1:400

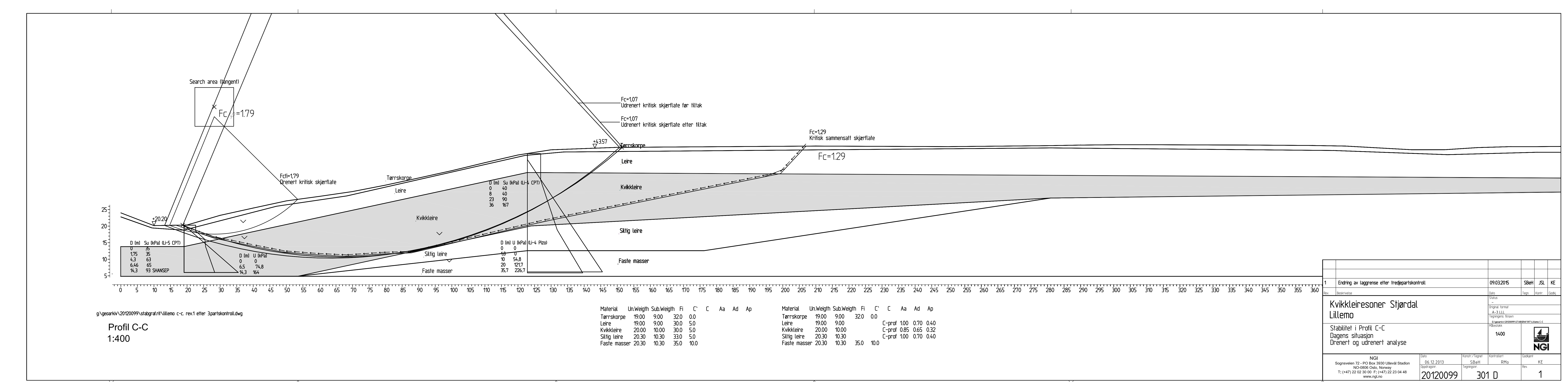
1:400

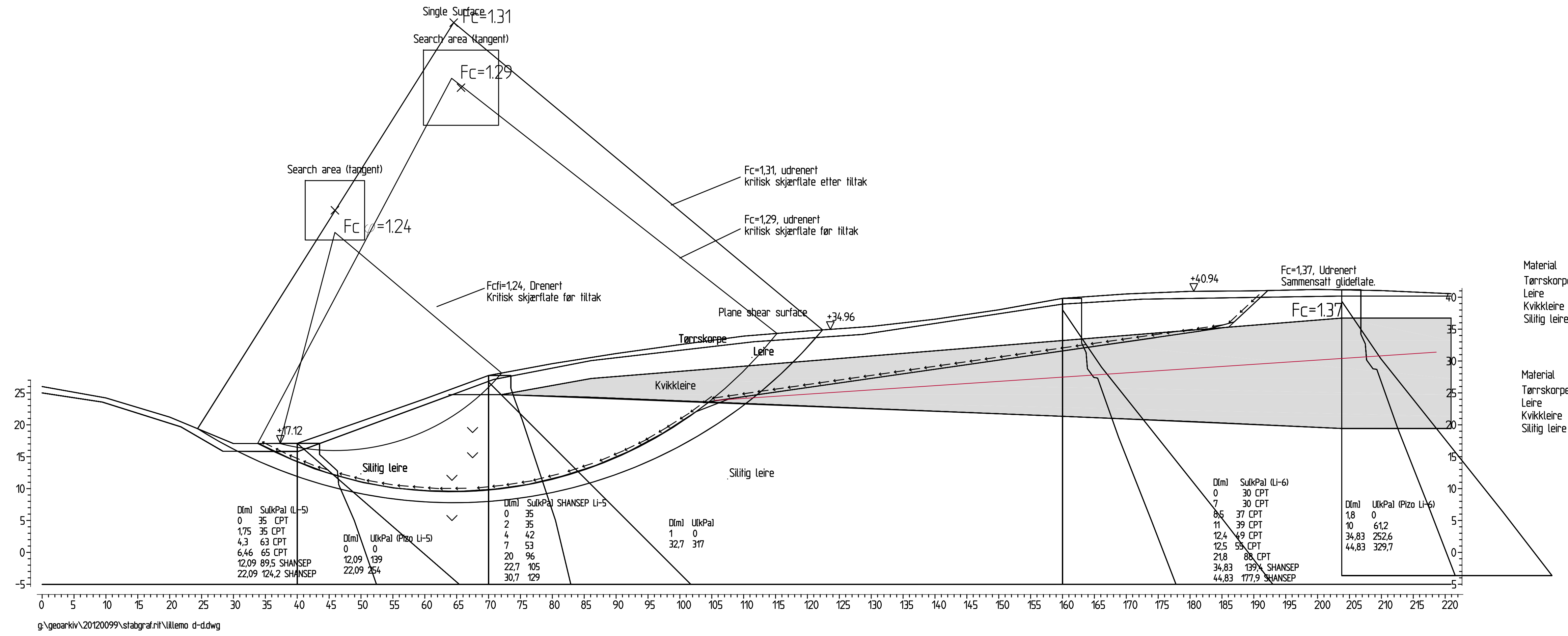
1:400

1:400

1:400

1:400



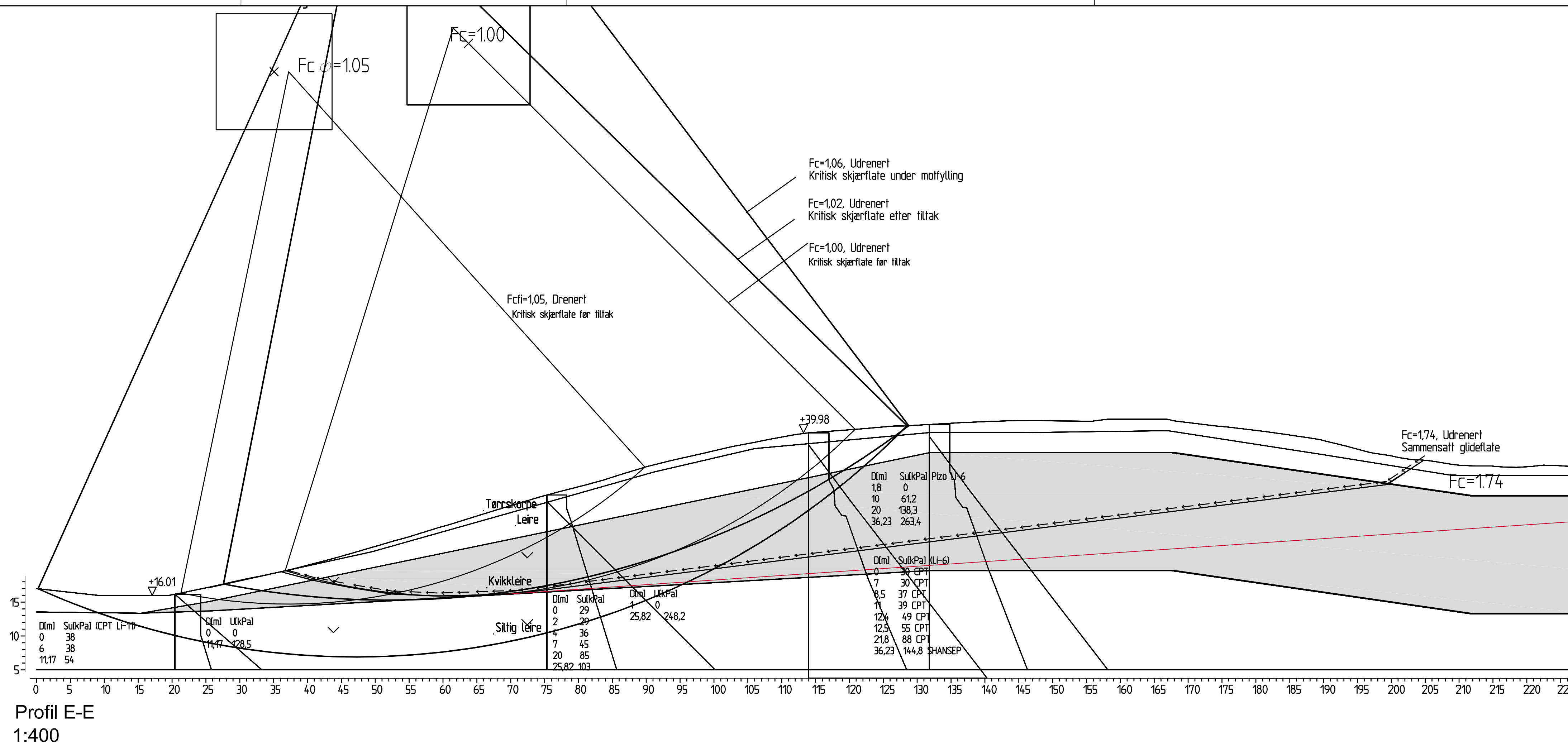


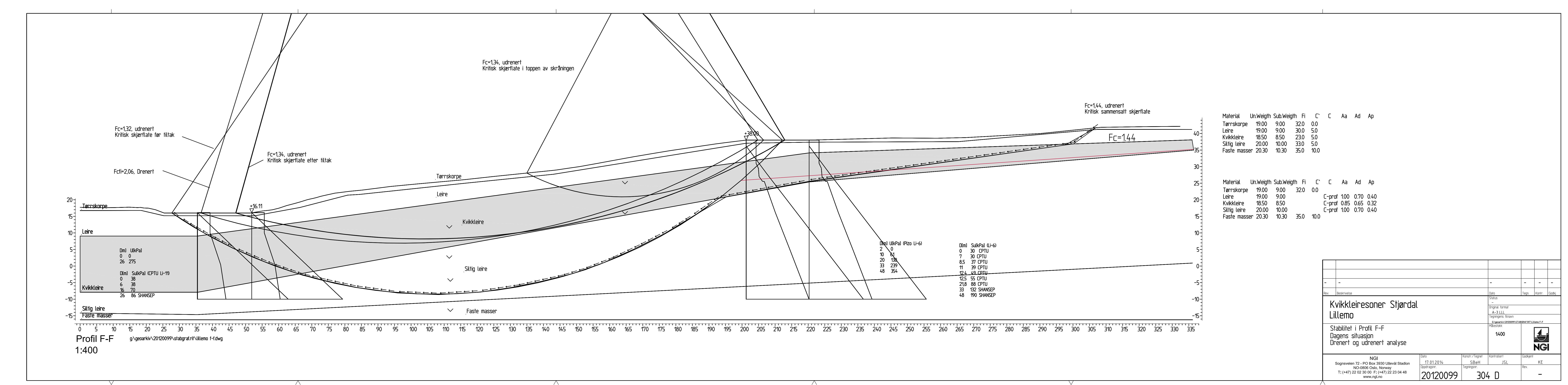
Profil D-D  
1:400

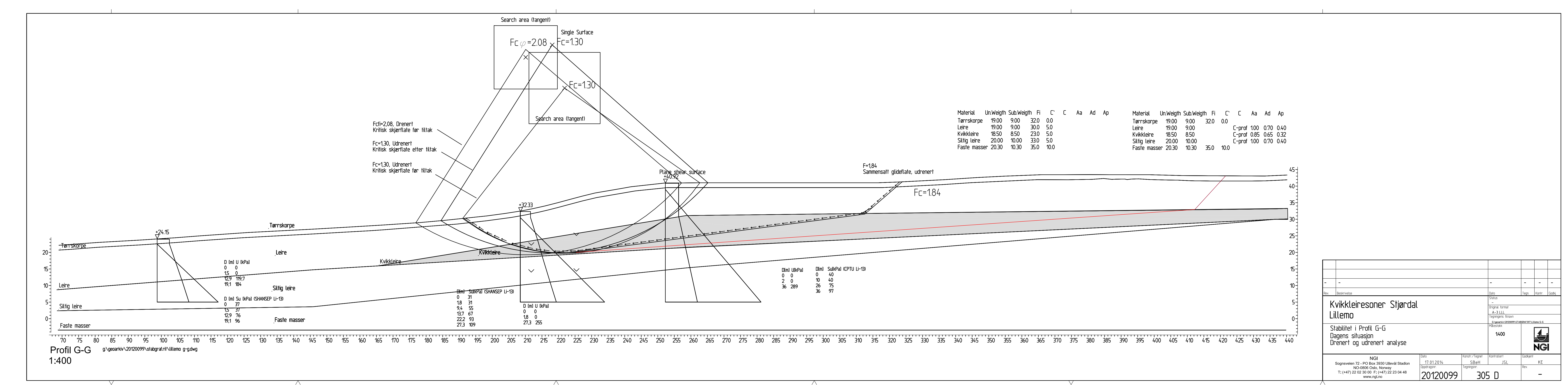
Material	Un.Weight	Sub.Weight	Fi	C	C	Aa	Ad	Ap
Tørrskorpe	19.00	9.00	32.0	0.0				
Leire	19.00	9.00		1.00	0.70	0.40		
Kvikkleire	18.50	8.50		0.85	0.65	0.32		
Silitig leire	20.00	10.00		1.00	0.70	0.40		

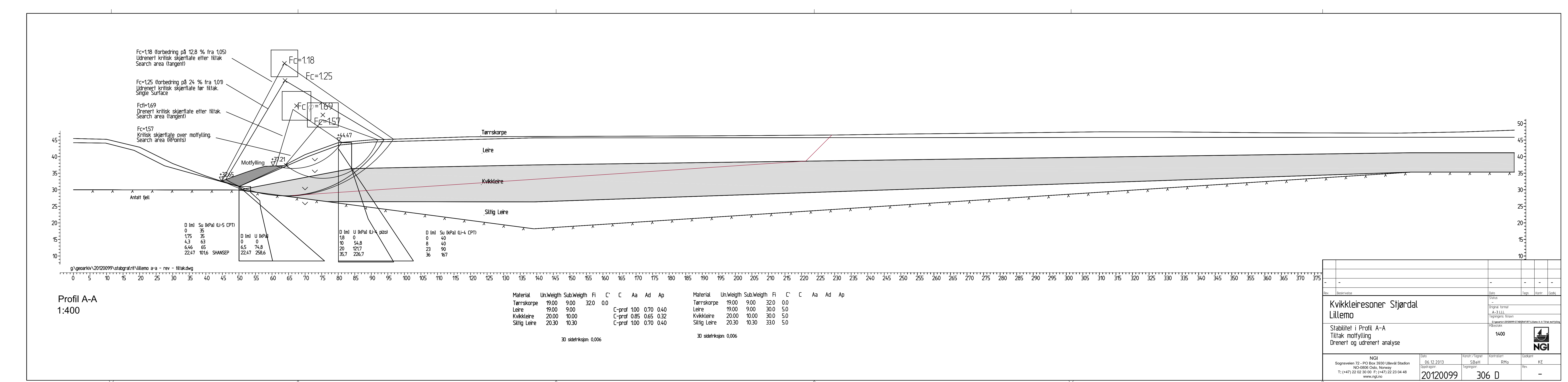
Material	Un.Weight	Sub.Weight	Fi	C	C	Aa	Ad	Ap
Tørrskorpe	19.00	9.00	32.0	0.0				
Leire	19.00	9.00	30.0	5.0				
Kvikkleire	18.50	8.50	23.0	5.0				
Silitig leire	20.00	10.00	33.0	5.0				

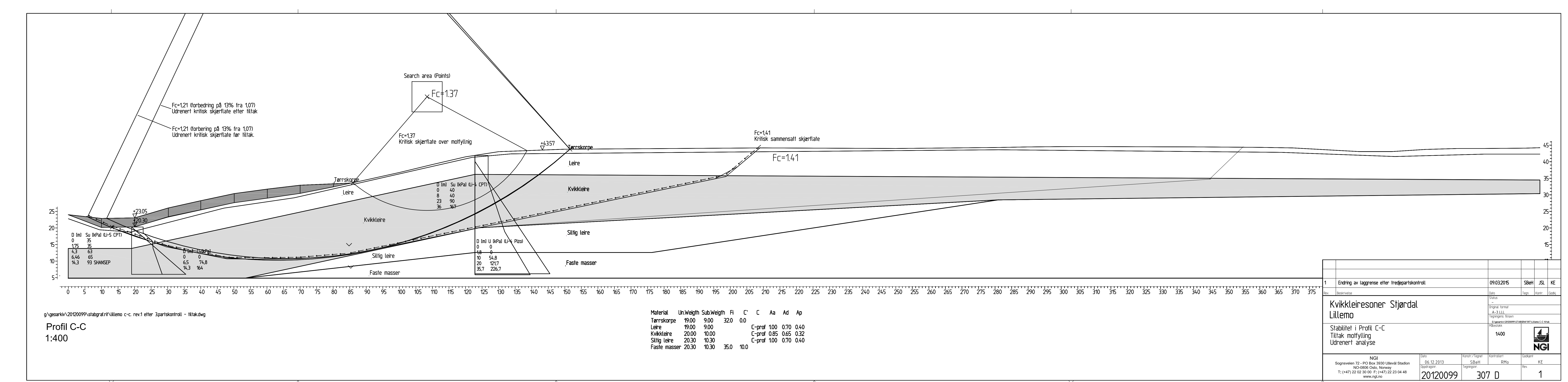
-	-	-	-	-		
Rev.	Beskrivelse	Dato	Tegn.	Kontr.	Godkj.	
-	-	-	-	-	-	
Kvikkleiresoner Stjørdal Lillemo			Status			
Original format A-3 LL						
Tegningens filnavn G:\geoarkiv\20120099\stabgraf.rtf\lillemo D-D			Målestokk			
Stabilitet i Profil D-D Dagens situasjon Drenert og udrenert analyse			1:400			
NGI Sognsveien 72 - PO Box 3930 Ullevål Stadion NO-0806 Oslo, Norway T: (+47) 22 02 30 00 F: (+47) 22 23 04 48 www.ngi.no			Dato 12.12.2013	Konstr./Tegnet SBeH	Kontrollert RMo	Godkjent KE
Oppdragsnr. 20120099			Tegningsnr. 302 D	Rev. -		

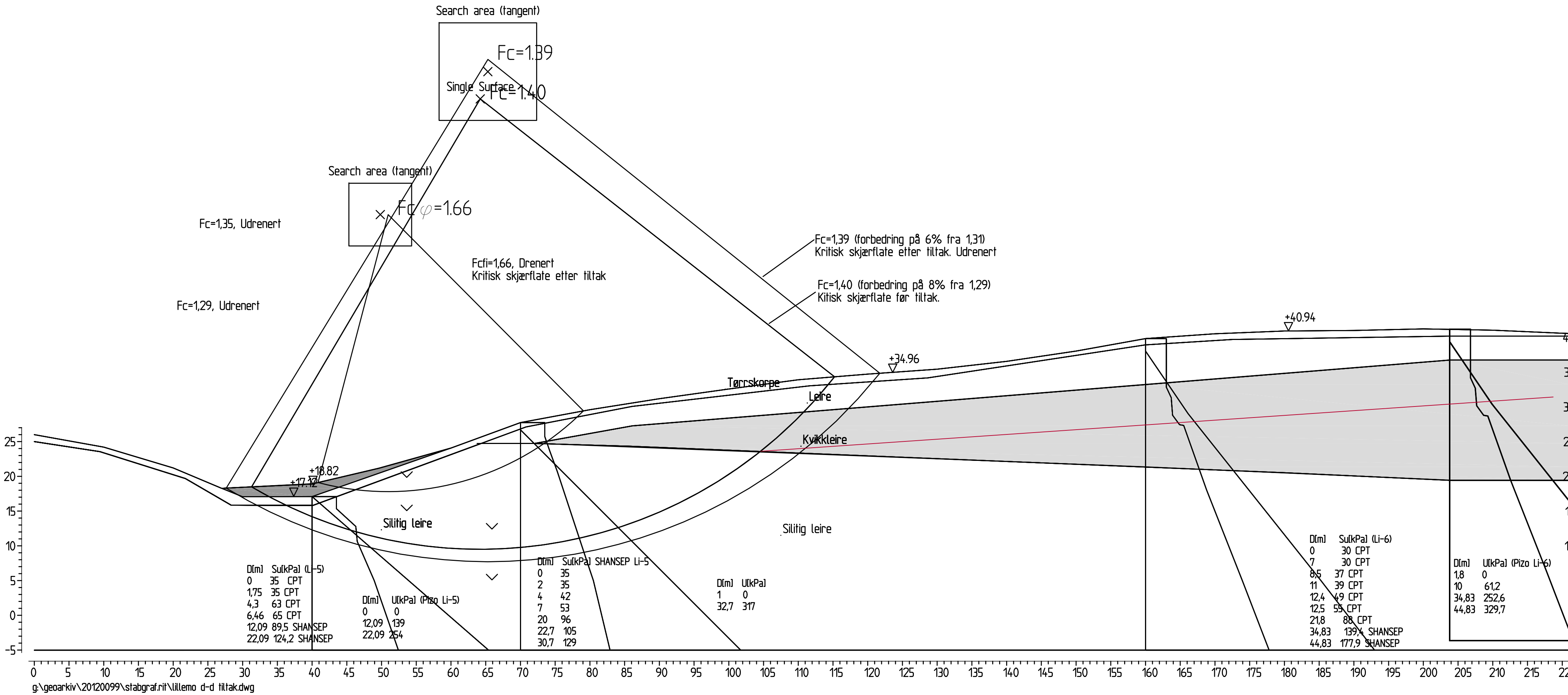












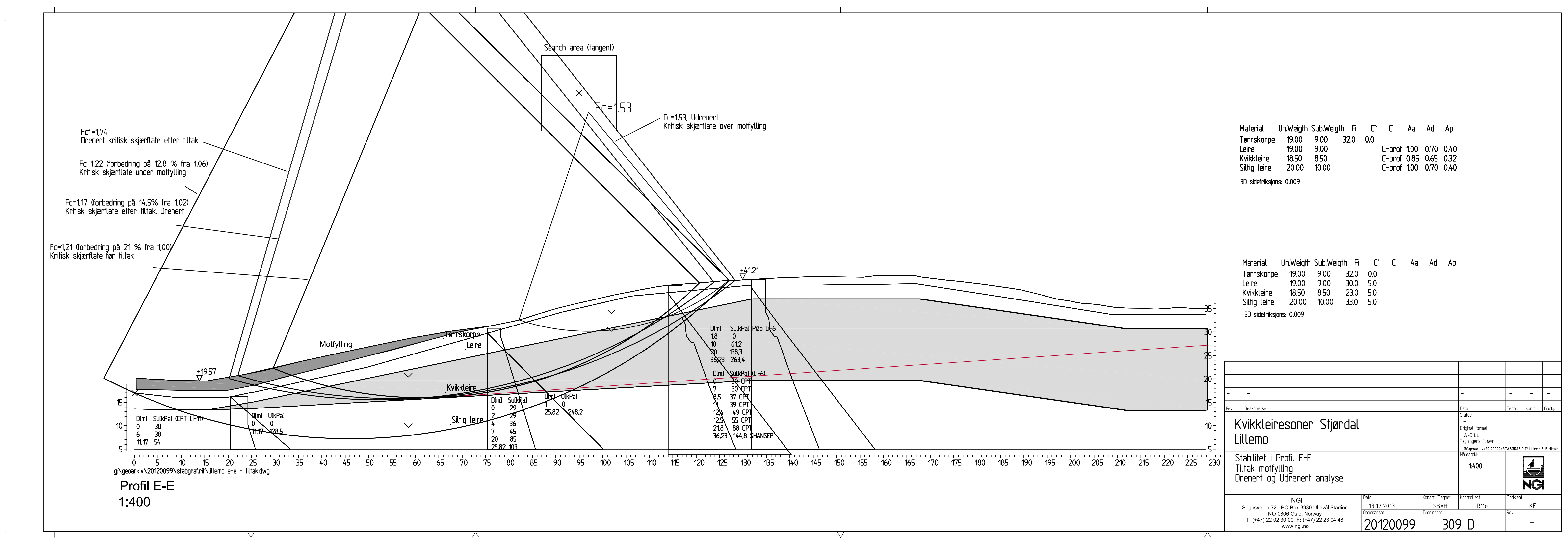
Profil D-D  
1:400

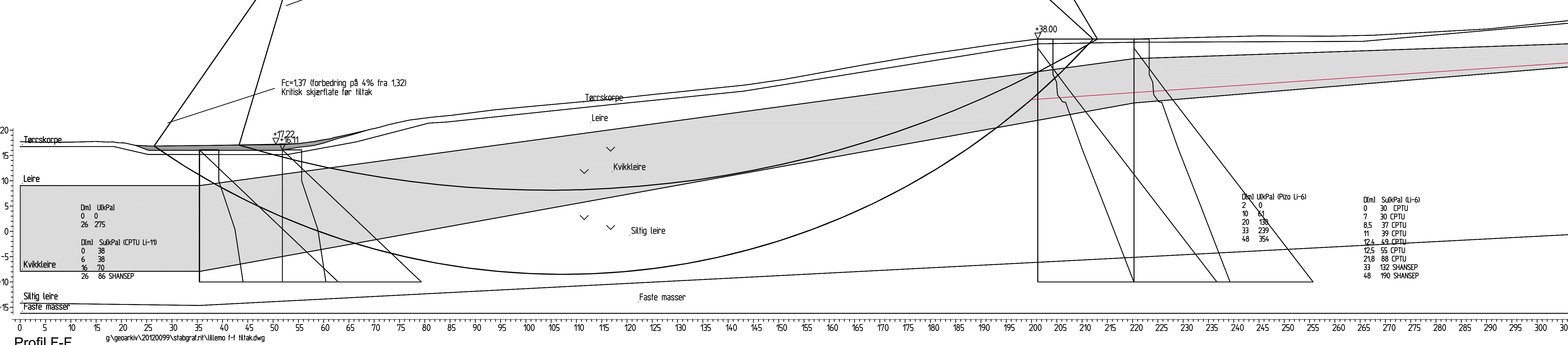
Material	Un.Weigth	Sub.Weigth	Fi	C'	C	Aa	Ad	Ap
Tørrskorpe	19.00	9.00	32.0	0.0				
Leire	19.00	9.00	30.0	5.0				
Kvikkleire	18.50	8.50	23.0	5.0				
Silitig leire	20.00	10.00	33.0	5.0				

Material	Un.Weigth	Sub.Weigth	Fi	C'	C	Aa	Ad	Ap
Tørrskorpe	19.00	9.00	32.0	0.0				
Leire	19.00	9.00	100	0.70	0.40			
Kvikkleire	18.50	8.50	0.85	0.65	0.32			
Silitig leire	20.00	10.00	1.00	0.70	0.40			

-	-	-	-				
Rev.	Beskrivelse	Dato	Tegn.	Kontr.	Godkj.		
-	-	-	-	-	-		
Kvikkleiresoner Stjørdal Lillemo							
Stabilitet i Profil D-D							
Tiltak motfylling							
Drenert og udrerent analyse							
1:400		1:400					
NGI		Sognsveien 72 - PO Box 3930 Ullevål Stadion NO-0806 Oslo, Norway T: (+47) 22 02 30 00 F: (+47) 22 23 04 48 www.ngi.no		Dato 12.12.2013	Konstr./Tegnet SBeH	Kontrollert RMo	Godkjent KE
Oppdragsnr. 20120099		Tegningsnr. 308 D	Oppdragsnr. 20120099	Tegningsnr. 308 D	Rev. -		

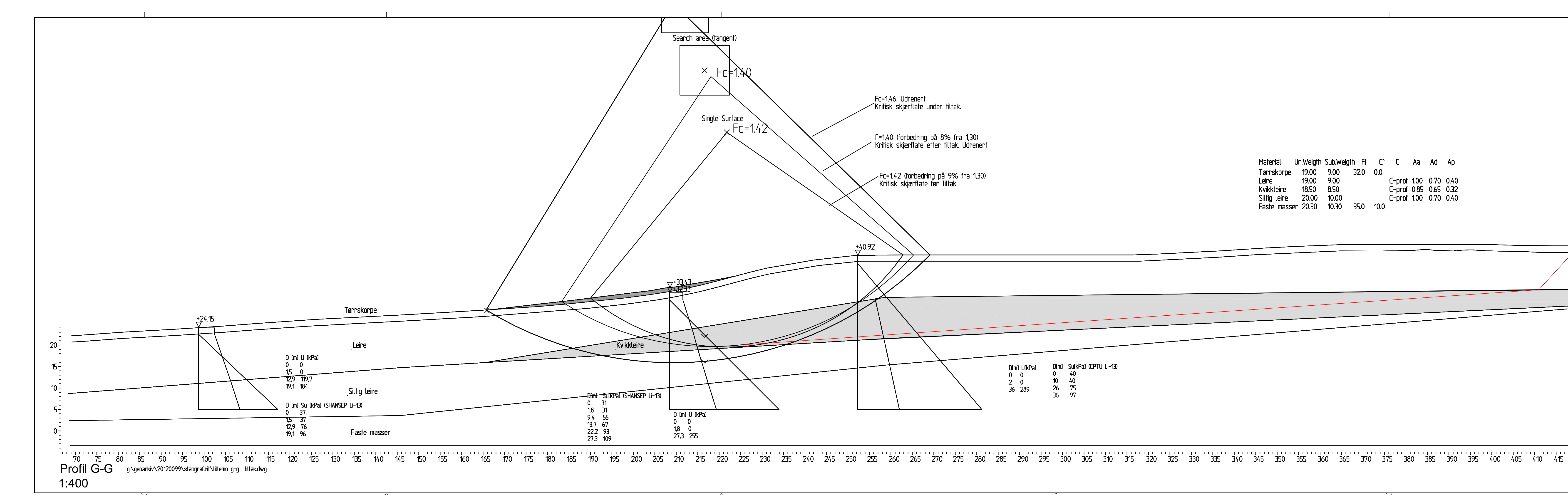






Material	Un.Weight	Sub.Weight	Fi	C	Aa	Ad	Ap
Tørskorpe	19.00	9.00	32.0	0.0			
Leire	19.00	9.00		C-prof	1.00	0.70	0.40
Kvikkleire	18.50	8.50		C-prof	0.85	0.65	0.32
Siltig leire	20.00	10.00		C-prof	1.00	0.70	0.40
Faste masser	20.30	10.30	35.0	10.0			

-	-	-	-		
Rev.	Beskrivelse	Dato	Tegn.	Kontr.	Godkj.
Kvikkleiresoner Stjørdal Lillemo					
Stabilitet i Profil F-F					
Tiltak mottfylling					
Udrerent analyse					
1400					
NGI	Dato	Konstr./Tegnet	Kontrollert	Godkjent	
Sognsveien 72 - PO Box 3930 Ullevål Stadion NO-0806 Oslo, Norway	17.01.2014	S&H	JSL	KE	
Oppdragsnr:	Tegningsnr.	Rev.			
20120099	310 D	-			



-	-	-	-	-	
Rev.	Beskrivelse	Dato	Tegn.	Kontr.	Godkj.
Kvikkleiresoner Stjørdal Lillemo					
Stabilitet i Profil G-G					
Tiltak mottfylling					
Udrenert analyse					
Målestokk 1400					
NGI					
Sognsveien 72 - PO Box 3930 Ullevål Stadion NO-0806 Oslo, Norway					
Oppdragsnr. T: (+47) 22 02 30 00 F: (+47) 22 23 04 48 www.ngi.no					
Dato 17.01.2014 Konstr./Tegnet SbH Kontrollert JSL Godkjent KE					
Oppdragsnr. Tegning nr. Rev.					
20120099 311 D -					

# Vedlegg A - Skjema for evaluering av faregrad, skadekonsekvens og risikoklasse

## Innhold

Evaluering for sonen med tanke på faregrad, skadekonsekvens og risikoklasse i henhold til ref. (1). Resultater for ny evaluering er vurdert opp mot tidligere evalueringer, ref. (2). Evalueringer som tar hensyn til eventuelle tiltak er også utført.

### Tabeller

- A1 - Vurdering av faregrad, skadekonsekvens og risikoklasse før tiltak
- A2 - Vurdering av faregrad, skadekonsekvens og risikoklasse etter motfylling og erosjonssikring
- A3 - Vurdering av faregrad, skadekonsekvens og risikosikring etter erosjons-sikring

## 1 Referanser

1. **NVE.** *Retningslinjer nr. 2 - 2011. Flaum- og skredfare i arealplanar.* Oslo : NVE, 2011.
2. **NGI.** Program for økt sikkerhet mot leirskred. Evaluering av risiko for kvikkleireskred Stjørdal Kommune. 20001008-21.

Tabell A1 - Vurdering av faregrad, skadekonsekvens og risikoklasse før tiltak.

Sonenavn:	621 Lillemo	Dato:	2014-01-13	Initialer:	SBeH	
<b>Faregrad</b>		3	2	1	0	
Faktorer	Hva må sjekkes:		Score		Observasjon/beskrivelse	
Tidligere skredaktivitet	Skredgropes i området. Kvartærgeologisk kart	Høy	Noe	Lav	Ingen	Stubergsfallet 1807 og Reppe 1976.
Skråningshøyde, H	Høyde bunn til topp skråning	> 30 m	20-30 m	15-20 m	< 15 m	Profil E-E
Forkonsolidering (OCR)	Vurder hvor mye høyere tidligere terrengnivå kan ha vært i fht dagens pga erosjon, skredaktivitet o.l.	1,0-1,2	1,2-1,5	1,5-2,0	>2,0	Ødometerforsøk fra Li-4 og Li-6 viser OCR ca. 1,2.
Poreovertrykk i kritisk glideflate	Nærliggende fjell/høydedrag som mater sonen. Sjekk brønner/oppkommer	>30 kPa	10-30 kPa	0-10 kPa	Hydrostatisk	Det er målt ca 6 meter undertrykk på platået for Li-6.
Poreundertrykk i kritisk glideflate	Ravineskråninger i lagdelt grunn. Sjekk brønner/oppkommer.	> -50  kPa	-(20-50) kPa	-(0-20) kPa	Ingen	
Kvikkleiremettighet	Fra dreietrykksonderinger, samt vingebor og prøveserier	>H/2	H/4-H/2	<H/4	Tynt lag	Hk = 17,5m ved H=25,5 for Profil E-E
Sensitivitet	Fra prøveserie. Dersom dette mangler er normal kvikkleiresensiteitet 30-100.	>100	30-100	20-30	<20	Fra prøveserier Li-6 og Li-4
Erosjon	Sjekk erosjonsforhold i elveleier: sideveis, dybde, sedimentasjon, erosjonsbekytelse, fjellterskler, glidninger...	Aktiv	Noe	Lite	Ingen	Noe erosjon, se NVE-rapport Stjørdal-Del 1, datert 25.02.2004. Utglidning også observert ved befaring.
Forverrende inngrep	Bakkeplanering, utfyllinger, endring av hydrologiske forhold	Stort	Noe	Lite	Ingen	
Forbedrende inngrep	Bakkeplanering, bekkelukking, utfyllinger, endring av hydrologiske forhold	Stort	Noe	Lite	Ingen	
Definisjoner						
Aktiv erosjon:	Utløste skred (dypregående rotasjoner). Lite/ingen naturlig erosjonssikring. Vannet grått					
Noe erosjon:	Utløste overflateglidninger ila siste årene. Lite/ingen naturlig erosjonssikring. Vannet grått.					
Litt erosjon:	Leire i elveleiet. Gradientforhd tilsier at erosjon kan oppstå. Lite/ingen naturlig erosjonssikring. Vannet klart eller noe misfarget					
Ingen erosjon:	Naturlig erosjonsbekytelse i bunn sider av elveleiet, evnt. terskler som medfører små gradientforhold. Vannet klart.					
Stort inngrep:	Topografiendring som medfører skrāningshøyde økt eller redusert med mer enn 4 m. Skrāningshelling økt eller redusert med 10-20%					
Noe inngrep:	Topografiendring som medfører skrāningshøyde økt eller redusert med 2-4 m. Skrāningshelling økt eller redusert med < 10 %					
Lite inngrep:	Topografiendring som medfører skrāningshøyde økt eller redusert med < 2 m. Hydrologiske forhold: Fjerning av vegetasjon, grøfting, beplanting					
Ingen inngrep:	Kun små lokale endringer i terrenget - traktorveier, mindre planering i f.b.m spredt boligbebyggelse o.l.					

Tabell A1 - Vurdering av faregrad, skadekonsekvens og risikoklasse før tiltak.

Sonenavn:	621 Lillemo	Dato:	2014-01-13	Initialer:	SBeH	
Skadekonsekvens		3	2	1	0	
Faktorer	Hva må sjekkes:	Score			Observasjon/beskrivelse	
Boligenheter, antall	Permanent opphold i sonen + utløpsområdet. 1 boligenhet = 1 familie	Tett > 5	Spredt > 5	Spredt < 5	Ingen	4 bolighus og 5 gårdsbruk. Skredmasser kan berøre boliger nedstrøms.
Næringsbygg, personer	Midlertidig opphold. Industri, næring, kontorer, skoler, offentlige bygg	> 50	10 - 50	< 10	Ingen	
Annен bebyggelse, verdi	Bygg der det normalt ikke oppholder seg mennesker.	Stor	Betydelig	Begrenset	Ingen	
Vei, ÅDT	Kfr. SVV trafikkregister	> 5000	1001-5000	100-1000	< 100	Antatt
Toglinje, baneprioritet	Kfr. JBV baneprioritet	1-2	3-4	5	Ingen	
Kraftnett	Kfr. Statkrafts nettklasser	Sentral	Regional	Distribusjon	Lokal	Antatt sentralnett
Oppdemming/flom	Tilstrekkelig volum skredmasser, tilstrekkelig sensitive skredmasser, mulig volum på oppdemming, lett eroderbare masser, bebyggelse i kritiske områder	Alvorlig	Middels	Liten	Ingen	Flombølge kan berøre boliger nedstrøms

#### Definisjoner

Alvorlig: Oppdemming/flodbølge kan oversvømme områder med mer enn 5 boligenheter eller skole/barnehage

Middels: Oppdemming/flodbølge kan oversvømme områder med mindre enn 5 boligenheter eller industriområde

Liten: Oppdemming/flodbølge kan oversvømme områder med vei, jernbane eller kraftnett.

Ingen: Oppdemming/flodbølge kan bare oversvømme områder uten bebyggelse og infrastruktur

#### Farebeskrivelse

Vurdering fra tidligere rapport ref.(2)

Vurdering fra gjeldene rapport, 20120099-04-R

Tabell A1 - Vurdering av faregrad, skadekonsekvens og risikoklasse før tiltak.

Sonenavn: *Lillemo*  
 Sonenr: 621

**Faregradsevaluering**

Faktorer	Vektall	Beskrivelse	Score	Produkt
Tidligere skredaktivitet	1	Høy	3	3
Skråningshøyde, meter	2	20-30 m	2	4
OCR	2	1,2-1,5	3	6
Poreovertrykk	3	10-30 kPa	0	0
Poreundertrykk	-3	> -50  kPa	3	-9
Kvikkleiremektighet	2	>H/2	3	6
Sensitivitet	1	>100	3	3
Erosjon	3	Noe	2	6
Inngrep, forvring	3	Ingen	0	0
Inngrep, forbedring	-3	Ingen	0	0

Sum poeng

19 av maks. oppnåelig 51 poeng

**Faregradsklasse:**

**Middels**

37 % av maksimal poengsum

**Konsekvens**

Faktorer	Vektall		Score	Produkt
Boligheter, antall	4	Tett > 5	3	12
Næringsbygg, personer	3	Ingen	0	0
Annen bebyggelse, verdi	1	Ingen	0	0
Vei, ÅDT	2	100-1000	1	2
Toglinje, baneprioritet	2	Ingen	0	0
Kraftnett	1	Sentral	3	3
Oppdemming/flom	2	Alvorlig	3	6

Sum poeng

23 av maks. oppnåelig 45 poeng

**Skadekonsekvensklasse:**

**Meget alvorlig**

51 % av maksimal poengsum

Risiko = fare% x konsekvens%: 1904

**Risikoklasse:** **4**

Tiltakskategori avh. av faregrad: K3

Krav til material faktor større enn: 1,4

Forbedring avh. av faregrad v/y m for liten: Vesentlig forbedring

Tabell A2 - Vurdering av faregrad, skadekonsekvens og risikoklasse etter motfylling og erosjonssikring.

Sonenavn:	621 Lillemo	Dato:	2014-01-13	Initialer:	SBeH	
<b>Faregrad</b>						
		3	2	1	0	
Faktorer	Hva må sjekkes:	Score			Observasjon/beskrivelse	
Tidligere skredaktivitet	Skredgrop i området. Kvantærgelogisk kart	Høy	Noe	Lav	Ingen	Stubergsfallet 1807 og Reppe 1976.
Skråningshøyde, H	Høyde bunn til topp skråning	> 30 m	20-30 m	15-20 m	< 15 m	Profil E-E
Forkonsolidering (OCR)	Vurder hvor mye høyere tidligere terrengnivå kan ha vært i fht dagens pga erosjon, skredaktivitet o.l.	1,0-1,2	1,2-1,5	1,5-2,0	>2,0	Ødometerforsøk fra Li-4 og Li-6 viser OCR ca. 1,2.
Poreovertrykk i kritisk glideflate	Nærliggende fjell/høydedrag som mater sonen. Sjekk brønner/oppkommer	>30 kPa	10-30 kPa	0-10 kPa	Hydrostatisk	Det er målt ca 6 meter undertrykk på platået for Li-6.
Poreundertrykk i kritisk glideflate	Ravineskråninger i lagdelt grunn. Sjekk brønner/oppkommer.	> -50  kPa	-(20-50) kPa	-(0-20) kPa	Ingen	
Kvikkleiremettighet	Fra dreietrykksonderinger, samt vingebor og prøveserier	>H/2	H/4-H/2	<H/4	Tynt lag	Hk = 17,5m ved H=25,5 for Profil E-E
Sensitivitet	Fra prøveserie. Dersom dette mangler er normal kvikkleiresensiteitet 30-100.	>100	30-100	20-30	<20	Fra prøveserier Li-6 og Li-4
Erosjon	Sjekk erosjonsforhold i elveleier: sideveis, dybde, sedimentasjon, erosjonsbekytelse, fjellterskler, glidninger...	Aktiv	Noe	Lite	Ingen	Erosjonssikring
Forverrende inngrep	Bakkeplanering, utfyllinger, endring av hydrologiske forhold	Stort	Noe	Lite	Ingen	
Forbedrende inngrep	Bakkeplanering, bekkelukking, utfyllinger, endring av hydrologiske forhold	Stort	Noe	Lite	Ingen	Fra ingen til lite pga motfylling og erosjonssikring
<b>Definisjoner</b>						
Aktiv erosjon: Utløste skred (dypregående rotasjoner). Lite/ingen naturlig erosjonssikring. Vannet grått						
Noe erosjon: Utløste overflatelidninger ila siste årene. Lite/ingen naturlig erosjonssikring. Vannet grått.						
Litt erosjon: Leire i elveleiet. Gradientforhd tilsier at erosjon kan oppstå. Lite/ingen naturlig erosjonssikring. Vannet klart eller noe misfarget						
Ingen erosjon: Naturlig erosjonsbekytelse i bunn sider av elveleiet, evnt. terskler som medfører små gradientforhold. Vannet klart.						
Stort inngrep: Topografiendring som medfører skrāningshøyde økt eller redusert med mer enn 4 m. Skrāningshellings økt eller redusert med 10-20%						
Noe inngrep: Topografiendring som medfører skrāningshøyde økt eller redusert med 2-4 m. Skrāningshellings økt eller redusert med < 10 %						
Lite inngrep: Topografiendring som medfører skrāningshøyde økt eller redusert med < 2 m. Hydrologiske forhold: Fjerning av vegetasjon, grøfting, beplanting						
Ingen inngrep: Kun små lokale endringer i terrenget - traktorveier, mindre planering i f.b.m spredt boligbebyggelse o.l.						

Tabell A2 - Vurdering av faregrad, skadekonsekvens og risikoklasse etter motfylling og erosjonssikring.

Sonenavn:	621 Lillemo	Dato:	2014-01-13	Initialer:	SBeH	
Skadekonsekvens						
Faktorer	Hva må sjekkes:	Score			Observasjon/beskrivelse	
Boligenheter, antall	Permanent opphold i sonen + utløpsområdet. 1 boligenhet = 1 familie	Tett > 5	Sprett > 5	Sprett < 5	Ingen	4 bolighus og 5 gårdsbruk. Skredmasser kan berøre boliger nedstrøms.
Næringsbygg, personer	Midlertidig opphold. Industri, næring, kontorer, skoler, offentlige bygg	> 50	10 - 50	< 10	Ingen	
Annен bebyggelse, verdi	Bygg der det normalt ikke oppholder seg mennesker.	Stor	Betydelig	Begrenset	Ingen	
Vei, ÅDT	Kfr. SVV trafikkregister	> 5000	1001-5000	100-1000	< 100	Antatt
Toglinje, baneprioritet	Kfr. JBV baneprioritet	1-2	3-4	5	Ingen	
Kraftnett	Kfr. Statkrafts nettklasser	Sentral	Regional	Distribusjon	Lokal	Antatt sentralnett
Oppdemming/flom	Tilstrekkelig volum skredmasser, tilstrekkelig sensitive skredmasser, mulig volum på oppdemming, lett eroderbare masser, bebyggelse i kritiske områder	Alvorlig	Middels	Liten	Ingen	Flombølge kan berøre boliger nedstrøms

#### Definisjoner

Alvorlig: Oppdemming/flodbølge kan oversvømme områder med mer enn 5 boligenheter eller skole/barnehage

Middels: Oppdemming/flodbølge kan oversvømme områder med mindre enn 5 boligenheter eller industriområde

Liten: Oppdemming/flodbølge kan oversvømme områder med vei, jernbane eller kraftnett.

Ingen: Oppdemming/flodbølge kan bare oversvømme områder uten bebyggelse og infrastruktur

#### Farebeskrivelse

Vurdering fra tidligere rapport ref.(2)

Vurdering fra gjeldene rapport, 20120099-04-R



Tabell A2 - Vurdering av faregrad, skadekonsekvens og risikoklasse etter motfylling og erosjonssikring.

Sonenavn: *Lillemo*  
 Sonenr: 621

**Faregradsevaluering**

Faktorer	Vektall	Beskrivelse	Score	Produkt
Tidligere skredaktivitet	1	høy	3	3
Skråningshøyde, meter	2	20-30 m	2	4
OCR	2	1,2-1,5	3	6
Poreovertrykk	3	10-30 kPa	0	0
Poreundertrykk	-3	> -50  kPa	3	-9
Kvikkleiremektighet	2	<H/2	3	6
Sensitivitet	1	>100	3	3
Erosjon	3	Ingen	0	0
Inngrep, forverring	3	Ingen	0	0
Inngrep, forbedring	-3	Lite	1	-3
Sum poeng			10	av maks. oppnåelig 51 poeng
<b>Faregradsklasse:</b>	<b>Lav</b>			20 % av maksimal poengsum

**Konsekvens**

Faktorer	Vektall		Score	Produkt
Boligheter, antall	4	Tett > 5	3	12
Næringsbygg, personer	3	Ingen	0	0
Annен bebyggelse, verdi	1	Ingen	0	0
Vei, ÅDT	2	100-1000	1	2
Toglinje, baneprioritet	2	Ingen	0	0
Kraftnett	1	Sentral	3	3
Oppdemming/flom	2	Alvorlig	3	6
Sum poeng			23	av maks. oppnåelig 45 poeng
<b>Skadekonsekvensklasse:</b>	<b>Meget alvorlig</b>			51 % av maksimal poengsum

Risiko = fare% x konsekvens%: 1002

**Risikoklasse:** **3**

Tiltakskategori avh. av faregrad: K3

Krav til material faktor større enn: 1,4

Forbedring avh. av faregrad v/ym for liten: Forbedring

Tabell A3 - Vurdering av faregrad, skadekonsekvens og risikoklasse etter erosjonssikring.

Sonenavn:	621 Lillemo	Dato:	2017-01-26	Initialer:	SBeH	
Faregrad		3	2	1	0	
Faktorer	Hva må sjekkes:		Score		Observasjon/beskrivelse	
Tidligere skredaktivitet	Skredgropes i området. Kvartærgeologisk kart	Høy	Noe	Lav	Ingen	Stubergsfallet 1807 og Reppe 1976.
Skråningshøyde, H	Høyde bunn til topp skråning	> 30 m	20-30 m	15-20 m	< 15 m	Profil E-E
Forkonsolidering (OCR)	Vurder hvor mye høyere tidligere terrengnivå kan ha vært i fht dagens pga erosjon, skredaktivitet o.l.	1,0-1,2	1,2-1,5	1,5-2,0	>2,0	Ødometerforsøk fra Li-4 og Li-6 viser OCR ca. 1,2.
Poreovertrykk i kritisk glideflate	Nærliggende fjell/høydedrag som mater sonen. Sjekk brønner/oppkommer	>30 kPa	10-30 kPa	0-10 kPa	Hydrostatisk	Det er målt ca 6 meter undertrykk på platået for Li-6.
Poreundertrykk i kritisk glideflate	Ravineskråninger i lagdelt grunn. Sjekk brønner/oppkommer.	> -50  kPa	-(20-50) kPa	-(0-20) kPa	Ingen	
Kvikkleiremektighet	Fra dreietrykksonderinger, samt vingebor og prøveserier	>H/2	H/4-H/2	<H/4	Tynt lag	Hk = 17,5m ved H=25,5 for Profil E-E
Sensitivitet	Fra prøveserie. Dersom dette mangler er normal kvikkleiresensitivitet 30-100.	>100	30-100	20-30	<20	Fra prøveserier Li-6 og Li-4
Erosjon	Sjekk erosjonsforhold i elveleier: sideveis, dybde, sedimentasjon, erosjonsbekytelse, fjellterskler, glidninger...	Aktiv	Noe	Lite	Ingen	Erosjonssikring
Forverrende inngrep	Bakkeplanering, utfyllinger, endring av hydrologiske forhold	Stort	Noe	Lite	Ingen	
Forbedrende inngrep	Bakkeplanering, bekkelukking, utfyllinger, endring av hydrologiske forhold	Stort	Noe	Lite	Ingen	
Definisjoner						
Aktiv erosjon: Utløste skred (dyperegående rotasjoner). Lite/ingen naturlig erosjonssikring. Vannet grått						
Noe erosjon: Utløste overflateglidninger ila siste årene. Lite/ingen naturlig erosjonssikring. Vannet grått.						
Litt erosjon: Leire i elveleiet. Gradientforhold tilsier at erosjon kan oppstå. Lite/ingen naturlig erosjonssikring. Vannet klart eller noe misfarget						
Ingen erosjon: Naturlig erosjonsbekytelse i bunn sider av elveleiet, evnt. terskler som medfører små gradientforhold. Vannet klart.						
Stort inngrep: Topografiendring som medfører skråningshøyde økt eller redusert med mer enn 4 m. Skråningshelling økt eller redusert med 10-20%						
Noe inngrep: Topografiendring som medfører skråningshøyde økt eller redusert med 2-4 m. Skråningshelling økt eller redusert med < 10 %						
Lite inngrep: Topografiendring som medfører skråningshøyde økt eller redusert med < 2 m. Hydrologiske forhold: Fjerning av vegetasjon, grøfting, beplanting						
Ingen inngrep: Kun små lokale endringer i terrenget - traktorveier, mindre planering i f.b.m spredt boligbebyggelse o.l.						

Tabell A3 - Vurdering av faregrad, skadekonsekvens og risikoklasse etter erosjonssikring.

Sonenavn:	621 Lillemo	Dato:	2017-01-26	Initialer:	SBeH	
<b>Skadekonsekvens</b>		3	2	1	0	
Faktorer	Hva må sjekkes:		Score			Observasjon/beskrivelse
Boligenheter, antall	Permanent opphold i sonen + utløpsområdet. 1 boligenhet = 1 familie	Tett > 5	Spredt > 5	Spredt < 5	Ingen	4 bolighus og 5 gårdsbruk. Skredmasser kan berøre boliger nedstrøms.
Næringsbygg, personer	Midlertidig opphold. Industri, næring, kontorer, skoler, offentlige bygg	> 50	10 - 50	< 10	Ingen	
Annен bebyggelse, verdi	Bygg der det normalt ikke oppholder seg mennesker.	Stor	Betydelig	Begrenset	Ingen	
Vei, ÅDT	Kfr. SVV trafikkregister	> 5000	1001-5000	100-1000	< 100	Antatt
Toglinje, baneprioritet	Kfr. JBV baneprioritet	1-2	3-4	5	Ingen	
Kraftnett	Kfr. Statkrafts nettklasser	Sentral	Regional	Distribusjon	Lokal	Antatt sentralnett
Oppdemming/flom	Tilstrekkelig volum skredmasser, tilstrekkelig sensitive skredmasser, mulig volum på oppdemming, lett eroderbare masser, bebyggelse i kritiske områder	Alvorlig	Middels	Liten	Ingen	Flombølge kan berøre boliger nedstrøms

#### Definisjoner

Alvorlig: Oppdemming/flodbølge kan oversvømme områder med mer enn 5 boligenheter eller skole/barnehage

Middels: Oppdemming/flodbølge kan oversvømme områder med mindre enn 5 boligenheter eller industriområde

Liten: Oppdemming/flodbølge kan oversvømme områder med vei, jernbane eller kraftnett.

Ingen: Oppdemming/flodbølge kan bare oversvømme områder uten bebyggelse og infrastruktur

#### Farebeskrivelse

Vurdering fra tidligere rapport ref.(2)

Vurdering fra gjeldene rapport, 20120099-04-R rev.2



Tabell A3 - Vurdering av faregrad, skadekonsekvens og risikoklasse etter erosjonssikring.

Sonenavn: *Lillemo*  
 Sonenr: 621

**Faregradsevaluering**

Faktorer	Vektall	Beskrivelse	Score	Produkt
Tidligere skredaktivitet	1	høy	3	3
Skråningshøyde, meter	2	20-30 m	2	4
OCR	2	1,2-1,5	3	6
Poreovertrykk	3	10-30 kPa	0	0
Poreundertrykk	-3	> -50  kPa	3	-9
Kvikkleiremektighet	2	<H/2	3	6
Sensitivitet	1	>100	3	3
Erosjon	3	Ingen	0	0
Inngrep, forverring	3	Ingen	0	0
Inngrep, forbedring	-3	Ingen	0	0

Sum poeng 13 av maks. oppnåelig 51 poeng

**Faregradsklasse:** Lav 25 % av maksimal poengsum

**Konsekvens**

Faktorer	Vektall		Score	Produkt
Boligheter, antall	4	Tett > 5	3	12
Næringsbygg, personer	3	Ingen	0	0
Annen bebyggelse, verdi	1	Ingen	0	0
Vei, ÅDT	2	100-1000	1	2
Toglinje, baneprioritet	2	Ingen	0	0
Kraftnett	1	Sentral	3	3
Oppdemming/flom	2	Alvorlig	3	6

Sum poeng 23 av maks. oppnåelig 45 poeng

**Skadekonsekvensklasse:** Meget alvorlig 51 % av maksimal poengsum

Risiko = fare% x konsekvens%: 1303

**Risikoklasse:** 3

Tiltakskategori avh. av faregrad: K3

Krav til material faktor større enn: 1,4

Forbedring avh. av faregrad v/ym for liten: Forbedring

# Vedlegg B - Poretrykksmålinger

## Innhold

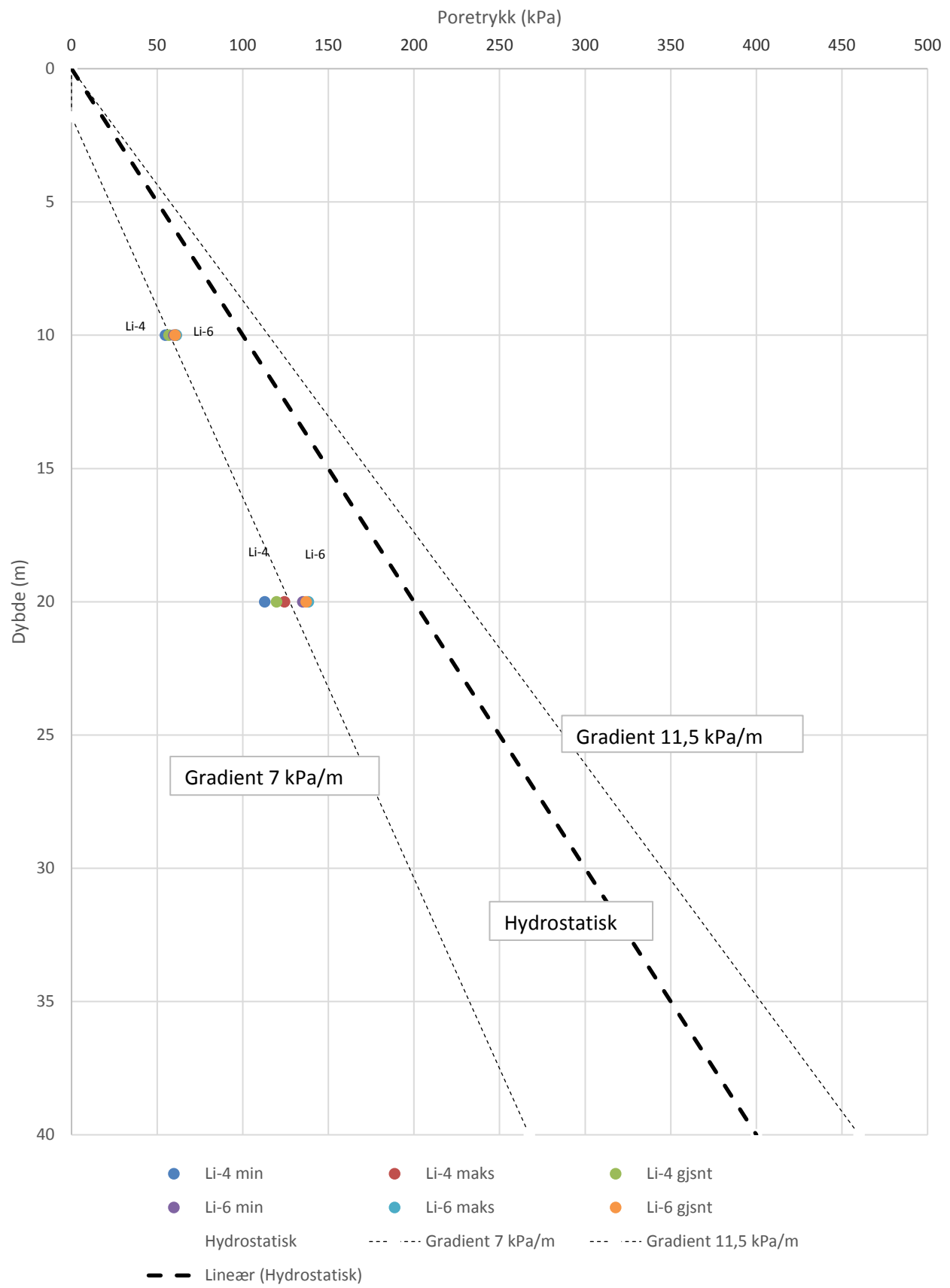
Vedlegget inneholder resultater fra målte poretrykk i 2 pkt. ved utførte grunnundersøkelser, ref. (1).

### Figurer og tabeller

- B1. Poretrykk vs. dybde
- B2. Terrengnivå vs. stigehøyde
- B3. Samletabell for poretrykksmålinger

## 1 Referanser

1. **Rambøll.** *Rapport 6120810-4. NVE. Kvikkleiresoner Trondheim og Stjørdal. Sone C6 - Lillemo. Grunnundersøkelser. Datarapport.* 2013-02-15.



### Kvikkleiresoner Stjørdal Lillemo

Målt poretrykk - dybde

Rapport nr.  
20120099

Figur nr.  
B1

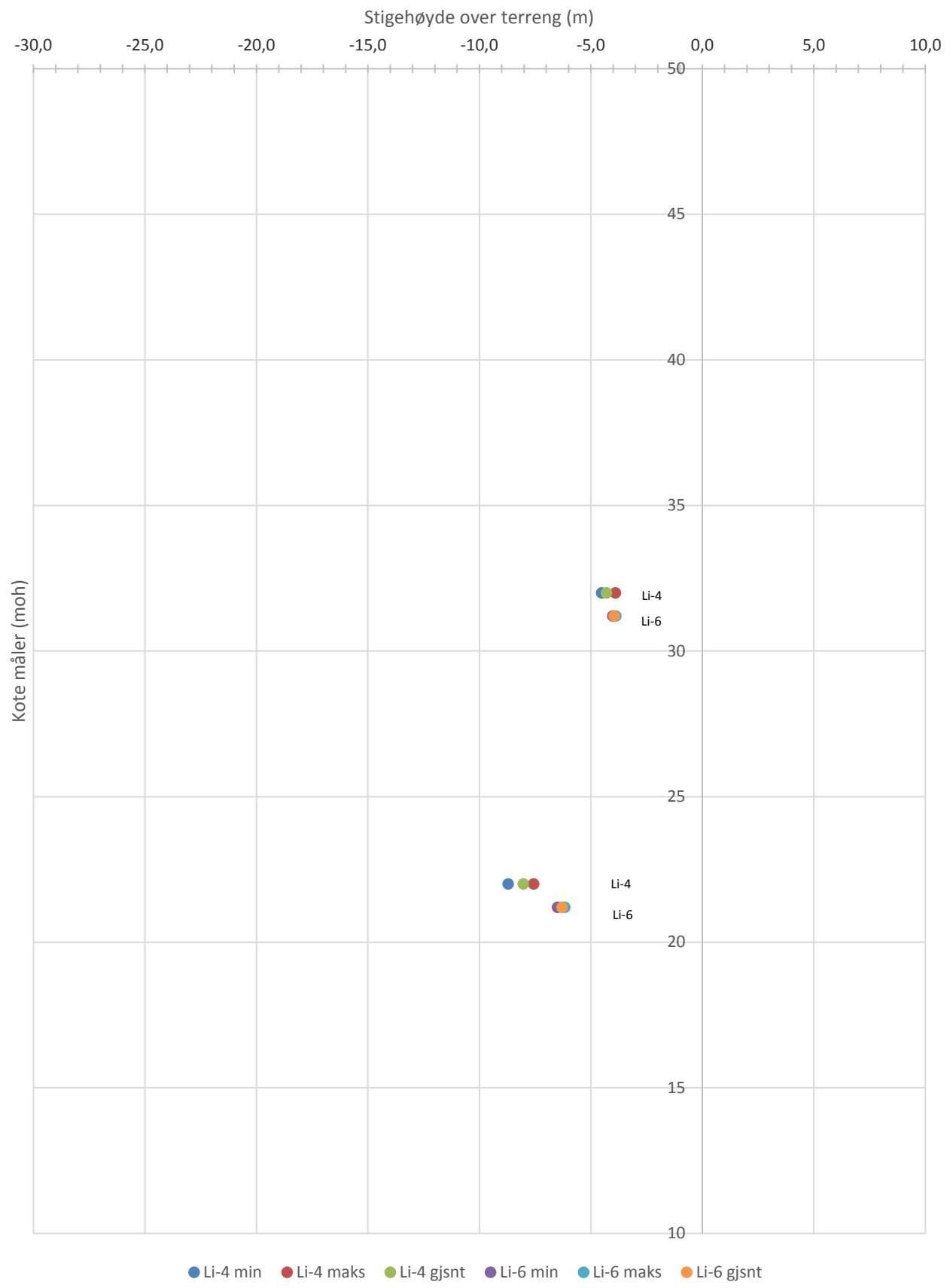
Tegner  
SBeH

Dato  
2013-12-05

Kontrollert  
VG



Godkjent  
KE



Kvikkleiresoner Stjørdal Lillemo	Rapport nr.	Figur nr.
Stigehøyde over terrenge - målenivå (kote)	Tegner SBeH	Dato 2013-12-05
	Kontrollert VG	
	Godkjent KE	

**20120099 Kvikkleiresoner Trondheim - Lillemo**

**TABELL B3: Samletabell for poretrykksmålinger**

Hullnr.	Li-4 (kt. +42,0)				Li-6 (kt. +41,2)			
Nivå [m]	10		20		10		20	
Rørhøyde over terring [m]								
Installert dato	22.nov 2012		22.nov 2012		21.nov 2012		21.nov 2012	
	Avlesning [m]	Trykk [kPa]	Avlesning [m]	Trykk [kPa]	Avlesning [m]	Trykk [kPa]	Avlesning [m]	Trykk [kPa]
2012-10-17								
2012-10-18								
2012-10-25								
2012-10-26								
2012-11-05								
2012-11-07								
2012-11-08								
2012-11-09								
2012-11-19								
2012-11-21					5,0	50,0	40,0	400,0
2012-11-22	16,5	165,0	21,5	215,0	8,4	84,0	14,6	146,0
2012-12-05								
2012-12-10								
2012-12-11								
2012-12-12								
2013-01-09								
2013-01-10					6,1	60,5	13,8	137,9
2013-01-11	6,1	61,0	12,4	124,4				
2013-02-06	5,5	54,8	12,2	121,7				
2013-01-14					6,1	61,2	13,8	138,3
2013-03-01								
2013-04-10								
2013-06-18								
2013-08-09								
2013-09-04								
2013-09-10								
2013-09-19	5,5	55,1	11,3	112,9	6,0	59,8	13,5	135,1
Gjennomsnitt	5,7	57,0	12,0	119,7	6,1	60,5	13,7	137,1
Maksimalverdi	6,1	61,0	12,4	124,4	6,1	61,2	13,8	138,3
Minimalverdi	5,5	54,8	11,3	112,9	6,0	59,8	13,5	135,1

## Vedlegg

## C - Tolkning av ødometerforsøk

### Innhold

Vedlegget inneholder resultater fra tolkning av 4 ødometerforsøk (CRS), ref. (1). Forsøkene er tolket i henhold til (2) og (3).

### Figurliste

Tabell C1 Sammenstilling av ødometerforsøk

### 1 Referanser

1. **Rambøll.** *Rapport 6120810-4. NVE. Kvikkleiresoner Trondheim og Stjørdal. Sone C6 - Lillemo. Grunnundersøkelser. Datarapport.* 2013-02-15.
2. **Karlsrud, K.** Tolking og fastlegging av jordartsparametre. Karakteristisk jordprofil (4.1). *NGF kurs - Stabilitetsanalyser av skråninger, skjæringer og fyllinger.* 2003.
3. —. Skjærstyrkeegenskaper av leire og bruk i stabilitetsanalyser (4.2). *NGF kurs - Stabilitetsanalyser av skråninger, skjæringer og fyllinger.* 2003.

## TABELL C1

## SAMMENSTILLING AV ØDOMETERFORSØK

$w_i$  In-situ vanninnhold

$w_p$  Utrullingsgrense

## $w_L$ Flytegrense

$I_p$  Plastositetsindeks,  $I_p = w_L - w_p$

$\gamma_T$  Total romvekt

$e_i$  Initierl poretall,  $e_i = 2.75 * w_i$

### S<sub>t</sub> Sensitivitet

$p_0'$  In-situ effektivspenning

## dV/V Volumtøynir

$\Delta e/e_0$  Endring i poretallet,  $\Delta e$

$$Z_p = \text{Terrengkote} - \text{prøvedybde} + p_c' / (\gamma * \text{aldringsfaktor})$$

$$\gamma' = 9 \text{ kN/m}^3$$

aldringsfaktor = 1,2

#### Prøvekvalitet i hht SVV:

### Volumtøyning $\Delta e/e_0$

OCR	Meget god	God-bra	Dårlig	Meget dårlig
1-2	<0,04	0,04-0,07	0,07-0,14	>0,14
2-4	<0,03	0,03-0,05	0,05-0,10	>0,10

## Prøvekvalitet i hht NVE:

### Volumtøyning $\Delta V/V_0$ ( $\varepsilon_{\text{vol}}$ )

OCR	Kv.kl.1 Perfekt	Kv.kl.1 Akzeptabel	Kv.kl.2 Forstyrre
1-2	<3,0	3,0-5,0	>5,0
1,2-1,5	<2,0	2,0-4,0	>4,0
1,5-2	<1,5	1,5-3,5	>3,5
2-3	<1,0	1,0-3,0	>3,0
3-8	<0,5	0,5-1,0	>1,0

OPPDRAAGSGIVER:

#### **PROSJEKT:**

**PROSJEKT NR:**

# Vedlegg D - Tolkning av treaksialforsøk

## Innhold

Vedlegget inneholder resultater fra tolkning av 6 treaksialforsøk, 4 CAUA og 2 CAUP, ref. (1). Forsøkene er tolket i henhold til (2) og (3).

## Figurliste

Tabell D1 Sammenstilling av treaksialforøk

### 1 Referanser

1. **Rambøll.** *Rapport 6120810-4. NVE. Kvikkleiresoner Trondheim og Stjørdal. Sone C6 - Lillemo. Grunnundersøkelser. Datarapport.* 2013-02-15.
2. **Karlsrud, K.** Tolking og fastlegging av jordartsparametre. Karakteristisk jordprofil (4.1). *NGF kurs - Stabilitetsanalyser av skråninger, skjæringer og fyllinger.* 2003.
3. —. Skjærstyrkegenskaper av leire og bruk i stabilitetsanalyser (4.2). *NGF kurs - Stabilitetsanalyser av skråninger, skjæringer og fyllinger.* 2003.

20120099

## Kvikkleiresoner Trondheim og Stjørdal

Lillemo

TABELL D1 :

## SAMMENSTILLING AV TREAKSIALFORSØK

PRØVE IDENTIFISERING				INDEKSEGENSKAPER						KONSOLIDERING										STYRKEEGENSKAPER										
Hull nr.	Prøve diameter	Sylinder Del	Dybde Jordart	w <sub>i</sub>	w <sub>i</sub>	w <sub>p</sub>	I <sub>p</sub>	Leir	γ <sub>tot</sub>	S <sub>t</sub>	Type forsøk	p' <sub>0v</sub>	σ' <sub>ac</sub>	σ' <sub>rc</sub>	K <sub>0'</sub>	ε <sub>vol</sub>	ε <sub>ac</sub>	w <sub>c</sub>	B	Δe/e <sub>0</sub>	Δe/e <sub>0</sub>	OCR	Prøve kvalitet (NVE)	s <sub>u</sub> (peak)	ε <sub>a</sub> (peak)	s <sub>u</sub> (1%)	s <sub>u peak</sub> /σ' <sub>ac</sub>	α (m=0.6)	φ (phi)	atraksjon
		mm	m	%	%	%	%	Innh.				kPa	kPa	kPa		%	%	%						kPa	%	kPa			kPa	
Li-4	75		9,55 Kvikkleire	31,0	20,0	17,0	3,0		19,9	245	CAUA	134,5	129,0	79,0	0,61	2,40	-	-	-	0,052	-	1,15	1 Perfekt	45,0	1,20	45,0	0,35	0,30	31,0	10,0
Li-4	75		9,65 Kvikkleire	31,0	20,0	17,0	3,0		19,9	245	CAUP	135,8	131,0	81,0	0,62	2,53				0,055		1,15	1 Perfekt	16,0	1,80	14,0	0,12	0,11	28,8	-
Li-4	75		19,40 e sūllag og	28,0	22,0	17,0	5,0		20,1	39	CAUA	265,3	314,0	150,0	0,48	6,20	-	-	-	0,143	-	1,03	2 Forstyrret	85,0	0,60	83,0	0,27	0,31	35,0	10,0
Li-6	75		8,55 Kvikkleire	42,0	28,0	22,0	6,0		18,5	130	CAUA	108,1	121,0	73,0	0,60	3,28				0,061	-	0,84	2 Forstyrret	26,0	1,00	26,0	0,21	0,27	22,8	5,0
Li-6	75		8,65 Kvikkleire	42,0	28,0	22,0	6,0		18,5	130	CAUP	109,2	110,0	70,0	0,64	2,79				0,052	-	0,84	2 Forstyrret	13,0	1,80	12,0	0,12	0,13	22,0	-
Li-6	75		20,60 Leire	32,0	30,0	21,0	9,0		20,0	10	CAUA	249,1	267,0	147,0	0,55	4,30				0,092	-	1,21	1 aksept.	85,0	0,45	82,0	0,32	0,30	33,0	5,0

w<sub>i</sub> In-situ vanninnhold  
 w<sub>i</sub> Flytegrense  
 w<sub>p</sub> Utrullingsgrense  
 I<sub>p</sub> Plastisitetsindeks, I<sub>p</sub> = w<sub>i</sub> - w<sub>p</sub>  
 γ<sub>tot</sub> Total romvekt  
 S<sub>t</sub> Sensitivitet  
 p'<sub>0v</sub> In-situ vertikal effektivspenning  
 σ'<sub>ac</sub> Vertikal konsolideringsspenning  
 σ'<sub>rc</sub> Horizontal konsolideringsspenning  
 K<sub>0'</sub> Horizontal jordtrykkskoeffisient  
 ε<sub>vol</sub> Volumetrisk tøyning ved konsolidering  
 ε<sub>ac</sub> Vertikal tøyning ved konsolidering  
 B Skemptions poretrykksfaktor, Δu/σ<sub>m</sub>  
 Δe/e<sub>0</sub> Endring i portallet - Δe = evol (1+ei) og ei = 2.75 \* wi  
 Δe/e<sub>0</sub> Endring i portallet - Δe / ei = Δw / w<sub>i</sub>  
 OCR Antatt overkonsolideringsforhold

Prøvekvalitet i hht SVV: Volumtoyning Δe/e<sub>0</sub>  

OCR	Meget god	God-bra	Dårlig	Meget dårlig
1-2	<0,04	0,04-0,07	0,07-0,14	>0,14
2-4	<0,03	0,03-0,05	0,05-0,10	>0,10

  
 Prøvekvalitet i hht NVE: Volumtoyning ΔV/V<sub>0</sub> (evol)  

OCR	Kv.kl.1 Perfekt	Kv.kl.1 Akseptabel	Kv.kl.2 Forstyrret
1-2	<3,0	3,0-5,0	>5,0
1,2-1,5	<2,0	2,0-4,0	>4,0
1,5-2	<1,5	1,5-3,5	>3,5
2-3	<1,0	1,0-3,0	>3,0
3-8	<0,5	0,5-1,0	>1,0

su/p <sup>0</sup>	ikke sensitiv		Sensitiv	
	OCR	m	alfa	m
0,3346	1,2	1,274052	0,3034	2,4369
0,1178	1,2		0,1068	0,1257
0,3204	1,0	35,55781	0,3138	42,066
0,2405	0,8	0,871761	0,2717	-0,0604
0,119	0,8		0,1345	0,1582
0,3412	1,2	5,844356	0,7465	6,8535
				0,9049

# Vedlegg E - Tolkning av CPTU-sonderinger

## Innhold

CPTU-sonderingene fra de supplerende grunnundersøkelsene, ref. (1), er benyttet for tolkning av udrenert skjærstyrke iht. ref. (2) med forutsetninger gitt i tabell 1.

*Tabell 1 Forutsetninger for tolkning av CPTU-sonderinger.*

Borpkt	Rom-vekt	Pore-trykk	OCR ( $p_c'/p_0'$ ) (se også vedl. E)	Ip	St>15	N <sub>Δu</sub>		N <sub>kt</sub>	
						St>15	St<15	St>15	St<15
Li-4	Fra lokal prøveserie	Fra lokal poretrykksmåling	2,0-1,2 (d=5-38m)	Fra lokal prøveserie	6-24m	9.8 - 4.5 x log OCR	6.9-4xlogOCR+0.07xIp	8.5+2.5xlogOCR	7.8+2.5xlogOCR+0.082xIp
Li-5			13-6,2 (d=3-7m)		0-6m				
Li-6			1,6-1,2 (d=5-22m)		2-17m				
Li-11			2,6-2,1 (d=5-16m)		7-16m				
Li-13			2,1-1,2 (d=5-25m)		8-21m				

Udrenert aktivt skjærstyrkeprofil som er benyttet i stabilitetsberegnogene fremgår som «anbefalt su» - grønn linje i etterfølgende figurer. Blå linje vist på skjærstyrkeprofilene angir SHANSEP-beregnet skjærstyrke ved de aktuelle CPTU-sonderingene. I borepunktene hvor det samtidig er tatt opp en prøveserie og utført laboratoriearbeid fremgår også disse resultatene på de etterfølgende plottene.

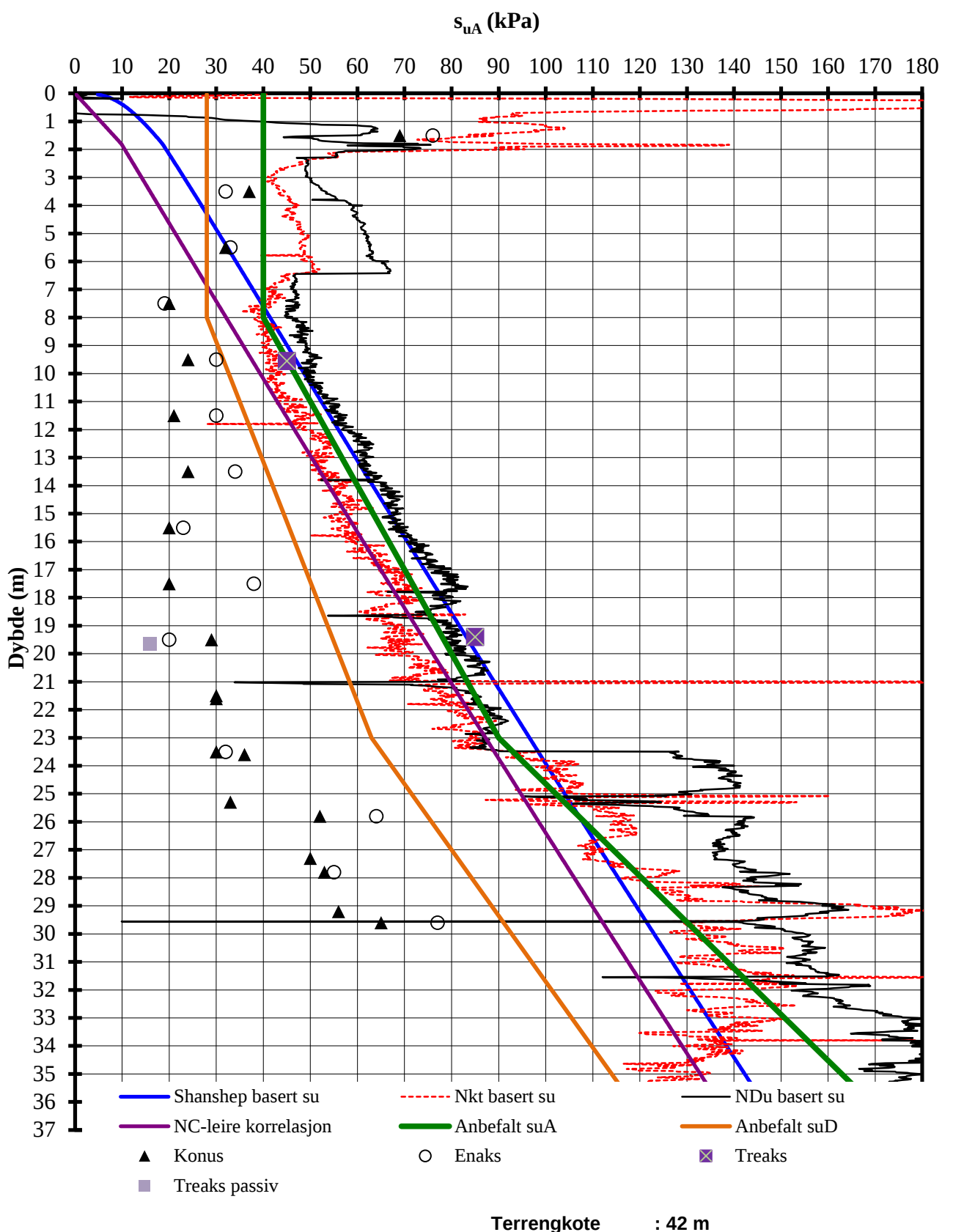
Tolket OCR-profil vises for hvert borepunkt. Den tykke blå linjen viser tolket trend for OCR-profilet. Basert på trendlinjen beregnes faktorene N<sub>Δu</sub> og N<sub>kt</sub>. Den tynne blå linjen angir OCR-profil i henhold til antatt tidligere havbunnsnivå som beskrevet i rapportteksten. Etter dette profilet er SHANSEP-basert skjærstyrke beregnet.

## Figurliste

Figur E1	Borhull Li-4, $s_u$ -profil
Figur E2	Borhull Li-4, OCR-profil
Figur E3	Borhull Li-5, $s_u$ -profil
Figur E4	Borhull Li-5, OCR-profil
Figur E5	Borhull Li-6, $s_u$ -profil
Figur E6	Borhull Li-6, OCR-profil
Figur E7	Borhull Li-11, $s_u$ -profil
Figur E8	Borhull Li-11, OCR-profil
Figur E9	Borhull Li-13, $s_u$ -profil
Figur E10	Borhull Li-13, OCR-profil

## 1 Referanser

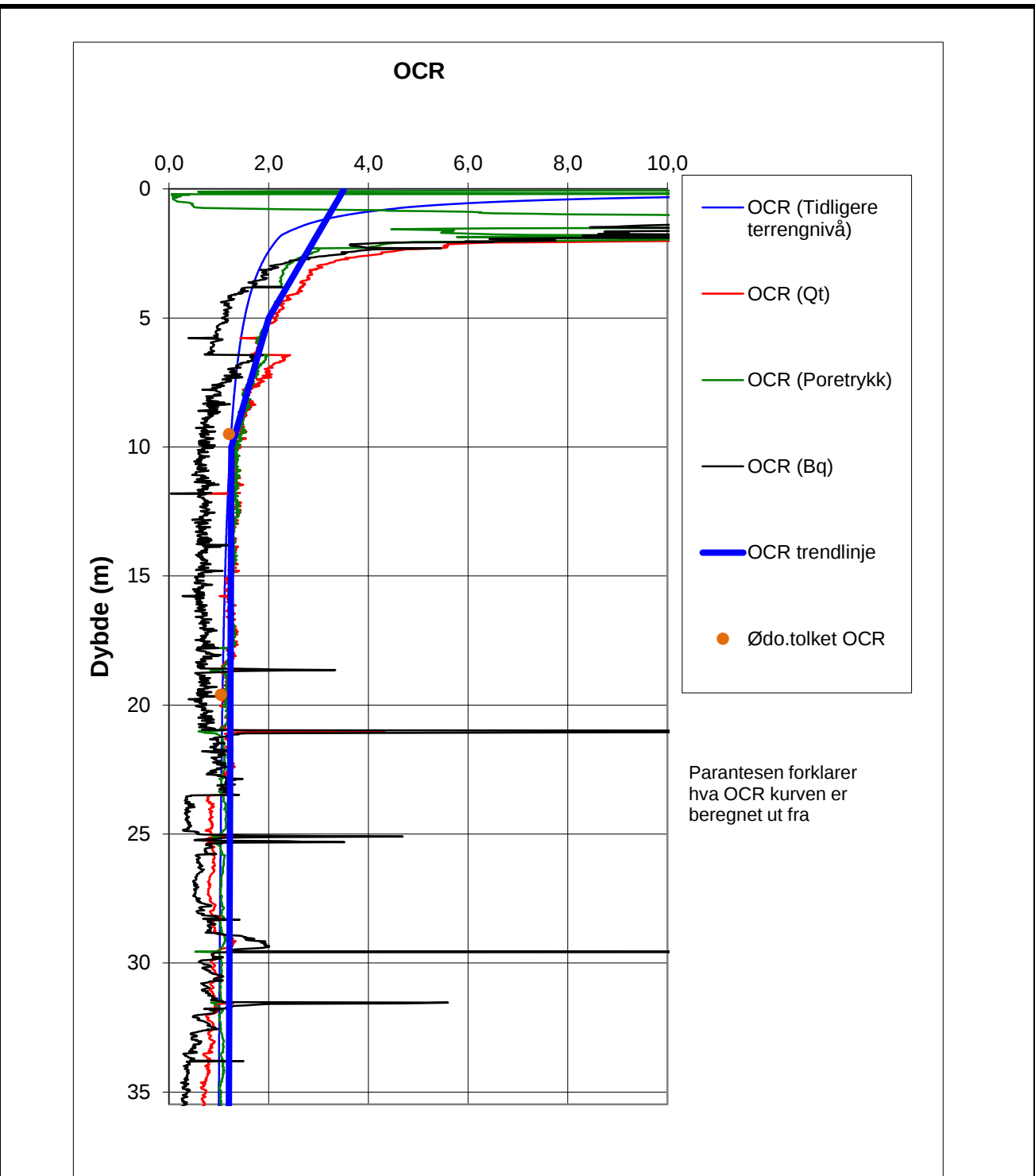
1. **Rambøll.** Rapport 6120810-4. NVE. Kvikkleiresoner Trondheim og Stjørdal. Sone C6 - Lillemo. Grunnundersøkelser. Datarapport. 2013-02-15.
2. **Karlsrud, K., et al.** CPTU correlations for clays. *Proceedings, ICSMGE, Osaka*. 2005.



P:\2012\00\20120099\Tolkning\CTTU Lillemo\Tolkning CPTU Li-4.xls]OCR profil

Kvikkleiresoner Stjørdal - Lillemo	Rapport nr.	Figur nr.
	20120099	E1
Aktiv skjærstyrke basert på CPTU-sondering og shanshep.	SBeH	2013-12-17
Borhull Li-4	JSL	
	KE	

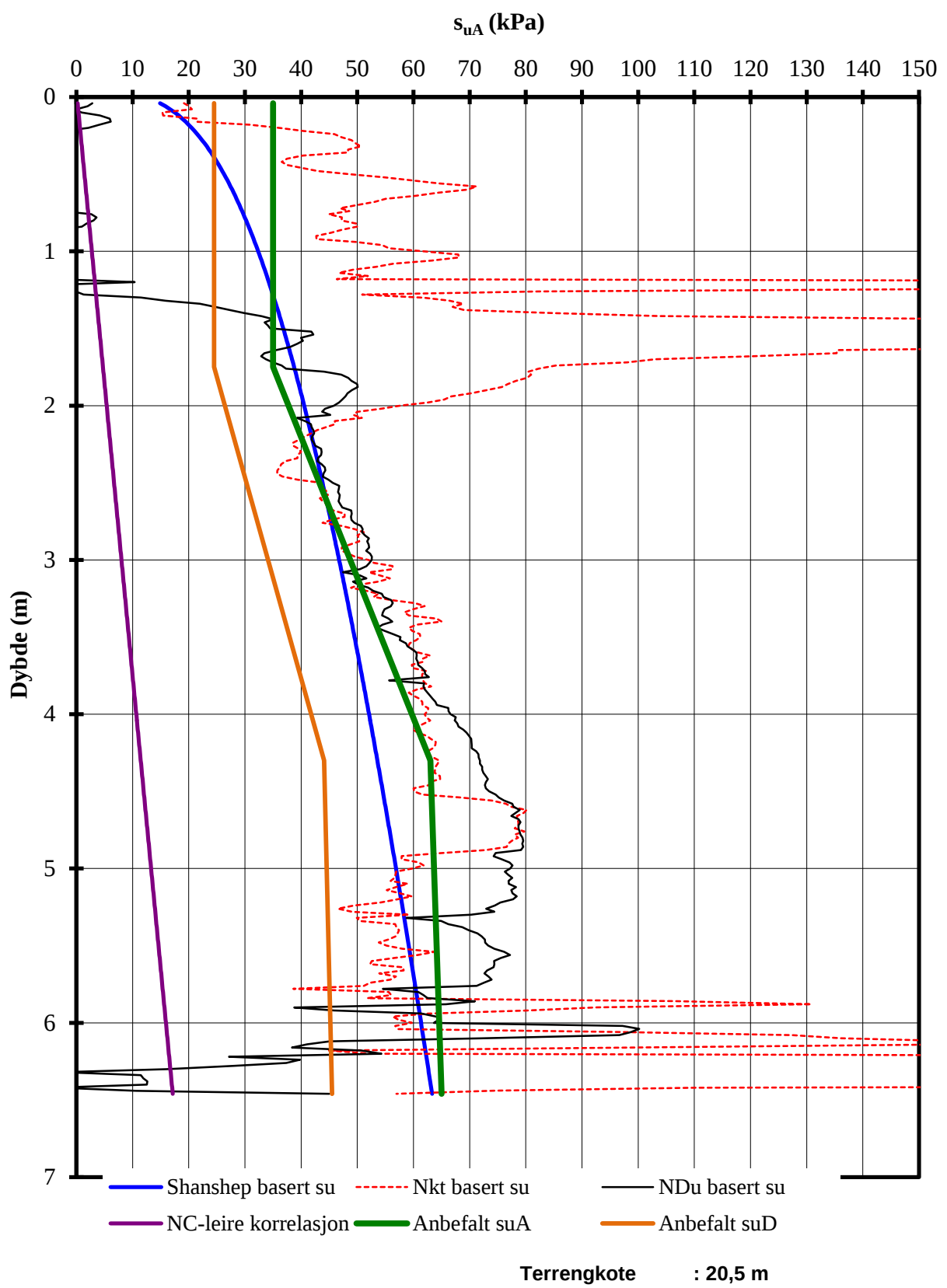




**Terrengkote: 42 m**

P:\2012\00\20120099\Tolkning\CPTU Lillemo\[Tolkning CPTU Li-4.xls]OCR profil

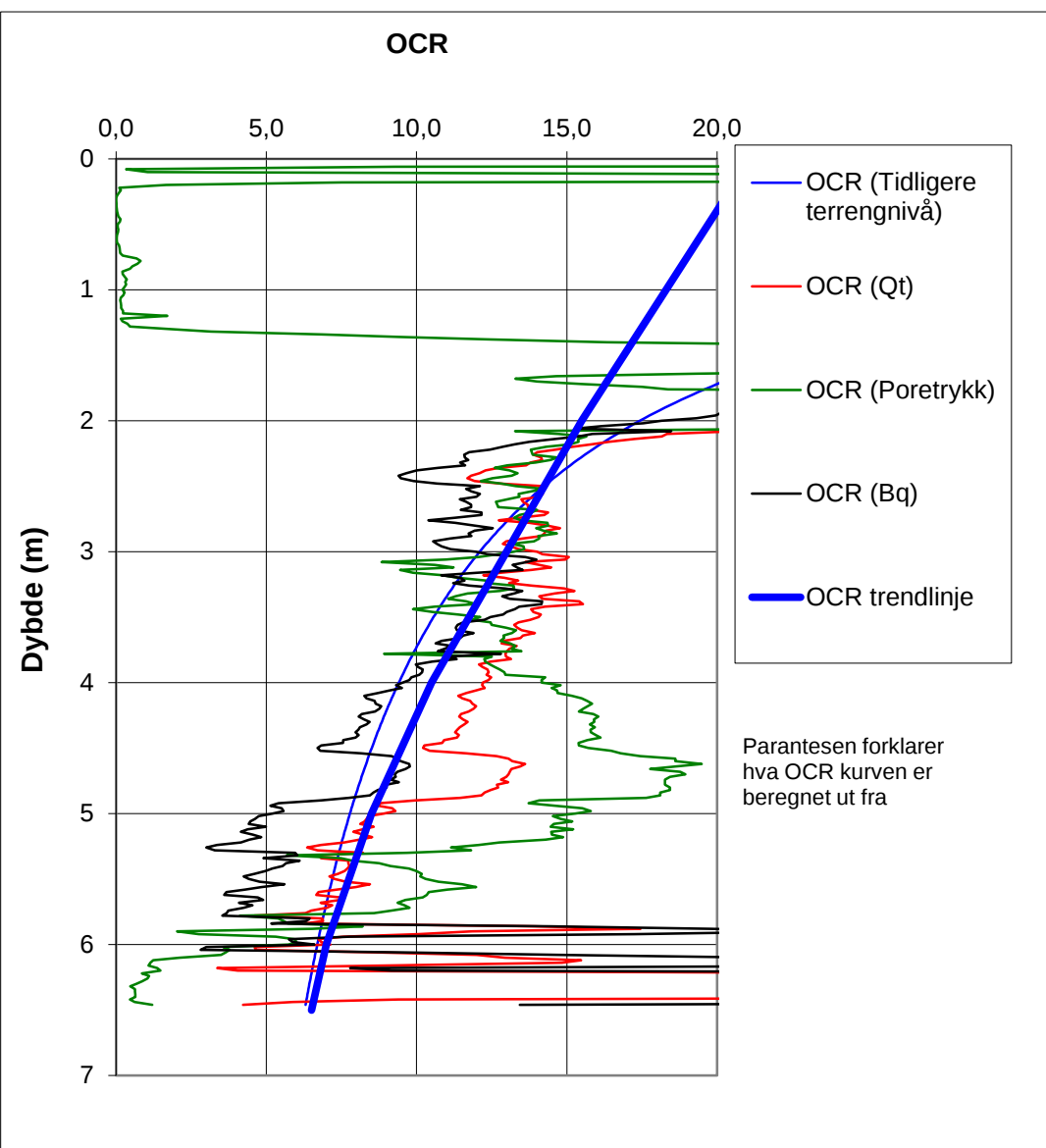
Kvikkleiresoner Stjørdal - Lillemo	Rapport nr. <b>20120099</b>	Figur nr. <b>E2</b>
OCR-profil	Tegner SBeH	Dato 2013-12-16
Borhull: Li-4	Kontrollert JSL	Godkjent KE
		



P:\2012\00\20120099\Tolkning\CPTU Lillemo\[Tolkning CPTU Li-5.xls]OCR profil

Kvikkleiresoner Stjørdal - Lillemo	Rapport nr.	Figur nr.
	20120099	E3
Aktiv skjærstyrke basert på CPTU-sondering og shanshep.	Tegner SBeH	Dato 2013-12-17
Borhull Li-5	Kontrollert JSL	
	Godkjent KE	





**Terrengkote: 20,5 m**

P:\2012\00\20120099\Tolkning\CPTU Lillemo\[Tolkning CPTU Li-5.xls]OCR profil

**Kvikkleiresoner Stjørdal - Lillemo**

OCR-profil

Borhull: Li-5

Rapport nr.  
**20120099**

Figur nr.  
**E4**

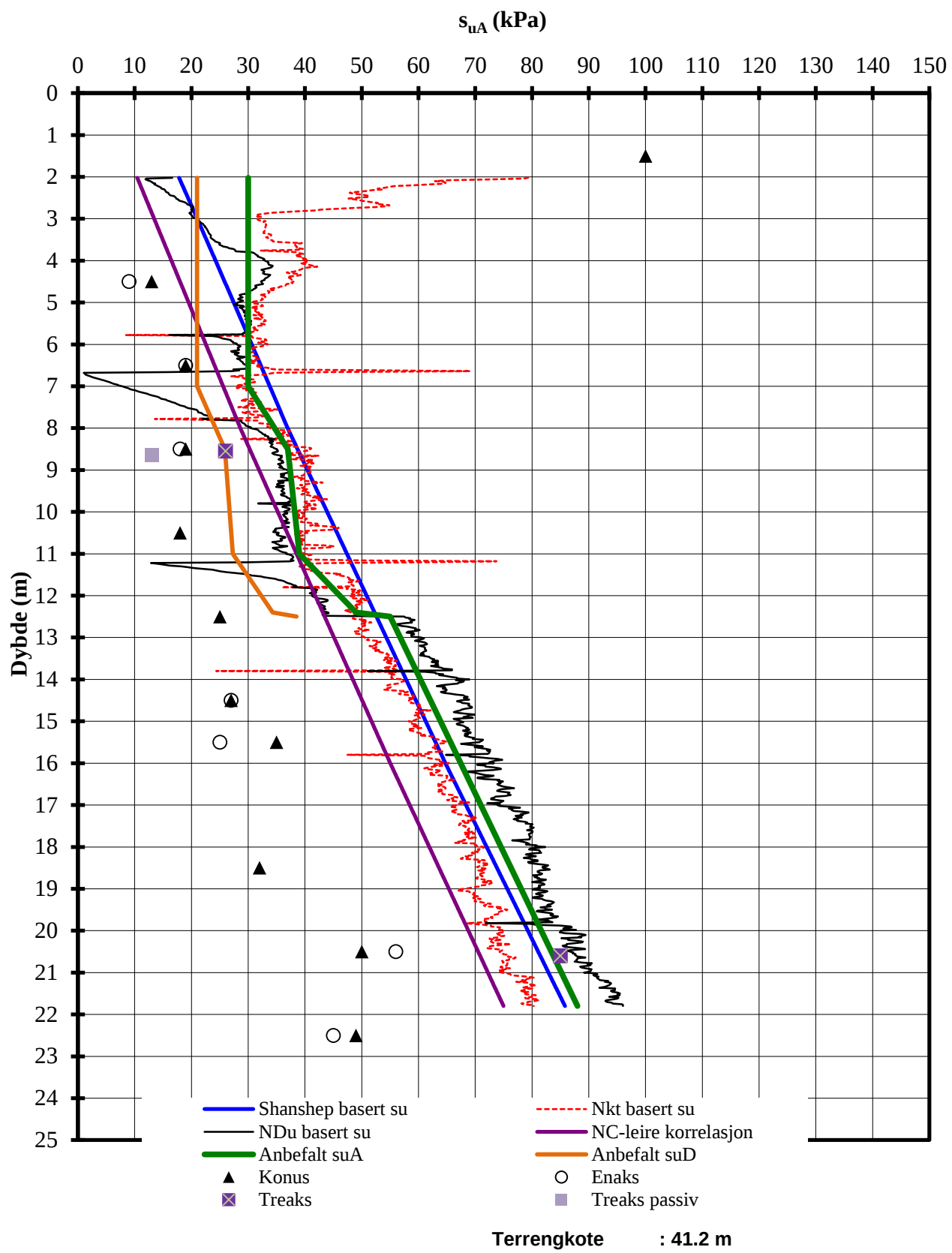
Tegner  
SBeH

Dato  
2013-12-16

Kontrollert  
JSL



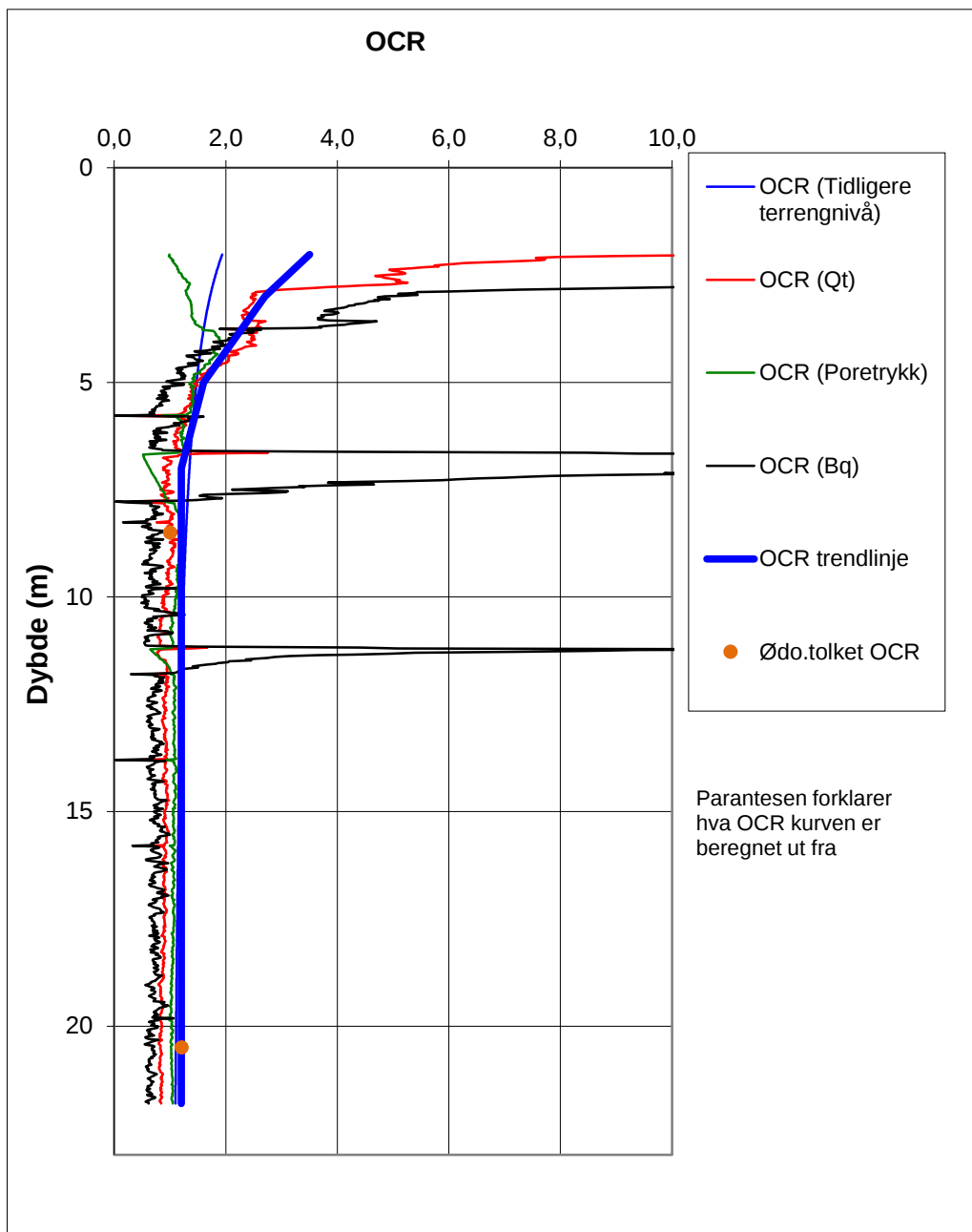
Godkjent  
KE



P:\2012\00\20120099\Tolkning\cptu\_lillemo\tolkning\_cptu\_li-6.xls]OCR profil

Kvikkleiresoner Stjørdal - Lillemo	Rapport nr.	Figur nr.
	20120099	E5
Aktiv skjærstyrke basert på CPTU-sondering og shanshep.	Tegner SBeH	Dato 2013-12-16
Borhull Li-6	Kontrollert JSL	
	Godkjent KE	





**Terrengkote: 41,2 m**

P:\2012\00\20120099\Tolkning\CPTU Lillemo\[Tolkning CPTU Li-6.xls]OCR profil

**Kvikkleiresoner Stjørdal - Lillemo**

OCR-profil

Borhull: Li-6

Rapport nr.  
**20120099**

Figur nr.  
**E6**

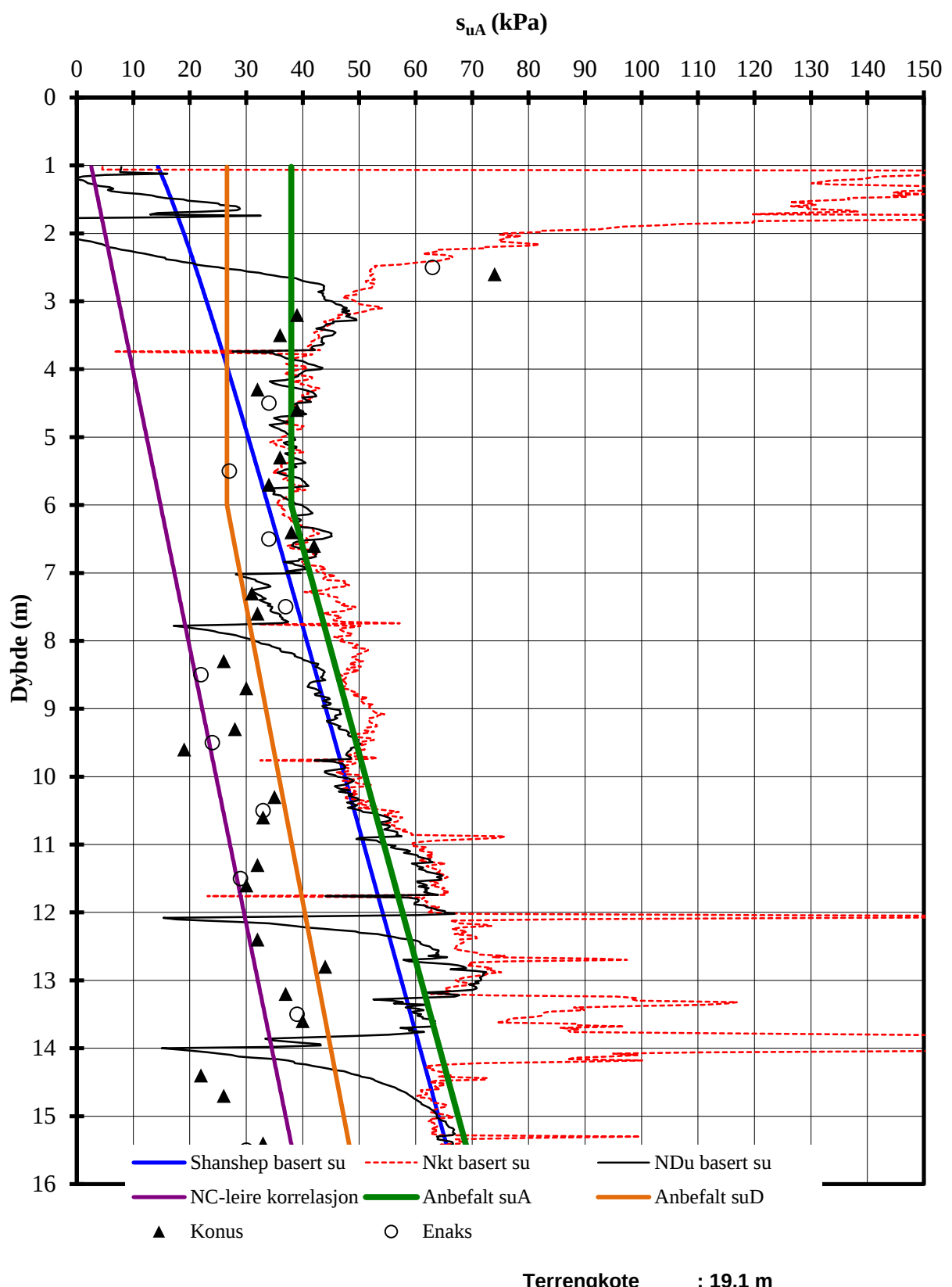
Tegner  
SBeH

Dato  
2013-12-16

Kontrollert  
JSL



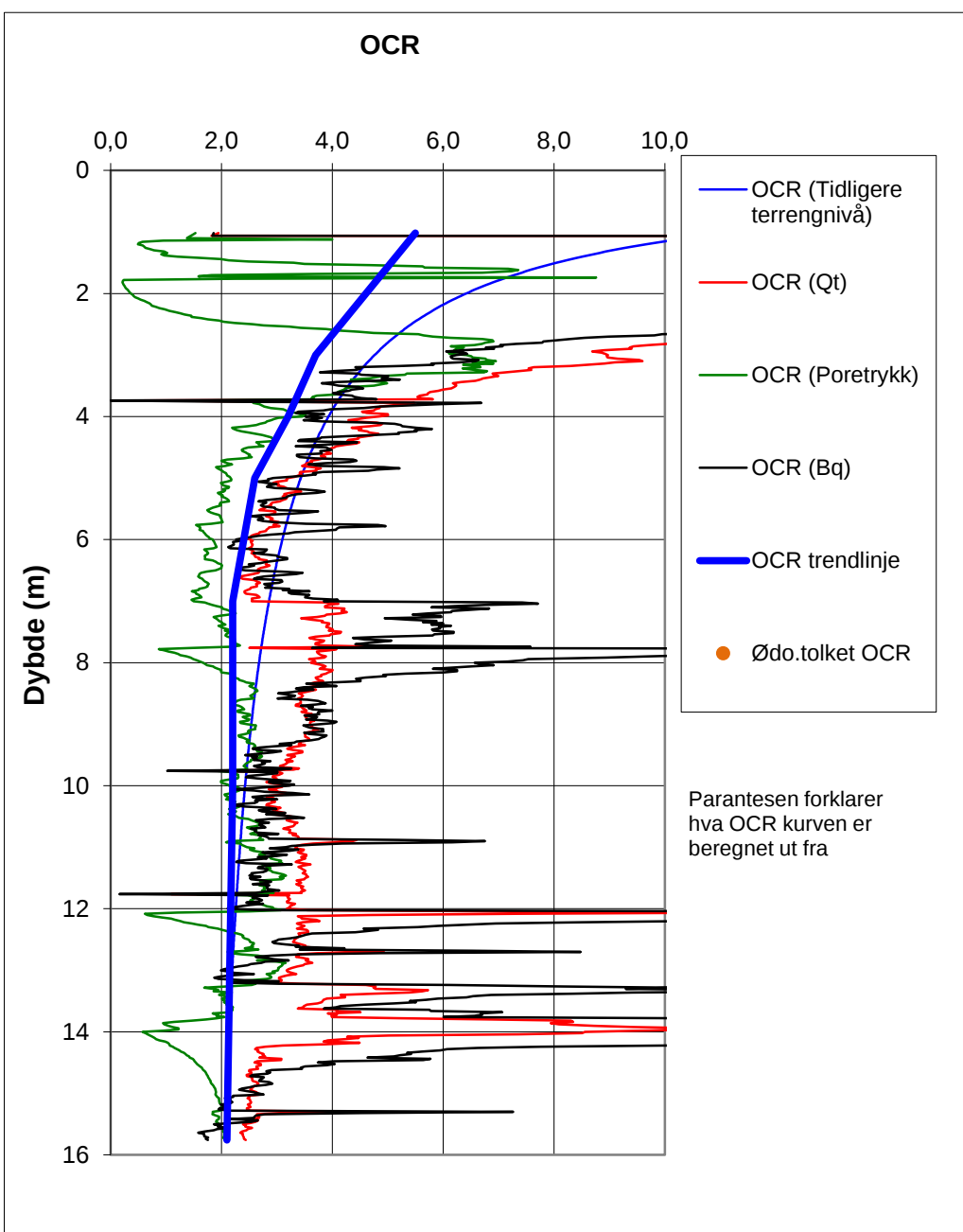
Godkjent  
KE



P:\2012\00\20120099\Tolkning\CPTU Lillemo\Tolkning CPTU Li-11.xls\OCR profil

Kvikkleiresoner Trondheim og Stjørdal	Rapport nr.	Figur nr.
	20120099	E7
Aktiv skjærstyrke basert på CPTU-sondering og shanshep.	Tegner SBeH	Dato 2013-12-17
Borhull Li-11	Kontrollert JSL	
	Godkjent KE	





**Terrengkote: 19,1 m**

P:\2012\00\20120099\Tolkning\CPTU Lillemo\[Tolkning CPTU Li-11.xls]OCR profil

**Kvikkleiresoner Stjørdal - Lillemo**

OCR-profil

Borhull: Li-11

Rapport nr.  
**20120099**

Figur nr.  
**E8**

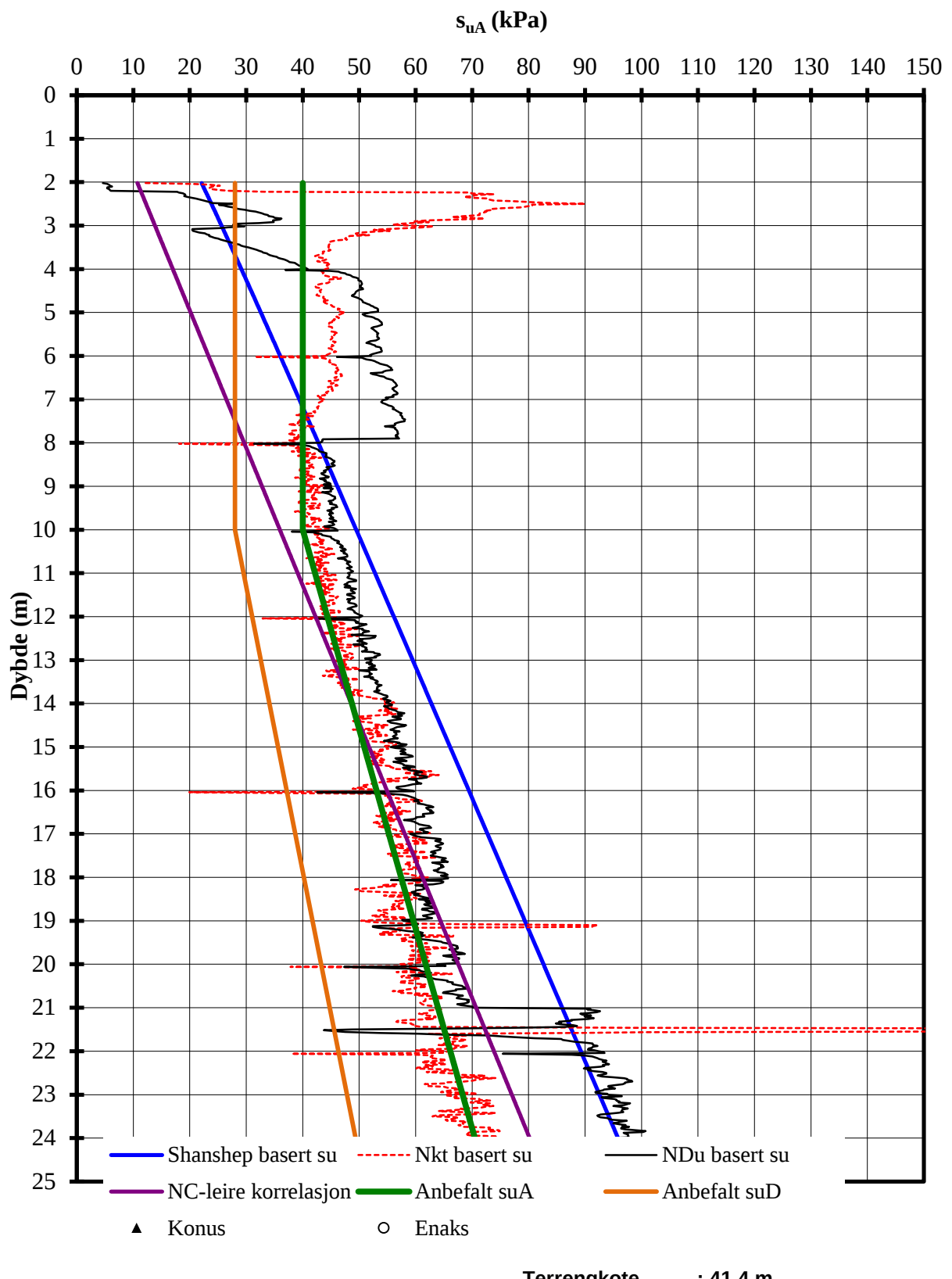
Tegner  
**SBeH**

Dato  
**2013-12-16**

Kontrollert  
**JSL**



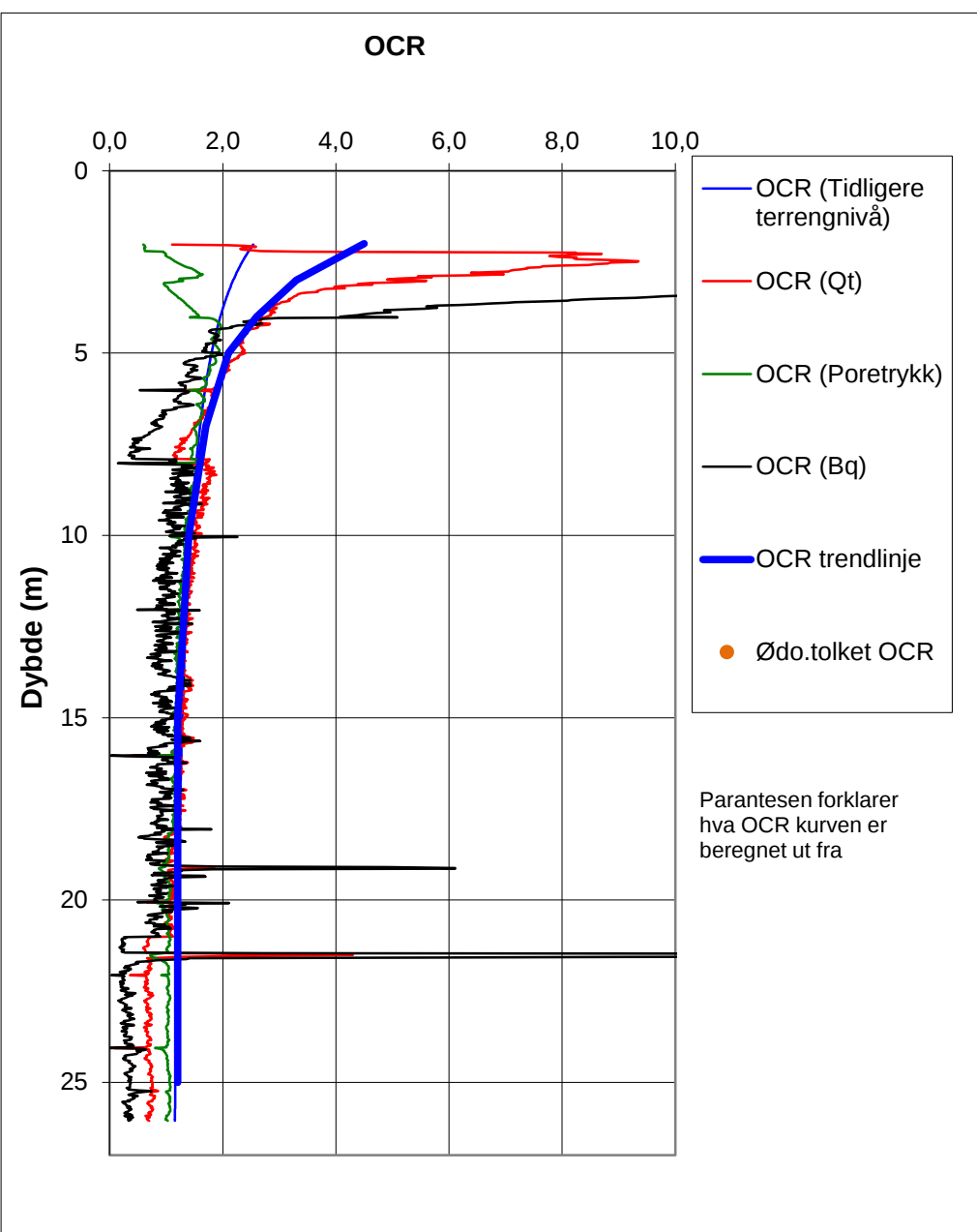
Godkjent  
**KE**



P:\2012\00\20120099\Tolkning\cptu\_lillemo\tolkning\_cptu\_li-13.xls\OCR profil

Kvikkleiresoner Trondheim og Stjørdal	Rapport nr.	Figur nr.
Aktiv skjærstyrke basert på CPTU-sondering og shanshep.	20120099	E9
Borhull Li-13	SBeH	2013-12-17
	Kontrollert	
	JSL	
	Godkient	
	KE	





**Terrengkote: 41,4 m**

P:\2012\00\20120099\Tolkning\CPTU Lillemo\[Tolkning CPTU Li-13.xls]OCR profil

Kvikkleiresoner Stjørdal - Lillemo	Rapport nr. <b>20120099</b>	Figur nr. <b>E10</b>
OCR-profil	Tegner SBeH	Dato 2013-12-17
Borhull: Li-13	Kontrollert JSL	
	Godkjent KE	

# Kontroll- og referanseside/ Review and reference page



<b>Dokumentinformasjon/Document information</b>						
<b>Dokumenttittel/Document title</b> Kvikkleiresoner Stjørdal. Lillemo				<b>Dokumentnr./Document No.</b> 20120099-04-R		
<b>Dokumenttype/Type of document</b> Rapport/Report		<b>Distribusjon/Distribution</b> Begrenset/Limited		<b>Dato/Date</b> 24. januar 2014		
				<b>Rev.nr.&amp;dato/Rev.No.&amp;date</b> 2 / 21. februar 2017		
<b>Oppdragsgiver/Client</b> Norges vassdrags- og energidirektorat (NVE)						
<b>Emneord/Keywords</b> Kvikkleire, sprøbruddmateriale, stabilitet, skredfare						
<b>Stedfesting/Geographical information</b>						
<b>Land, fylke/Country, County</b> Norge, Nord-Trøndelag				<b>Havområde/Offshore area</b>		
<b>Kommune/Municipality</b> Stjørdal				<b>Feltnavn/Field name</b>		
<b>Sted/Location</b> Lillemo				<b>Sted/Location</b>		
<b>Kartblad/Map</b> 1621 I Stjørdal				<b>Felt, blokknr./Field, Block No.</b>		
<b>UTM-koordinater/UTM-coordinates</b> UTM32 Euref89 – Nord: 7041111, Øst: 0598602						
<b>Dokumentkontroll/Document control</b>						
<b>Kvalitetssikring i henhold til/Quality assurance according to NS-EN ISO9001</b>						
<b>Rev./ Rev.</b>	<b>Revisjonsgrunnlag/Reason for revision</b>		<b>Egen- kontroll/ Self review av/by:</b>	<b>Sidemanns- kontroll/ Colleague review av/by:</b>	<b>Uavhengig kontroll/ Independent review av/by:</b>	<b>Tverrfaglig kontroll/ Inter- disciplinary review av/by:</b>
0	Originaldokument		SBeH	SBeH	JSL	JSL
1	Revisjon etter 3.partskontroll		2015-03-09 Siri Bente Haugen	2015-03-20 Jean Sébastien L'Heureux		
2	Supplerende borer og tilbakemelding fra NVE om at de kun ønsker å erosjonssikre.		2017-02-21 Siri Bente Haugen	2017-02-21 Vidar Gjelsvik		
<b>Dokument godkjent for utsendelse/ Document approved for release</b>		<b>Dato/Date</b> 21. februar 2017	<b>Sign. Prosjektleder/Project Manager</b> Kyrre Emaus			

NGI (Norges Geotekniske Institutt) er et internasjonalt ledende senter for forskning og rådgivning innen geofagene. Vi utvikler optimale løsninger for samfunnet, og tilbyr ekspertise om jord, berg og snø og deres påvirkning på miljøet, konstruksjoner og anlegg.

Vi arbeider i følgende markeder: olje, gass og energi, bygg, anlegg og samferdsel, naturskade og miljøteknologi. NGI er en privat stiftelse med kontor og laboratorier i Oslo, avdelingskontor i Trondheim og datterselskap i Houston, Texas, USA.

NGI ble utnevnt til "Senter for fremragende forskning" (SFF) i 2002 og leder "International Centre for Geohazards" (ICG).

[www.ngi.no](http://www.ngi.no)

NGI (Norwegian Geotechnical Institute) is a leading international centre for research and consulting in the geosciences. NGI develops optimum solutions for society, and offers expertise on the behaviour of soil, rock and snow and their interaction with the natural and built environment.

NGI works within the oil, gas and energy, building and construction, transportation, natural hazards and environment sectors. NGI is a private foundation with office and laboratory in Oslo, branch office in Trondheim and daughter company in Houston, Texas, USA.

NGI was awarded Centre of Excellence status in 2002 and leads the International Centre for Geohazards (ICG).

[www.ngi.no](http://www.ngi.no)



Hovedkontor/Main office:  
PO Box 3930 Ullevål Stadion  
NO-0806 Oslo  
Norway

Besøksadresse/Street address:  
Sognsvælen 72, NO-0855 Oslo

Avd Trondheim/Trondheim office:  
PO Box 1230 Pircenteret  
NO-7462 Trondheim  
Norway

Besøksadresse/Street address:  
Pircenteret, Havnegata 9, NO-7010 Trondheim

T: (+47) 22 02 30 00  
F: (+47) 22 23 04 48

[ngi@ngi.no](mailto:ngi@ngi.no)  
[www.ngi.no](http://www.ngi.no)

Kontor 5096 05 01281/IBAN NO26 5096 0501 281  
Org. nr/Company No.: 958 254 318 MVA

BSI EN ISO 9001  
Sertifisert av/Certified by BSI, Reg. No. FS 32989